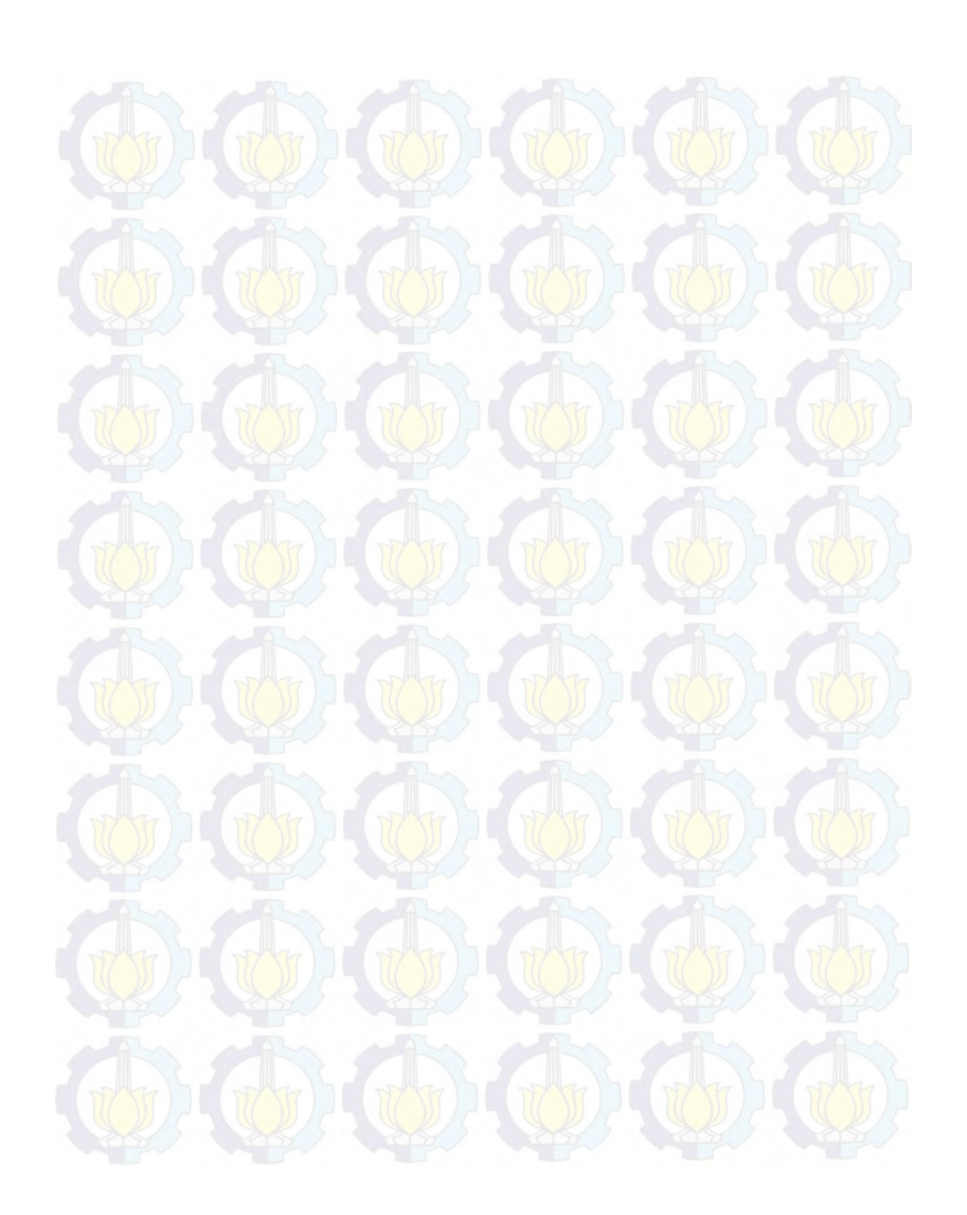


PEMBUATAN APLIKASI BERBASIS WEB MENGGUNAKAN SISTEM BOARD INTEL GALILEO UNTUK MEMONITORING SERTA KONTROL KONDISI LISTRIK DI PANEL DISTRIBUSI TEGANGAN LISTRIK PLN

Ifa Fitrianti NRP 2213039001 Ilham Sudrajat NRP 2213039006

Dosen Pembimbing Suwito, S,T.,M.T. Onie Meiyanto, S.Pd

PROGRAM STUDI D3 TEKNIK ELEKTRO Fakultas Teknologi Industri Institut Teknologi Sepuluh Nopember Surabaya 2016





MANUFACTURE OF WEB-BASED APPLICATIONS USING INTEL'S GALILEO SYSTEM FOR MONITORING AND CONTROL OF ELECTRICAL CONDITIONS IN THE POWER SUPPLY VOLTAGE DISTRIBUTION PANELS PLN

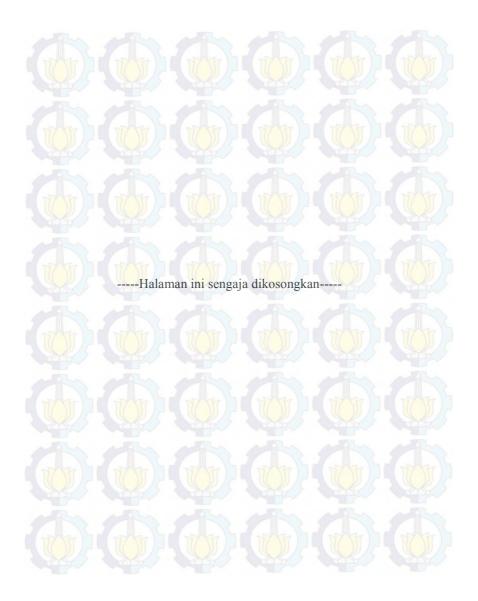
Ifa Fitrianti NRP 2213039001 Ilham Sudrajat NRP 2213039006

Advisor Suwito,S.T.,MT Onie Meiyanto,S.Pd

ELECTRICAL ENGINEERING D3 STUDY PROGRAM Faculty of Industrial Technology Institut Teknologi Sepuluh Nopember Surabaya 2016







# PEMBUATAN APLIKASI BERBASIS WEB MENGGUNAKAN BOARD INTEL GALILEO UNTUK MEMONITORING SERTA KONTROL KONDISI LISTRIK DI PANEL DISTRIBUSI TEGANGAN LISTRIK PLN

Nama : Ifa Fitrianti
Nama : Ilham Sudrajat
Pembimbing 1: Suwito, S.T,M.T.
Pembimbing 2: Onie Meivanto, S.Pd

#### ABSTRAK

Untuk memenuhi kebutuhan masyarakat terhadap listrik, PLN berusaha untuk memberikan pelayanan yang terbaik untuk para pelanggan dengan meminimalis terjadinya gangguan pada jaringan yang menyebabkan ketidak puasan pelanggan terhadap pelayanan yang diberikan oleh PLN, sedangkan sistem Monitoring kondisi panel distribusi yang dilakukan PLN selama ini masih menggunakan sistem konvensional dan belum adanya sistem kontrol untuk mengontrol kondisi panel distribusi PLN. Dalam sistem konvensional memiliki banyak kelemahan, yaitu belum adanya alarm atau indikator indikator vang tertampil dipusat pemantauan distribusi jika terjadi gangguan pada panel distribusi PLN, sehingga penanganan terhadap gangguan tersebut sering tertunda. Berdasarkan kondisi tersebut pada Tugas Akhir ini akan dibuat sistem *monitoring* serta kontrol panel distribusi PLN berbasis web menggunakan sistem board intel galileo. Sistem ini memanfaatkan layanan jaringan PT. Indonesia Comnets Plus (ICON+) sebagai media komunikasi antara panel distribusi dengan pusat pemantauan distribusi. Pada alat yang telah dibuat. Alat ini memiliki kemampuan untuk memonitoring jaringan distribusi tegangan rendah, dan sebagai kontrol untuk memutus dan menyambungkan arus listrik jika terjadi gangguan ataupun saat diperlukan. Hasil yang diperoleh dari alat yang telah dibuat. Dihasi lakan pengujian sensor arus 1,5 % dan sensor tegangan didapatkan hasil eror 0 % dari hasil tersebut, dapat mengetahui gangguan pada panel distribusi PLN dengan cepat dan dapat langsung diperbaiki oleh petugas PLN demi kepuasan pelanggan terhadap pelayanan PLN yang diberikan.

Kata Kunci: Intel Galileo, Sensor Arus ACS712, Monitoring, Kontrol

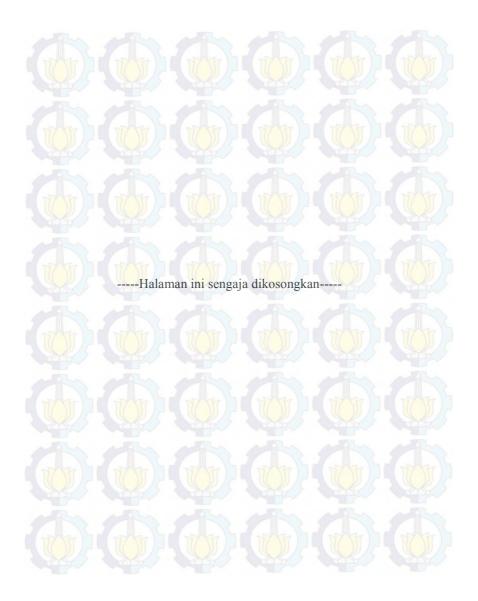
MANUFACTURE OF WEB-BASED APPLICATIONS USING INTEL'S GALILEO SYSTEM FOR MONITORING AND CONTROL OF ELECTRICAL CONDITIONS IN THE POWER SUPPLY VOLTAGE DISTRIBUTION PANELS PLN

Name : Ifa Fitrianti
Name : Ilham Sudrajat
Advisor 1 : Suwito, S.T.,M.T.
Advisor 2 : Onie Meiyanto, S.Pd.

#### ABSTRACT

To meet the public demand for electricity, PLN strive to provide the best service to its customers by minimizing the disruption of the tissue which causes dissatisfaction of customers with the services provided by PLN, meanwhile the condition of monitoring system of distribution panel that conducted by PLN still use the conventional system and there is no control system to control the condition of PLN's distribution panel, conventional systems have many shortcomings such as the absence of an alarm or indicators which is displayed in monitoring center if there a disruption in the distribution panel of PLN, so that the handling of the disorder is often delayed. Under these conditions, in this final project will be made monitoring system and PLN's panel controller using the web-based distribution of Galileo intel board system. This system utilizes a network service by PT. Indonesia Comnets Plus (ICON +) as a medium communication between the central distribution panel with the monitoring distribution. On tools that have been created. This tool has the ability to monitor low voltage distribution network, and as a control to disconnect and connect the electrical current if an interruption occurs or when necessary. The results that obtained from the tools that have been made is a current sensor test of 1.5% and a voltage sensor test showed the error of 0%, an ability to initialize the PLN disruption of distribution panels quickly and immediately be rectified by PLN officer for customer satisfaction with the services provided by PLN.

Keywords: Intel Galileo, Flow Sensor ACS712, Monitoring, Control



#### KATA PENGANTAR

Puji syukur penulis panjatkan kehadirat Allah SWT yang selalu memberikan rahmat dan hidayah-Nya sehingga Tugas Akhir ini dapat terselesaikan dengan baik. Shalawat serta salam semoga selalu dilimpahkan kepada Rasulullah Muhammad SAW, keluarga, sahabat, dan umat muslim yang senantiasa meneladani beliau.

Tugas Akhir ini disusun untuk memenuhi sebagian persyaratan guna menyelesaikan pendidikan Diploma-3 pada Bidang Studi Elektro Industri, Jurusan Teknik Elektro, Fakultas Teknologi Industri, Institut Teknologi Sepuluh Nopember Surabaya dengan judul:

PEMBUATAN APLIKASI BERBASIS WEB MENGGUNAKAN BOARD INTEL GALILEO UNTUK MEMONITORING SERTA KONTROL KONDISI LISTRIK DI PANEL DISTRIBUSI TEGANGAN LISTRIK PLN

Dalam Tugas Akhir ini dirancang alat penghitung penggunaan daya dan biaya penggunaan listrik pada kamar kost menggunakan ethernet sebagai media komunikasinya yang dapat diakses melalui website.

Penulis mengucapkan terima kasih kepada Ibu dan Bapak penulis yang memberikan berbagai bentuk doa serta dukungan tulus tiada henti, Bapak Suwito, S.T., M.T. dan Bapak Onie Meiyanto, S.Pd. atas segala bimbingan ilmu, moral, dan spiritual dari awal hingga terselesaikannya Tugas Akhir ini. Penulis juga mengucapkan banyak terima kasih kepada teman-teman yang telah membantu baik secara langsung maupun tidak langsung dalam proses penyelesaian Tugas Akhir ini.

Penulis menyadari dan memohon maaf atas segala kekurangan pada Tugas Akhir ini. Akhir kata, semoga Tugas Akhir ini dapat bermanfaat dalam pengembangan keilmuan di kemudian hari.

Surabaya, 1 Juni 2016

Penulis

# **DAFTAR ISI**

	HALAMAN
HALAMAN JUDUL HALAMAN JUDUL PERNYATAAN KEASLIAN TUGAS AKHIR HALAMAN PENGESAHAN DAFTAR ISI DAFTAR GAMBAR DAFTAR TABEL	iiiviixvxvii
BAB I PENDAHULUAN  1.1 Latar Belakang 1.2 Permasalahan 1.3 Batasan Masalah 1.4 Tujuan 1.5 Metodelogi 1.6 Sistematika Laporan 1.7 Relevansi	21 2 2 2 2 2 2 4 4
BAB II TEORI DASAR  2.1 Tinjauan Pustaka 2.2 Gardu Distribusi 2.3 Sensor Arus 2.4 Voltage Divider 2.5 Intel Galileo 2.6 Javascript 2.7 Bootstrap 2.8 Pubnub 2.9 Jade ( java agent devlopment framemwork ) 2.10Peak Detector 2.11Optocoupler 2.12MQTT (Message Queuing Telemetery Transport)	
BAB III PERANCANGAN SISTEM KONTROL  3.1 Blok Fungsional Sistem 3.2 Perancangan Elektronik 3.2.1 Perancangan Pengondisi Sinyal Sensor Arus 3.2.2 Perancangan Sensor Tegangan	

	3.2.3	Perancangan Power Supply	31
	3.2.4	Perancangan Breaker	32
	3.2.5	Perancangan Panel	34
		Perancangan Buzzer	
3.3		can <mark>gan M</mark> ekanik <mark></mark>	
		Panel	
3.4	Peran	cangan Perangkat Lunak (Software)	38
		Percobaan Koneksi Intel Galileo dengan PC	
		Pemograman Blink Input-Output	
	3.4.3	Pemograman Pembacaan ADC	41
	3.4.4	Pemograman Tampilan HMI	41
BAR	IV HA	SIL SIMULASI DAN IMPLEMENTASI	45
		jian Sensor Arus ACS172	
		rasi Pengujian Sensor Arus ACS172	
		jian Sensor Tegangan	
4.4	Kalibi	rasi Pengujian Tegangan	52
4.5	Pengu	jian Supply Rangkaian Pengondisi Sinyal ACS712.	59
		jian Driver Relay	
		jian Sistem Intel Galileo	
		jian Keseluruhan	
		UTUP	
		pu <mark>lan</mark>	
		(4b) (4b) (4b)	
DAFT	AR PU	JSTAKA	71
		AN A GAMBAR	
		AN B PROGRAM	
		AN C DATASHEET	
DA	AFTAF	RIWAYAT HIDUP	D-1



Gambar	2.1	Trafo Distribusi	
	2.1		
Gambar	2.3	Contoh Skema ACS712	1(
Gambar	2.5	Blok Diagram Sensor Arus ACS712	11
Gambar	2.6	Rangkaian Voltage Divider	12
Gambar	2.7	Intel Galileo	12
Gambar	2.10	Peak Detector	20
Gambar	2.13	Rangkajan Optocoupler	21
Gambar	2.14	Sistem Umum IoT Memakai MOTT	23
Gambar	3.1	Blok Fungsional	25
Gambar	3.2	Flowchart Pada Hardware	27
Gambar	3.6	Skematik Sensor Tegangan	30
Gambar	3.7	Diagram Power Supply	31
Gambar	3.8		
	Gambar Gambar Gambar Gambar Gambar Gambar Gambar Gambar Gambar Gambar Gambar Gambar Gambar Gambar Gambar Gambar Gambar Gambar	Gambar 2.3 Gambar 2.4 Gambar 2.5 Gambar 2.6 Gambar 2.7 Gambar 2.8 Gambar 2.9 Gambar 2.10 Gambar 2.11 Gambar 2.12 Gambar 2.13 Gambar 3.1 Gambar 3.2 Gambar 3.3 Gambar 3.4 Gambar 3.5 Gambar 3.6 Gambar 3.7 Gambar 3.8	Gambar 2.2 Panel Distribusi PLN Gambar 2.3 Sensor Arus ACS712 Gambar 2.4 Contoh Skema ACS712 Gambar 2.5 Blok Diagram Sensor Arus ACS712 Gambar 2.6 Rangkaian Voltage Divider Gambar 2.7 Intel Galileo Gambar 2.9 Rangkaian Peak Detector Gambar 2.10 Peak Detector Gambar 2.11 Gelombang Peak Detector Gambar 2.12 Simbol Dan Bentuk Optocoupler Gambar 2.13 Rangkaian Optocoupler Gambar 2.14 Sistem Umum IoT Memakai MQTT Gambar 3.1 Blok Fungsional Gambar 3.2 Flowchart Pada Hardware Gambar 3.3 Diagram Koneksi Sensor Arus ACS712 Gambar 3.4 Skematik Pengondisi Sinyal Output ACS712 Gambar 3.6 Skematik Sensor Tegangan Gambar 3.7 Diagram Power Supply

 Gambar
 3.10 Skematik Driver Breaker
 33

 Gambar
 3.11 Driver Relay
 34

 Gambar
 3.12 Rangkaian Panel
 35

 Gambar
 3.13 Rangkaian Buzzer
 35

 Gambar
 3.14 Box Panel Tampak Depan
 36

 Gambar
 3.15 Box Panel Tampak Samping
 37

 Gambar
 3.16 Panel
 38

 Gambar
 3.17 Diagram Alir program keseluruhan pada Intel Galileo
 39

 Gambar
 3.18 Flowchart Visual
 42

Gambar	3.19	Tampilan HMI	
Gambar	4.1	Hasil Gelombang Pengujian ACS712	45
Gambar	4.2	Grafik Sensor Arus Fasa R	
Gambar	4.3	Grafik Sensor Arus Fasa S	
Gambar	/ / * * * \	Grafik Sensor Arus Fasa T	
Gambar		Grafik Sensor Tegangan Pada Fasa R	
Gambar		Grafik sensor tegangan Pada Fasa S	
Gambar			57
Gambar		Output dari Trafo	57
Gambar	4.9	Bentuk Gelombang Tegangan AC	58
Gambar	4.10	Output tegangan DC	58
		Uji Komunikasi	
		Uji IO Pada Dengan LED Blink	
Gambar	4.13	Uji Analog Input	62
Gambar	4.14	Uji Web	63
		Kondisi Breaker Terputus	
Gambar	4.16	Kondisi Normal Breaker Terputus	64
		Kondisi Breaker Terhubung	
Cambar	4 18	Kondisi Normal Breaker Terhubung	65
Gambar	4.19	Status Alarm Menyala	66
Gambar	4.19		66
Gambar	4.19	Status Alarm Menyala	66
Gambar	4.19	Status Alarm Menyala	66
Gambar	4.19	Status Alarm Menyala	66
Gambar	4.19	Status Alarm Menyala	66
Gambar	4.19	Status Alarm Menyala	66
Gambar	4.19	Status Alarm Menyala	66
Gambar	4.19	Status Alarm Menyala	66
Gambar	4.19	Status Alarm Menyala	66
Gambar	4.19	Status Alarm Menyala	66
Gambar	4.19	Status Alarm Menyala	66
Gambar	4.19	Status Alarm Menyala	66
Gambar	4.19	Status Alarm Menyala	66
Gambar	4.19	Status Alarm Menyala	66
Gambar	4.19	Status Alarm Menyala	66
Gambar	4.19	Status Alarm Menyala	66

## DAFTAR TABEL

	DAFTAK TABEL	
		HALAMAN
Tabel 4.1	Kalibrasi Sensor Arus ACS712 Fasa R	46
Tabel 4.2	Hasil pengujian Sensor Arus Fasa R	
Tabel 4.3	Kalibrasi Sensor Arus ACS712 Pada Fasa S.	
Tabel 4.4	Hasil pengujian Sensor Arus Fasa S	49
Tabel 4.5	Kalibrasi Sensor Arus Pada Fasa T	50
Tabel 4.6	Hasil Pengujian Sensor Arus Fasa T	51
Tabel 4.7	Kalibrasi Tegangan Pada Fasa R	
Tabel 4.8	Hasil Pengujian Sensor tegangan Pada Fasa F	
Tabel 4.9	Kalibrasi Tegangan Pada Fasa S	
Tabel 4.10	Hasil Pengujian Sensor Tegangan Pada Fasa	S55
Tabel 4.11	Kalibrasi Tegangan Pada Fasa T	
Tabel 4.12	Hasil Pengujian Sensor Tegangan Pada Fasa	T56
Tabel 4.13	Tabel Pengondisi Sinyal	59
Tabel 4.14	Tabel Driver Relay	59



# BAB I PENDAHULUAN

#### 1.1 Latar Belakang

Sistem Distribusi merupakan bagian penting dari sistem tenaga listrik. Sistem distribusi ini berguna untuk menyalurkan tenaga listrik dari sumber daya listrik besar sampai ke konsumen. Jadi fungsi distribusi tenaga listrik adalah pembagian atau penyaluran tenaga listrik ke beberapa tempat (pelanggan) dan merupakan sub sistem tenaga listrik yang langsung berhubungan dengan pelanggan, karena catu daya pada pusat-pusat beban (pelanggan) dilayani langsung melalui jaringan distribus. Apabila terjadi gangguan pada jaringan distribusi maka sangat merugikan para pelanggan yang merasakan dapak gangguan tersebut, dan selama ini sistem *monitoring* kondisi panel distribusi yang dilakukan PLN masih menggunakan Sistem konvensional. Sistem ini memiliki banyak kekurangan bila sistem mengalami gangguan, tidak ada alarm atau indikator yang tertampil di pusat pemantauan distribusi. Sehingga dalam pemantauan pada distribusi masih kurang dalam pelayanannya ke masyarakat. Contohnya di daerah terpencil bila ada gangguan jaringan penangan sering tertunda, dan sistem kontrol berfungsi untuk menyambung dan memutuskan arus listrik dari panel distribusi ke pelanggan jika terjadi suatu kebakaran pada salah satu pelanggan, menjegah terjadinya kebakaran pada listrik secara luas. Hal yang mengganggu kenyamanan masyarakat tersebut menggunakan energi listrik. Berdasarkan kondisi tersebut pada Tugas Akhir ini akan dibuat sistem *monitoring* serta kontrol panel distribusi PLN Berbasis Web Menggunakan Sistem Board Intel Galileo. Pada alat yang telah dibuat menyambungkan modem ke intel galileo menggunakan MOTT (Message Queuing Telemetry Transport) kemudian ke komputer sehingga dapat dapat di monitoring serta kontrol oleh operator. Sistem ini memanfaatkan layanan jaringan PT. Indonesia Comnets Plus (ICON+) sebagai media komunikasi antara panel distribusi dengan pusat pemantauan distribusi. Alat ini memiliki kemampuan untuk *monitoring* jaringan distribusi tegangan rendah, dan sebagai kontrol jarak jauh pengaman apabila terjadi arus lebih dalam keadaan darurat untuk segera ditangani oleh petugas PLN.

#### 1.2 Permasalahan

Permasalahan pada Tugas Akhir ini adalah sebagai berikut :

- 1. Tidak adanya Monitoring Serta Kontrol Jarak Jauh Untuk Distribusi Tenaga Listrik.
- Tidak adanya sistem kontrol pada jaringan maupun peralatan pada tegangan listrik.
- 3. Tidak adanya sistem otomatis untuk memutus dan menyambungkan arus listrik pada gardu distribusi.
- 4. Tidak adanya pengaman jaringan, jika terjadi gangguan arus berlebih pada gardu distribusi listrik PLN.

#### 1.3 Batasan Masalah

Dari perumusan masalah di atas, maka batasan masalah dari tugas akhir ini adalah :

- Komunikasi antara perangkat dengan komputer master menggunakan jaringan ethernet.
- 2. Penggunaan web browser sebagai tampilan pada komputer master.
- Pengembangan Instrumentasi peralatan tegangan tinggi menggunakan perangkat IOT.
- 4. Maksimal arus yang dapat dihantarkan sebesar 3 ampere pada tegangan 3 fasa dengan range 0-250Volt.

## 1.4 Tujuan

Tujuan kami membuat Tugas Akhir ini adalah sebagai berikut :

- 1. Merancang dan membuat sistem Aplikasi Berbasis *Web* Menggunakan Sistem *Board Intel Galileo* Untuk Memonitor Serta Mengontrol Kondisi Listrik Di Panel Distribusi Tegangan Listrik PLN.
- Memberikan sistem kontrol pada jaringan agar panel dapat di kontrol dengan jarak jauh
- 3. Memonitoring kondisi listrik di panel distribusi tegangan listrik PLN.
- 4. Sebagai pengaman jaringan apabila terjadi gangguan arus lebih

## 1.5 Metodelogi

Dalam pelaksanaan tugas akhir yang berupa Aplikasi Berbasis Web Menggunakan Sistem Board Intel Galileo Untuk Memonitor Serta

Kontrol Kondisi Listrik Di Panel Distribusi Tegangan Listrik PLN., ada beberapa kegiatan yang dapat diuraikan sebagai berikut :

- 1. Studi Pustaka dan Survey Data Awal Studi pustaka yang dilakukan dalam hal ini adalah dengan mencari literatur di ruang baca, perpustakaan atau di internet mengenai cara kerja trafo arus, trafo tegangan, desain web dari intel galileo, teknik pembacaan analog dan digital serta interfacing dari sistem galileo. Materi yang dicari meliputi bagaimana teknik pengukuran arus dan tegangan serta sistem isolasi agar dapat dirubah menjadi level tegangan TTL sehingga dapat dibaca oleh prosesor intel galileo.
- 2. Perencanaan dan Pembuatan Alat
  Perencanaan alat dilaksanakan setelah studi pustaka memenuhi
  semua kriteria dalam perancangan alat. Meliputi perancangan
  aplikasi berbasis web menggunakan sistem board intel galileo
  untuk memonitor serta kontrol kondisi listrik di panel distribusi
  tegangan listrik PLN, perancangan sistem kontrol arus dan
  tegangan pada listrik.
- 3. Perencanaan dan Pembuatan *Software*Pembuatan *software* dilakukan setelah perancangan alat selesai dilakukan, perancangan *software* ini bertutujuan untuk memberikan perintah pada sistem mikrokontroller *galileo* agar dapat bekerja membaca semua perintah untuk mengakses IO pada prosesor agar dapat membaca tegangan, arus, serta status kondisi dari panel.
- 4. Uji Coba dan Analisis Data
  Uji coba dan analisis data dilakukan dengan cara
  mengaplikasikan langsung aplikasi berbasis web menggunakan
  sistem board intel galileo untuk memonitor serta kontrol
  kondisi listrik di panel distribusi tegangan listrik PLN dengan
  cara membaca arus dan tegangan yang kemudian di kirimkan
  datanya melalui ethernet ke komputer server.
- 5. Penyusunan Laporan Penyusunan laporan dilakukan setelah beberapa data pengujian aplikasi berbasis *web* menggunakan sistem *board intel galileo* untuk memonitor serta kontrol kondisi listrik di panel distribusi tegangan listrik PLN sudah mencukupi.

## 1.6 Sistematika Laporan

Pembahasan Tugas Akhir ini akan dibagi menjadi lima Bab dengan sistematika sebagai berikut:

Bab I	Pendahuluan / 1 / / / 1 / / / / 1 / / / /
	Bab ini meliputi latar belakang, permasalahan, tujuan
	penelitian, metodologi penelitian, sistematika laporan,
	dan relevansi.
Bab II	Teori Dasar Teori Dasar
	Membahas tentang teori - teori penunjang yang
	diperlukan dan dipergunakan sebagai penunjang
	pengerjaan Tugas Akhir
Bab III	Perancangan Sistem
	Membahas tentang perencanaan dan pembuatan
	perangkat keras (hardware) yang terdiri dari
	perancangan elektronik dan perancangan mekanik
	serta pembuatan dan perancangan perangkat lunak
	(software).
Bab IV	Simulasi, Implementasi dan Analisis Sistem
	Bab ini memuat hasil simulasi dan implementasi serta
	analisis dari hasil tersebut.
Bab V	Penutup Penutup
	Bab ini berisi kesimpulan dan saran dari hasil
	pembahasan yang telah diperoleh.

### 1.7 Relevansi

- 1. Memudahkan para teknisi PLN untuk mengetahui letak gangguan listrik sehingga pada saat gangguan itu terjadi teknisi bisa langsung mengetahui dan bisa langsung memperbaikinya.
- 2. Memudahkan untuk menyalakan dan mematikan aliran tenaga listrik distribusi
- 3. Memb<mark>erika</mark>n kemudahan untuk memonitoring serta mengontrol jaringan distribusi PLN.

# BAB II TEORI DASAR

#### 2.1 Tinjauan Pustaka

Ada beberapa penelian yang telah dilakukan sebelumnya untuk menyelesaikan masalah *monitoring gardu distribusi* pada PLN. Di antaranya menggunakan berbasis *web* dan mikrokontroler Atmega32, Metode ini digunakan untuk memonitoring gardu induk dan gardu distribusi PLN. Hasil yang dicapai terdapat kekurangan, yaitu belum adanya kontroler, untuk mengontrol kondisi gardu distribusi PLN.

Penelitian di lakukan oleh Dadang Iskandar dalam seminar nasional informatika 2011 tentang "Sistem Informasi Gardu Induk Dan Gardu Distribusi PLN", dengan menggunakan sensor arus, sensor tegangan dan sensor suhu, menggunakan metode mikrokontroler keluaran dari sensor tersebut di baca oleh mikrokontroler pada antarmuka berbasis java. Data yang dihasilkan penelitian tersebut diantaranya arus dan tegangan. Pengambilan data data sensor arus yang dilakukan dengan melakukan percobaan sementara menggunakan beberapa peralatan diantaranya menggunakan beban strika dan beban berupa computer, dari beban setrika yang dilakukan secara manual 1.35 A sedangkan secara monitoring 1.25, beban komputer secara manual Komputer 1.22 A secara monitoring 1.20, Pada pengukuran yang dilakukan masih ada perbedaan hal ini dikarenakan kalibrasi alat yang dilakukan masih belum sempurna. data yang diperoleh oleh sensor tegangan pengukuran yang dilakukan secara manual dan *realtime* namun masih menggunakan satu input. Trafo yang digunakan menggunakan trafo step down biasa dengan tegangan output 3 V dan untuk *realtiem* hasil yang didapatkan pada percobaan tersebut mata tidak dapat membedakan delay dari proses pengiriman data. Sehingga data yang dikirimkan dari RTU langsung ditampilkan kedalam website sistem informasi monitoring gardu induk dan gardu distribusi. Dari semua data yang di dapatkan masih belum sempurna karen masih terdapat banyak kekurang dalam pengambilan data terutama dalam pengambilan data pada sensor arus.[1]

Pada penelitian ke dua di lakukan oleh Riza Agung Firmansyah, Titiek Suheta, Dedi Antoni Pada Seminar Nasional Sains Dan Teknologi Terapan III 2015 Tentang "Perancangan Alat Monitoring Dan Penyimpan Data Pada Panel Hubung Tegangan Rendah Di Trafo Gardu Distribusi Berbasis Mikrokontroler" dari penelitian tersebut dihasilkan data Besar nilai arus pada phasa R = 43,8 A, phasa S= 45,8 A dan phasa T = 45 A, untuk nilai tegangan pada saat beban pucak terjadi pada phasa R = 222,7 volt, phasa S = 223,4 volt dan phasa T = 222,5 volt dengan proses pengukuran *line to netral* / 1 Phasa R, S dan T. Besar nilai daya pada saat beban puncak pada phasa R = 9754,26 VA, S= 10231 VA dan phasa T = 10013 VA, sehingga di ketahui prosentase pembebanan pada trafo sebesar 60% dan pembebanan tersebut masih normal. Kesimpulan dari penelitian ke dua Perlu adanya monitoring dengan mengirim data dengan sistem *online*. Perlu penambahan fitur – fitur baru untuk lebih memudahkan operator dalam memantau kondisi transformator seperti dapat memprediksi umur transformator.[9]

Pada Tugas Akhir ini akan dilakukan pembuatan aplikasi untuk memonitoring dan mengontrol panel distribusi tegangan listrik PLN menggunakan metode web intel galileo. Pada Tugas Akhir ini selain memonitoring juga mengontrol kondisi panel gardu distribusi tegangan listrik PLN, rangkaian breaker pada Tugas Akhir ini berfungsi untuk memutus dan menyambungkan arus listrik, dan memberi rangkaian pengaman pada panel distribusi gardu PLN untuk memutus arus listrik jika terjadi arus berlebih maupun arus yang kurang dari ketentuan untuk memutus dan menyambungkan arus listrik. Hasil yang diharapkan dari Tugas Akhir ini adalah untuk memberi pelayanan yang baik untuk masyarakat, dan mempermudah para teknisi pegawai PLN untuk mengontrol dan memonitoring kondisi panel distribusi tegangan listrik PLN.

## 2.2 Gardu Distribusi[2]

Gardu distribusi Merupakan salah satu Komponen dari suatu sistem distribusi PLN yang berfungsi untuk menghubungkan jaringan ke Konsumen atau untuk mendistribusikan tenaga listrik pada konsumen atau pelanggan, baik itu pelanggan tegangan menengah maupun pelanggan tegangan rendah. Pengertian Gardu Distribusi tegangan Listrik yang Paling di kenal adalah sebuah bangunan Gardu Listrik yang berisi atau terdiri dari instalasi Perlengkapan Hubung Bagi Tegangan Menengah (PHB-TM), Transformator Distribusi, dan Perlengkapan Hubung Bagi Tegangan Rendah (PHBTR) Untuk memasok kebutuhan tenaga listrik bagi para pelanggan baik dengan tegangan menengah (TM 20 KV) maupun Tegangan rendah (TR 220/380 Volt).



#### Gambar 2.1 Trafo Distribusi

Gambar 2.1 menjelaskan tentang gardu distribusi yang menggunakan transformator distribusi berfungsi untuk menurunkan tegangan listrik dari jaringan distribusi tegangan tinggi menjadi tegangan terpakai pada jaringan distribusi tegangan rendah (step down transformator); misalkan tegangan 20 KV menjadi tegangan 380 volt atau 220 volt. Sedang transformator yang digunakan untuk menaikan tegangan listrik (step up transformator), hanya digunakan pada pusat pembangkit tenaga listrik agar tegangan yang didistribusikan pada suatu jaringan panjang (long line) tidak mengalami penurunan tegangan (voltage drop) yang berarti; yaitu tidak melebihi ketentuan voltage drop yang diperkenankan 5% dari tegangan semula. Dalam Gardu Distribusi ini Terdapat Macam macam komponen dan jenis jenis bagian dari sistem disribusi tegangan listrik.



Gambar 2.2 Panel Distribusi PLN

Gambar 2.2 menjelakskan tentang pengertian dari Operasi Sistem Distribusi adalah segala kegiatan yang mencakup pengaturan, pembagian, pemindahan, dan penyaluran tenaga listrik dari pusat pembangkit kepada konsumen dengan efektif serta menjamin

kelangsungan penyalurannya / pelayanannya. Sebagai tolak ukur pada kegiatan operasi terdapat beberapa parameter, yaitu :

- 1. Mutu Listrik
  - Ada 2 hal yang menjadi ukuran mutu listrik yaitu tegangan dan frekuensi. Batas toleransi tegangan pelayanan yaitu pada konsumen TM adalah ±5 %, dan pada konsumen TR adalah maksimum 5 % dan minimum 10 %. Sedangkan untuk batas toleransi frekuensi adalah ±1 % dari frekuensi standar 50 Hz.
- 2. Keandalan Penyaluran Tenaga Listrik
  Sebagai indikator keandalan penyaluran adalah angka lama
  pemadaman / gangguan atau yang disebut Sistem Average
  Interruption Duration Index (SAIDI) dan angka seringnya
  pemadaman / gangguan atau yang disebut Sistem Average
  Interruption Frequency Index (SAIFI).
- 3. Keamanan dan Keselamatan
  Sebagai indikator dari keamanan dan keselamatan adalah jumlah
  angka kecelakaan akibat listrik pada personel dan kerusakan pada
  instalasi / peralatan serta pada lingkungan.
- 4. Biaya Pengoperasian
  Sebagai indikatornya adalah angka susut jaringan, yaitu selisih antara energi yang dikeluarkan oleh pembangkit dengan energi yang digunakan oleh pelanggan. Penyebab susut jaringan antara lain yaitu pencurian listrik, kesalahan alat ukur, jaringan yang terlalu panjang, faktor daya rendah serta konfigurasi jaringan yang kurang tepat.
- 5. Kepuasan Pelanggan

## 2.3 Sensor Arus [3]

Pengukuran arus biasanya membutuhkan sebuah *resistor shunt* yaitu *resistor* yang dihubungkan secara seri pada beban dan mengubah aliran arus menjadi tegangan. Tegangan tersebut biasanya diumpankan ke *current transformer* terlebih dahulu sebelum masuk ke rangkaian pengkondisi *signal*. Teknologi *Hall effect* yang diterapkan oleh *Allegro* menggantikan fungsi resistor *shunt* dan *current transformer* menjadi sebuah sensor dengan ukuran yang relatif jauh lebih kecil. Aliran arus listrik yang mengakibatkan medan magnet yang menginduksi bagian *dynamic offset cancellation* dari *ACS712*. bagian ini akan dikuatkan oleh *amplifier* dan melalui *filter* sebelum dikeluarkan melalui kaki 6 dan 7,

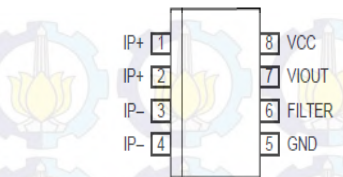
modul tersebut membantu penggunaan untuk mempermudah instalasi arus ini ke dalam sistem.



#### Gambar 2.3 Sensor Arus ACS712

Gambar 2.3 menjelaskan ACS712 adalah Hall Effect current sensor. Hall effect allegro ACS712 merupakan sensor yang presisi sebagai sensor arus AC atau DC dalam pembacaan arus didalam dunia industri, otomotif, komersil dan sistem-sistem komunikasi. Pada umumnya aplikasi sensor ini biasanya digunakan untuk mengontrol motor, deteksi beban listrik, switched-mode power supplies dan proteksi beban berlebih. Sensor ini memiliki pembacaan dengan ketepatan yang tinggi, karena didalamnya terdapat rangkaian low-offset linear Hall dengan satu lintasan yang terbuat dari tembaga. cara kerja sensor ini adalah arus yang dibaca mengalir melalui kabel tembaga yang terdapat didalamnya yang menghasilkan medan magnet yang di tangkap oleh integrated Hall IC dan diubah menjadi tegangan proporsional. Ketelitian dalam pembacaan sensor dioptimalkan dengan cara pemasangan komponen yang ada didalamnya antara penghantar yang menghasilkan medan magnet dengan hall transducer secara berdekatan. Persisnya, tegangan proporsional yang rendah akan menstabilkan Bi CMOS Hall IC yang didalamnya yang telah dibuat untuk ketelitian yang tinggi oleh pabrik.

# **Pin-out Diagram**

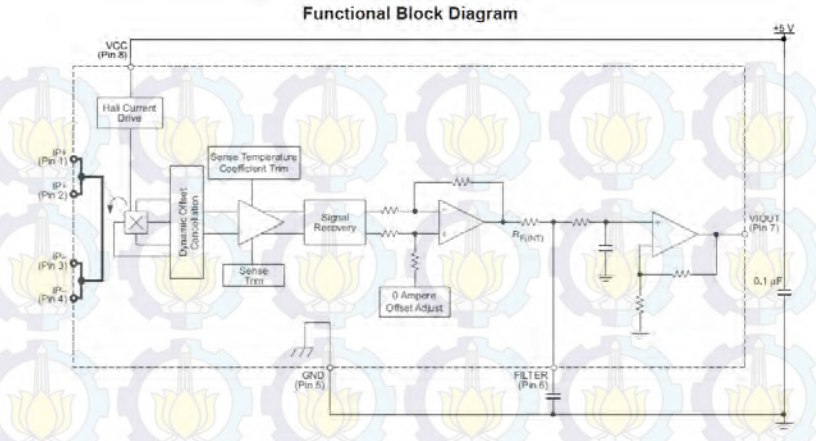


## Terminal List Table

Number	Name	Description
1 and 2	IP+	Terminals for current being sensed; fused internally
3 and 4	IP-	Terminals for current being sensed; fused internally
5	GND	Signal ground terminal
6	FILTER	Terminal for external capacitor that sets bandwidth
7	VIOUT	Analog output signal
8	VCC	Device power supply terminal

Gambar 2.4 Contoh Skema ACS712

Output/keluaran dari sensor ini sebesar (>VIOUT(Q)) saat peningkatan arus pada penghantar arus (dari pin 1 dan pin 2 ke pin 3 dan 4), yang digunakan untuk pendeteksian atau perasa arus. Hambatan dalam penghantar sensor sebesar 1,2 mΩ dengan daya yang rendah. Jalur terminal konduktif secara kelistrikan diisolasi dari sensor mengarah (pin 5 sampai pin 8). Hal ini menjadikan sensor arus ACS712 dapat digunakan pada aplikasi-aplikasi yang membutuhkan isolasi listrik tanpa menggunakan opto-isolator atau teknik isolasi lainnya yang mahal. Ketebalan penghantar arus didalam sensor sebesar 3x kondisi overcurrent. Sensor ini telah dikalibrasi oleh pabrik. Untuk lebih jelas dapat dilihat pada Gambar 1.3.



Gambar 2.5 Blok Diagram Sensor Arus ACS712

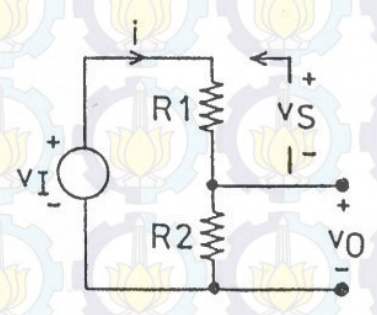
Beberapa fitur penting dari sensor arus ACS712 adalah:

- 1. Jalur sinyal *analog* yang rendah *noise*
- 2. Bandwidth perangkat diatur melalui pin FILTER yang baru
- Waktu naik keluaran 5 mikrodetik dalam menanggapi langkah asukan aktif
- 4. Bandwith 50 kHz
- 5. Total error keluaran 1,5% pada TA = 25°, dan 4% pada -40° C sampai 85° C
- 6. Bentuk yang kecil, paket SOIC8 yang kompak.
- 7. Resistansi internal 1.2 m $\Omega$ .
- 8. 2.1 kVRMS tegangan isolasi minimum dari pin 1-4 ke pin 5-8
- 9. Operasi catu daya tunggal 5.0 V
- 10. Sensitivitas keluaran 66-185 mV/A
- 11. Tegangan keluaran sebanding dengan arus AC atau DC
- 12. Akurasi sudah diatur oleh pabrik
- 13. Tegangan offset yang sangat stabil
- 14. Histeresis magnetic hampir mendekati nol
- 15. Keluaran ratiometric diambil dari sumber daya

# 2.4 Voltage Divider [4]

Rangkaian pembagi tegangan biasanya digunakan untuk membuat suatu tegangan referensi dari sumber tegangan yang lebih besar, titik tegangan referensi pada sensor, untuk memberikan bias pada rangkaian penguat atau untuk memberi bias pada komponen aktif. Rangkaian

pembagi tegangan pada dasarnya dapat dibuat dengan 2 buah resistor, contoh rangkaian dasar pembagi tegangan dengan output VO dari tegangan sumber VI menggunakan resistor pembagi tegangan R1 dan R2 seperti pada gambar 1.4.



Gambar 2.6 Rangkaian Voltage Divider

Gambar 2.6 dari rangkaian pembagi tegangan diatas dapat dirumuskan tegangan output VO. Arus (I) mengalir pada R1 dan R2 sehingga nilai tegangan sumber VI adalah penjumlahan VS dan VO sehingga dapat dirumuskan sebagai berikut.

$$V_1 = V_5 + V_0 = i \cdot R1 + i \cdot R_2$$

Dari rangkaian pembagi tegangan diatas dapat dirumuskan tegangan output VO. Arus (I) mengalir pada R1 dan R2 sehingga nilai tegangan sumber VI adalah penjumlahan VS dan VO sehingga dapat dirumuskan sebagai berikut.

$$V_0 = V_1 \cdot \left(\frac{R_2}{R + R_2}\right)$$

Berdasarkan Hukum Ohm:

$$V = I.R$$

Dan selanjutnya dikatakan bahwa nilai resistansi, R, tidak tergantung terhadap I atau V. Dengan demikian nilai resistansi, R, adalah bergantung terhadap nilai resistansi, R, yang diberikan. Jika dilihat dari rangkaian, nilai tegangan sumber, V, sudah ditetapkan. Dengan demikian, variabel yang berubah adalah besar arus, I. Sehingga hukum Ohm dituliskan menjadi:

$$I = V / R$$

Dan karena R1 dan R2 disusun secara seri, dan sistem di atas hanya terdiri atas satu loop. Maka nilai R = R1 + R2. Sehingga:

$$I = V / (R1 + R2)$$

Dengan demikian, nilai VR1 dapat dipenuhi dengan persamaan:

VR1 = I.R1

VR1 = [V/(R1+R2)].R1

VR1 = [R1/(R1+R2)].V

Dan dengan proses yang sama, VR2 dapat dipenuhi dengan persamaan:

VR2 = [R2/(R1+R2)].V

## 2.5 Intel Galileo [5]

Intel Galileo adalah papan pengembangan (development board) berbasis Intel pertama yang dirancang untuk diprogram dengan menggunakan perangkat lunak Arduino – IDE. Galileo memiliki pin yang compatible dengan Arduino Uno R3 sehingga dapat beroperasi dengan shield Arduino standar. Mikroprosesor yang digunakan pada Galileo adalah mikroprosesor Intel® Quark<sup>TM</sup> SoC X1000 application processor, yang merupakan mikroprosesor 32 bit dengan kecepatan operasi 400 MHz. Beberapa fitur yang terdapat pada Galileo:





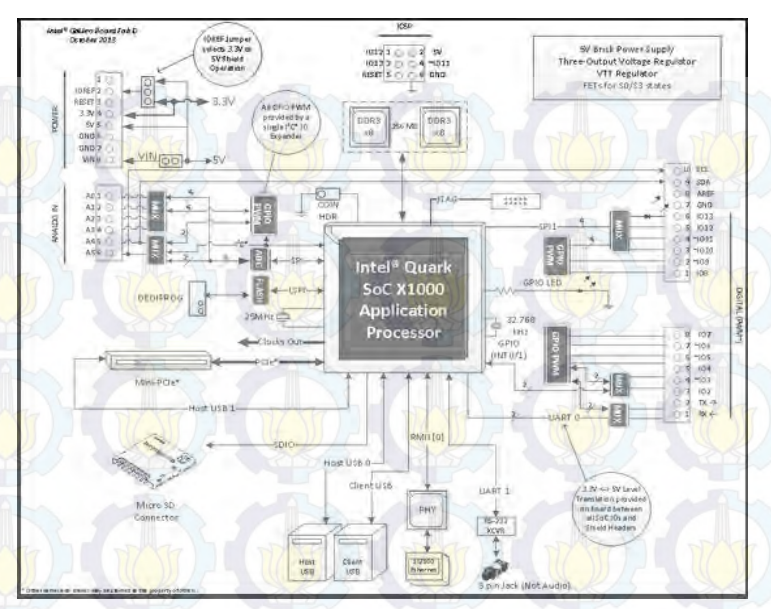
#### Gambar 2.7 Intel Galileo

- 1. Mendukung berbagai antar muka I/O standar industri, seperti *full-sized mini-PCI Express\** slot, 100 Mb *Ethernet port, microSD\** slot, USB host port, dan USB client port.
- 2. Memiliki media penyimpanan berupa 256 MB DDR3, 512 kb embedded SRAM, 8 MB NOR Flash, dan 8 kb EEPROM standard on the board, serta dapat dipasang microSD card maksimal 32 GB.
- 3. Memiliki susunan pin standar *Arduino (Digital, Analog, dan catu daya)* sehingga *compatible* dengan sebagian besar *shield Arduino*.

Galileo yang kami terima adalah merupakan generasi 2, yang memiliki beberapa perbedaan dibandingkan generasi pertama, antara lain:

- 1. Header 6-pin 3.3V USB TTL UART menggantikan 3.5 mm jack RS-232 console port untuk akses menggunakan OS Linux.
- 2. Konektor standar 6 pin kabel konverter serial USB ke TTL 3.3V
- 3. Peningkatan kecepatan dan kemampuan 12 pin GPIOs.
- 4. PWM 12 bit untuk pengendalian gerakan yang lebih halus pada motor servo dan DC
- 5. *UART* 1 dapat diarahkan ke *header Arduino* sehingga menghilangkan kebutuhan serial *software*.
- 6. Memiliki kemampuan 12V power-over-Ethernet (PoE) capable
- Catu daya dapat menerima tegangan maksimal 15V, dibandingkan 7V pada generasi 1.

Apa yang dapat dibuat menggunakan Galileo ini? Secara sederhana Galileo ini adalah peningkatan kapasitas dan kemampuan dari Arduino biasa, sehingga semua hal yang dapat dilakukan Arduino juga dapat dilakukan oleh Galileo. Dengan kelebihan yang dimiliki, Galileo dapat digunakan untuk melakukan komputasi yang rumit seperti memproses citra dari kamera, menganalisis suara, ataupun memadukan informasi dari beberapa sensor. Semoga Galileo yang diterima ini dapat bermanfaat bagi pengembangan pendidikan dan teknologi di bidang embeded system. Teknologi IoT (Internet of Thing) mendorong Intel mengeluarkan teknologi yang menggabungkan komputer mini dengan Arduino. Teknologi tersebut diberi nama Intel Galileo. Berbeda dengan Arduino yang menggunakan microcontroller sebagai dasarnya, Intel Galileo menggunakan Processor Intel Quark SoC X1000. Prosesor Quark X1000 sendiri adalah sebuah prosesor 32-bit berarsitektur yang sama dengan Intel Pentium dan memiliki memori cache tertanam sebesar 512KB. Selain hardware yang kompatibel dengan Arduino, pemrograman untuk Intel Galileo dapat menggunakan pemrograman untuk Arduino vaitu Arduino IDE (Integated Development Environment). Selain dapat menggunakan bahasa pemrograman C dan C# (bahasa pemrograman yang didukung dalam Arduino IDE), dapat juga digunakan bahasa pemrograman lain yang di antaranya adalah Phyton dan Node.js.



Gambar 2.8 Skema Intel Galileo

Gambar 2.8 menjelaskan tentang skematik intel galileo dengan dibekali Processor Intel Quark SoC X1000, Intel Galileo memiliki spesifikasi yang setara dengan komputer dengan prosesor *Pentium III* sehingga mampu menjalankan suatu sistem operasi. Sistem operasi yang mampu dijalankan pada Intel Galileo adalah sistem operasi Linux Yocto. Sistem tersebut dapat digunakan untuk menjembatani Intel Galileo dalam berkomunikasi dengan komputer lainnya. *Intel Galileo* juga dibekali dengan pin-pin seperti yang terdapat pada Arduino yaitu 14 pin digital I/O (input/output) dan 16 pin analog input. Dalam pin digital I/O terdapat 6 pin analog output. Dengan pin-pin ini kita dapat menggunakan Galileo untuk menerima dan mengolah data yang diperoleh dari suatu sensor serta memberikan suatu perintah kepada aktuator. Dengan kata lain, Intel Galileo mampu berkomunikasi dengan hardware-hardware seperti sensor, aktuator, ataupun rangkaian listrik digital lainnya. Pada Intel Galileo juga terdapat slot LAN dan PCIE sehingga *Intel Galileo* dapat digunakan untuk berkomunikasi melalui internet. Ini membuat kita dapat mengakses data yang diperoleh oleh Intel Galelio melalui internet. Selain itu kita juga dapat memberikan perintah melalu internet. Dari prinsip-prinsip inilah kita dapat membuat

alat yang berbasis IoT. Intel Galileo merupakan sistem yang mudah digunakan. Selain karena kompatibel dengan Arduino, Intel Galileo juga memiliki sifat yang open source dari sisi hardware maupun software. Hardware dan sofware-nya masih sangat mudah untuk dioprek. Selain kita dapat menggunakan Arduino IDE untuk melakukan pemrograman pada Intel Galileo, kelebihan dari Intel Galileo adalah kita dapat menggunakan *library* yang ada pada Arduino. Kelebihan lainnya yang terbiasa dengan pemrograman adalah bagi node.js untuk pemrogramannya. menggunakan pemrograman phyton juga dapat kita gunakan. Intel Galileo merupakan sistem yang membutuhkan sedikit tegangan saja untuk beroprasi. Sistem ini hanya membutuhkan tegangan sebesar 5v DC sehingga power dari kabel USB komputer mampu untuk memberikan energi untuk menjalankan Arduino.

Intel Galileo dalam Tugas Akhir yang telah kami buat digunakan sebagai client untuk mengakuisi data dari sensor dan dikirimkan ke MQTT server (pubnub), sebelum dikirim ke komputer remote.

## 2.6 Javascript [6]

Javascript adalah bahasa script yang dikembangkan oleh netscape untuk membuat dokumen yang dinamis. Java script adalah bahasa script sederhana yang mempunyai kemiripan dengan bahasa pemograman C. JavaScript juga dikenal sebagai sebuah kode pemograman berorientasi objek (objek Oriented Programming) disingkat OOP. javaScript memiliki keistimewaan untuk ditambahkan pada kode HTML dan membuat dokumen menjadi lebih interaktif. Javascript adalah sebuah bahasa komputer atau kode pemrograman yang digunakan pada website agar website tersebut menjadi lebih interaktif dan dinamis. Javascript adalah jenis bahasa pemrograman client side. Penggunaan kode javascript pada sebuah website bersifat opsiomal, artinya tidak harus selalu ada. Namun, website-website maupun blog modern saat ini hampir semuanya menggunakan kode *javascript* walaupun sedikit. javaScript bukan Java, meskipun antara keduanya ada persamaan. Bahasa JavaScript menyurupai Java tetapi tidak memiliki penulisan yang statis dan kontrol yang kuat. javaScript mendukung banyak syntax ekspresi dan konstruksi alur kendali dasar Java. Manfaat, Fungsi & Peran JavaScript Seperti yang disebutkan diatas, javascript berfungsi membuat sebuah halaman website lebih interaktif dan dinamis. Penggunaan kode javascript sangat dibutuhkan untuk website-website

yang berorientasi pada kenyamanan pengakses (user-experience). Namun, penggunaan kode javascript ini tidak akan maksimal jika tidak dibarengi dengan penggunaan css karena javascript juga tidak akan lepas dari html. Ketiga bahasa pemrograman itu sangat erat kaitannya. Jika saya ibaratkan sebuah website adalah rumah, maka kode html adalah segala yang membangun dan ada dirumah tersebut (tembok, tiang, atap, pondasi, ruang keluarga, kamar, dapur, peralatan rumah tangga, dan sebagainya). Lalu, kode css adalah pengatur dan penghias rumah tersebut(tata letak, warna dan sebagainya). Dan peran javascript bisa sebagai 'pembantu' kode css agar pengaturan dan hiasannya lebih bagus dengan tambahan pernak-pernik misalnya. Bisa juga untuk memanipulasi kode html dengan nama/identitas tertentu. Manipulasi ini bisa berupa menyembunyikan, menganti bahkan menambahkan elemen html yang baru.

## 2.7 Bootstrap [7]

Bootstrap merupakan framework yang mampu mengatasi kesulitan maupun permasalahan yang ada saat mendesign website. Bootstrap dengan segala kelengkapannya yang dibutuhkan pada masalah design baik itu menggunakan css maupun javascript, sudah disajikan begitu mudah, menarik dan tentunya mampu menyelesaikan design secara cepat. Tampilan yang juga responsive pada banyak platform, tetap rapi baik pada tampilan versi desktop maupun pada versi mobile. Salah satu contoh website besar yang menggunakan framework bootstrap adalah Twitter, interface twitter di bangun dengan menggunakan bootstrap. karena sebenarnya bootstrap di kembangkan oleh developer twitter sendiri sehingga bootstrap sering juga di sebut "twitter bootstrap". Bootstrap berisi kumpulan class yang siap pakai, misalnya anda ingin membuat sebuah tombol dengan cepat dan tana harus merancang dan mengetikkan syntax css untuk membuat sebuah tombol, maka dengan bootstrap anda dapat membuatnya dengan sangat cepat, yaitu hanya dengan menambahkan class "btn" dan menambahkan class btn. Berikut ini akan di jelaskan beberapa kegunaan yang telah menjadi kelebihan pada bootsrap, adapun beberapa kelebihan bootstrap adalah sebagai berikut

#### 2.8 Pubnub

PubNub adalah jasa global Data Stream Network (DSN) dan realtime infrastruktur - as-a -service (IaaS) perusahaan yang berbasis di

San Francisco, California, perusahaan tersebut membuat produk untuk pengembang perangkat lunak dan perangkat keras untuk membangun web realtime, mobile, dan Internet of Things (IOT) aplikasi . produk utama PubNub adalah realtime mempublikasikan / berlangganan messaging API dibangun pada jaringan aliran data global mereka yang terdiri dari jaringan direplikasi setidaknya 14 pusat data yang terletak di Amerika Utara, Amerika Selatan, Eropa, dan Asia, jaringan saat ini melayani lebih dari 300 juta perangkat dan sungai lebih dari 750 miliar pesan per bulan. Cara penggunaan pubnub adalah dengan mendaftarkan akun *email* yang resmi dan sudah terverifikasi dengan *email* yang sudah terdaftar, selanjutnya email dapat digunakan untuk login ke dashboard dari pubnub. Penggunaan dengan cara membuat aplikasi pubnub. Didalam aplikasi pubnub tersebut terdapat subscription key dan publish kev vang dapat digunakan untuk berlangganan pubnub. Didalam pubnub, terdapat channel yang berfungsi sebagai saluran utama untuk menerima dan mengirimkan data.

## 2.9 Jade ( java agent devlopment framemwork )

JADE (Java Agent Development Framework) adalah middleware yang dapat digunakan untuk mengembangkan dan menjalankan aplikasi peer to peer yang berdasarkan pada paradigma agent. Sesuai namanya bahasa pemrograman yang digunakan untuk mengembangkan agent dalam JADE adalah Java. Prinsip Kerja JADE. Jade sebagai middleware yang memberikan fasilitas untuk pengembangan sistem berbasiskan agent menyediakan:

- 1. Runtime environment yang menjadi tempat di mana agent dapat berjalan dan harus aktif pada host dimana agent akan bekerja.
- 2. Pustaka berupa kelas-kelas yang dapat/harus digunakan untuk mengembangkan agent.
- 3. Sekumpulan graphic tool yang digunakan untuk melakukan administrasi dan monitoring terhadap aktivitas agent yang sedang berjalan pada runtime environment.

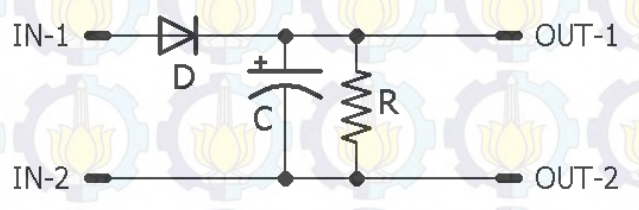
Runtime environement dalam JADE dikenal dengan istilah container. Satu host dapat menjalankan lebih dari satu container dan setiap container bisa menangani beberapa agent. Sekumpulan container yang aktif disebut sebagai platform. Sebuah platform dapat memiliki container yang berasal dari host yang berbeda-beda. Satu platform harus memiliki satu container yang memiliki atribut sebagai main container

yang aktif. Semua container yang aktif dan ingin bergabung dalam sebuah platform harus bergabung dengan mendaftarkan diri pada main container dan tidak boleh beratribut sebagai main container atau disebut juga normal container. Selain menerima pendaftaran dari normal container sebuah main container selalu memiliki dua buah agent yang aktif secara otomatis ketika main container dijalankan. Kedua agent itu adalah:

- 1. AMS (Agent Management System) yang menyediakan naming service yang memastikan setiap agent dalam platform memiliki identitas yang unik. Selain itu AMS dapat merepresentasikan otoritas dalam platform di mana melalui AMS kita dapat menjalankan atau menghentikan agent dalam container yang terdaftar.
- 2. *DF (Directory Facilitator)* adalah *agent* yang berfungsi sebagai "yellow pages" bagi *platform*. Melalui *DF* sebuah *agent* dapat mencari *agent* yang aktif dan layanan yang diberikan *agent* tersebut

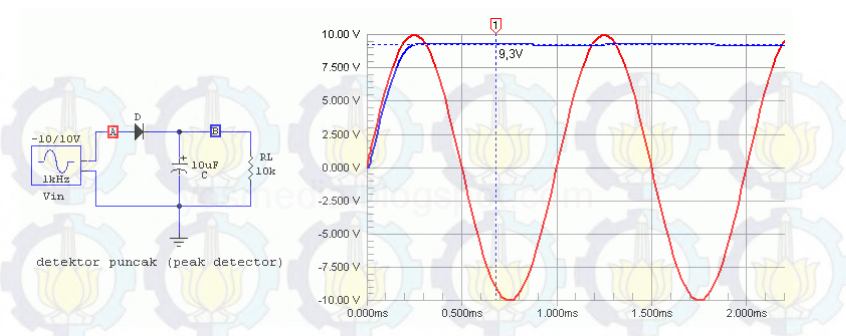
#### 2.10 Peak Detector

peak detector adalah rangkaian yang terdiri dari hubungan seri sebuah dioda dengan kapasitor yang menghasilkan output, secara teori, berupa tegangan DC yang sama dengan amplitudo puncak (Vp) tegangan AC sebagai input. Tetapi karena dioda yang ada tidaklah ideal maka tegangan output DC yang dihasilkan adalah hasil pengurangan dari amplitudo puncak tegangan AC sebagai input dengan tegangan buka dioda sebesar 0,7V.



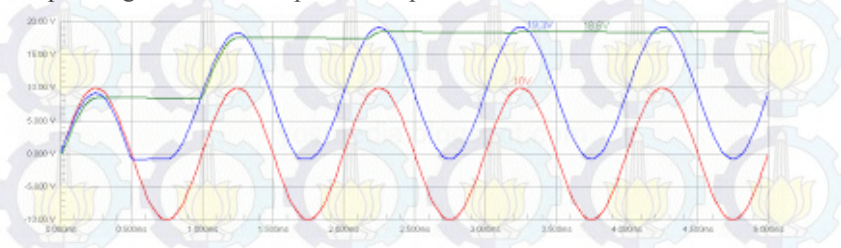
Gambar 2.9 Rangkaian Peak Detector

Gambar 2.9 menjelaskan tentang rangkaian *peak detektor* yang menggunakan *input* sensor arus ACS712 untuk mendeteksi *peak* pada sensor arus.



Gambar 2.10 Peak Detector

Sama seperti rangkaian detektor puncak, *output* dari rangkaian detektor puncak ke puncak ini juga dipengaruhi oleh tegangan buka diode seperti pada gambar 2.9. Hal ini dapat ditunjukkan pada grafik output rangkaian detektor puncak ke puncak berikut.



Gambar 2.11 Gelombang Peak Detector

Untuk rangkaian penjepit DC positif dapat kita ketahui *output*, yaitu : *Voutclamper* = Vin(*peak-to-peak*) - VD = 20 - 0,7 = 19,3V

Output rangkaian penjepit DC positif ini kemudian dijadikan sebagai input rangkaian detektor puncak, yang juga merupakan output rangkaian detektor puncak ke puncak, yang besarnya adalah:

$$\begin{aligned} &Vout_{(peak-to-peak\ detector)} = Vin_{(peak-to-peak)} - V_D \\ &Vout_{(peak-to-peak\ detector)} = Vout_{(clamper)} - V_D = 19.3 - 0.7 = 18.6V \end{aligned}$$

## 2.11 Optocoupler [8]

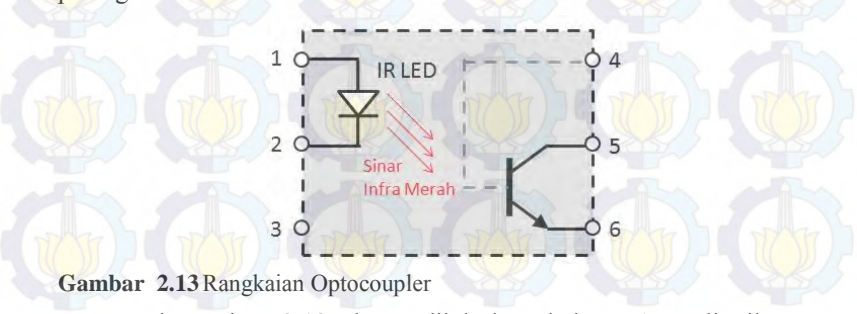
Optocoupler adalah komponen elektronika yang berfungsi sebagai penghubung berdasarkan cahaya optik. Pada dasarnya Optocoupler terdiri dari 2 bagian utama yaitu Transmitter yang berfungsi sebagai pengirim cahaya optik dan Receiver yang berfungsi sebagai pendeteksi sumber cahaya. Masing-masing bagian Optocoupler (Transmitter dan

Receiver) tidak memiliki hubungan konduktif rangkaian secara langsung tetapi dibuat sedemikian rupa dalam satu kemasan komponen.



Gambar 2.12 Simbol Dan Bentuk Optocoupler

Pada gambar 2.11menjelaskan jenis-jenis Optocoupler yang sering ditemukan adalah Optocoupler yang terbuat dari bahan Semikonduktor dan terdiri dari kombinasi LED (Light Emitting Diode) dan Phototransistor. Dalam Kombinasi ini, LED berfungsi sebagai pengirim sinyal cahaya optik (Transmitter) sedangkan Phototransistor berfungsi sebagai penerima cahaya tersebut (Receiver). Jenis-jenis lain dari Optocoupler diantaranya adalah kombinasi LED-Photodiode, LED-LASCR dan juga Lamp-Photoresistor, Prinsip Kerja Optocoupler, Pada prinsipnya, Optocoupler dengan kombinasi LED-Phototransistor adalah Optocoupler yang terdiri dari sebuah komponen LED (Light Emitting Diode) yang memancarkan cahaya infra merah (IR LED) dan sebuah komponen semikonduktor yang peka terhadap cahaya (*Phototransistor*) sebagai bagian yang digunakan untuk mendeteksi cahaya infra merah yang dipancarkan oleh IR LED. Untuk lebih jelas mengenai Prinsip kerja Optocoupler, silakan lihat rangkaian internal komponen Optocoupler pada gambar 2.12:



Dari gambar 2.12 dapat dijelaskan bahwa Arus listrik yang mengalir melalui *IR LED* akan menyebabkan *IR LED* memancarkan

sinyal cahaya Infra merahnya. Intensitas Cahaya tergantung pada jumlah arus listrik yang mengalir pada *IR LED* tersebut. Kelebihan Cahaya Infra Merah adalah pada ketahanannya yang lebih baik jika dibandingkan dengan Cahaya yang tampak. Cahaya Infra Merah tidak dapat dilihat dengan mata telanjang. Cahaya Infra Merah yang dipancarkan tersebut akan dideteksi oleh *Phototransistor* dan menyebabkan terjadinya hubungan atau *Switch ON* pada *Phototransistor*. Prinsip kerja *Phototransistor* hampir sama dengan Transistor Bipolar biasa, yang membedakan adalah Terminal Basis (Base) *Phototransistor* merupakan penerima yang peka terhadap cahaya.

### 2.12 MQTT (Message Queuing Telemetery Transport)

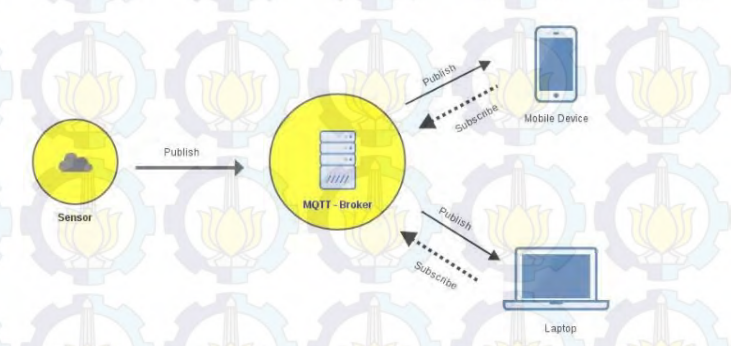
MQTT (Message Queuing Telemetry Transport) adalah protokol konektivitas m2m (Machine To Machine) atau IoT berbasis open source dengan standard terbuka dirancang untuk perangkat terbatas dengan bandwidth rendah, latency tinggi, dan jaringan buruk. MQTT ideal untuk pearangkat m2m (Machine To Machine) dimana bandwidth dan daya tahan baterai menjadi pertimbangan utama. Ada beberapa pertimbangan mengapa transfer data di sistem IoT harus seefisien mungkin. Seperti anda ketahui bahwa pada sistem IoT terutama pada bagian perangkat akuisisi data seperti sensor & embedded device biasanya memakai catu daya yang disediakan oleh baterai, solar panel dll. Koneksi perangkat ini dengan server atau internet biasanya memakai koneksi WiFi, Bluetooth, GSM, gelombang radio dll yang memerlukan catu daya cukup besar saat koneksi terjadi apalagi kalau koneksi terjadi tiap waktu, batasan lainnya yaitu ukuran media penyimpanan internal dan RAM dari perangkatperangkat ini biasanya relatif cukup kecil. Jadi ada beberapa optimasi yang harus diperhatikan dalam pertukaran data pada sistem IoT agar transfer data bisa seefisien mungkin

- Menekan ukuran paket data sekecil mungkin sehingga trafik bisa meningkat.
- 2. Meminimalisasi proses komputasi untuk *encoding* dan *decoding* dari paket data.
- 3. Data hanya menggunakan ruang penyimpanan yang sekecil mungkin.

Optimasi-optimasi diatas disediakan oleh protokol yang bernama MQTT.

Protokol MQTT (Message Queuing Telemetry Transport) adalah protokol yang berjalan pada diatas stack TCP/IP dan mempunyai ukuran

paket data dengan *low overhead* yang kecil (minimum 2 bytes) sehingga berefek pada konsumsi catu daya yang juga cukup kecil. Protokol ini adalah jenis protokol *data-agnostic* yang artinya anda bisa mengirimkan data apapun seperti data binary, text bahkan XML ataupun JSON dan protokol ini memakai model *publish/subscribe* daripada model *client-*server.



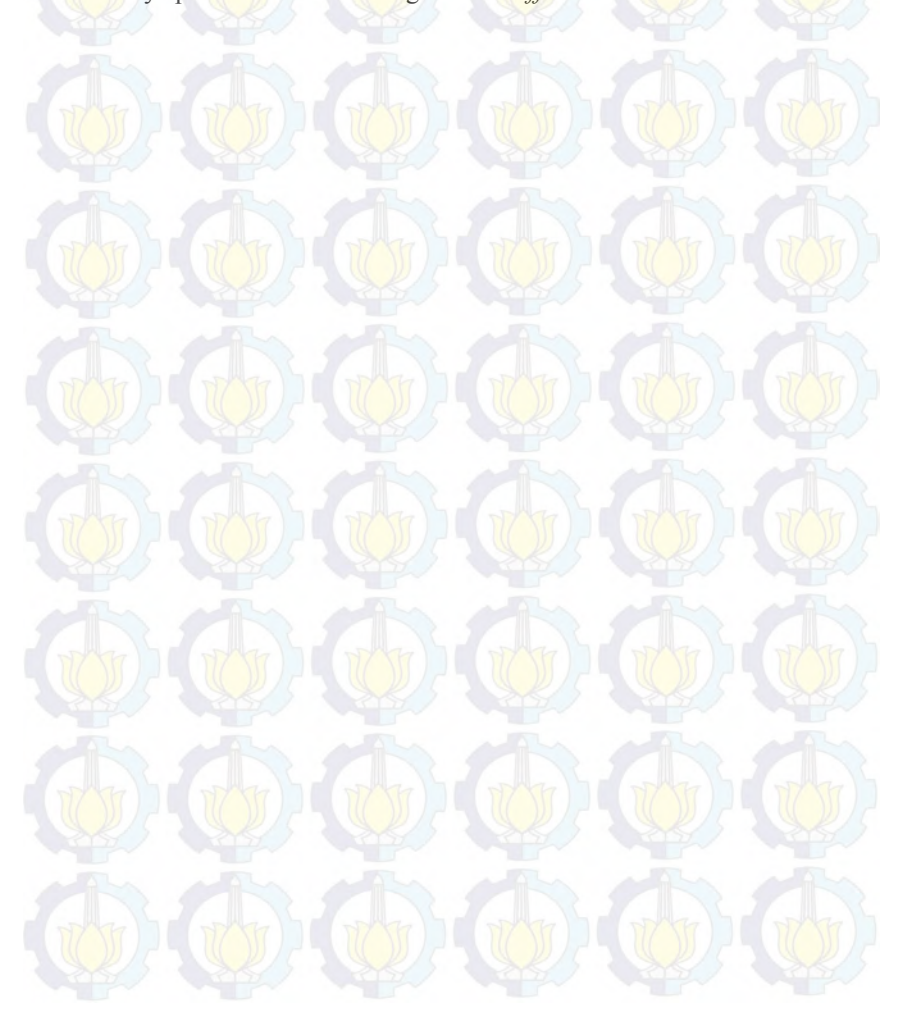
#### Gambar 2.14 Sistem Umum *IoT* Memakai *MQTT*

Pada gambar 2.13 menjelaskan tentang, *Stack TCP/IP* sudah banyak di dukung oleh mikrokontroler seperti seri STM32Fx7 maupun device board yang umum dipasaran seperti *Arduino Yun, Arduino* + *Ethernet Shield, ESP8266 WiFi SoC, Raspberry Pi, Intel Galileo* dll. Jadi sebenarnya banyak pilihan untuk belajar *IoT* dengan memakai protokol ini ditambah lagi harga device yang semakin murah dan terjangkau. Sistem umum *MQTT* seperti pada gambar diatas membutuhkan dua komponent perangkat lunak utama yaitu

- 1. MQTT Client yang nantinya akan di install di device. Untuk Intel Galileo bisa memakai pubsubclient, pustaka seperti mqtt.js bisa dipakai pada platform Node.js di Raspberry Pi ataupun laptop.
- 2. MQTT Broker yang berfungsi untuk menangani publish dan subscribe data. Untuk platform Node.js bisa memakai broker mosca sedangkan untuk platform yg lain banyak broker tersedia seperti mosquitto, HiveMO dll.

Keuntungan dari sistem *publish/subscribe* adalah antara sumber pengirim data (*publisher*) dan penerima data (klien) tidak saling mengetahui karena ada *broker* diantara mereka atau istilah kerennya yaitu *space decoupling* dan yang lebih penting lagi yaitu adanya *time* 

decoupling dimana publisher dan klien tidak perlu terkoneksi secara bersamaan, misalnya klien bisa saja disconnect setelah melakukan subscribe ke broker dan beberapa saat kemudian klien connect kembali ke broker dan klien tetap akan menerima data yang terpending sebelumnya proses ini dikenal dengan mode offline.

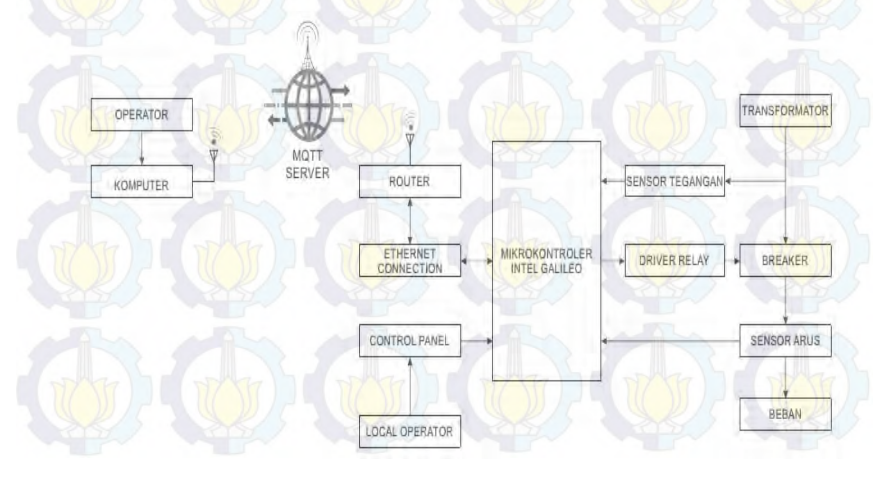


# BAB III PERANCANGAN SISTEM KONTROL

Bab ini membahas tentang sistem proses kerja dari Tugas Akhir dalam bentuk diagram, perancangan perangkat keras dan perancangan perangkat lunak. Perancangan perangkat keras dibagi menjadi perancangan elektronik dan juga perancangan mekanik. Perancangan elektronik meliputi di<mark>agram input-output sistem intel galile</mark>o, perancangan sensor arus, perancangan pengondisian sinyal sensor arus, perancangan sensor tegangan, perancangan power supply untuk pengondisi sensor arus, dan driver relay. Untuk perancangan mekanik, perancangan blok circuit breaker, dan perancangan box panel yang mendukung kerja alat. Untuk perancangan perangkat lunak perancangan menggunakan bahasa pemograman Intel Galileo JavaScript, perancangan pemrograman analog input intel galileo yang terhubung dengan pengondisi sinyal dan sensor tegangan.

### 3.1 Blok Fungsional Sistem

Pada bab ini dibahas mengenai perancangan alat secara keseluruhan. Dijelaskan pula lebih terinci tiap-tiap bagian atau blok-blok penyusun alat ini berupa blok *fungsional* sistem.



Gambar 3.1 Blok Fungsional

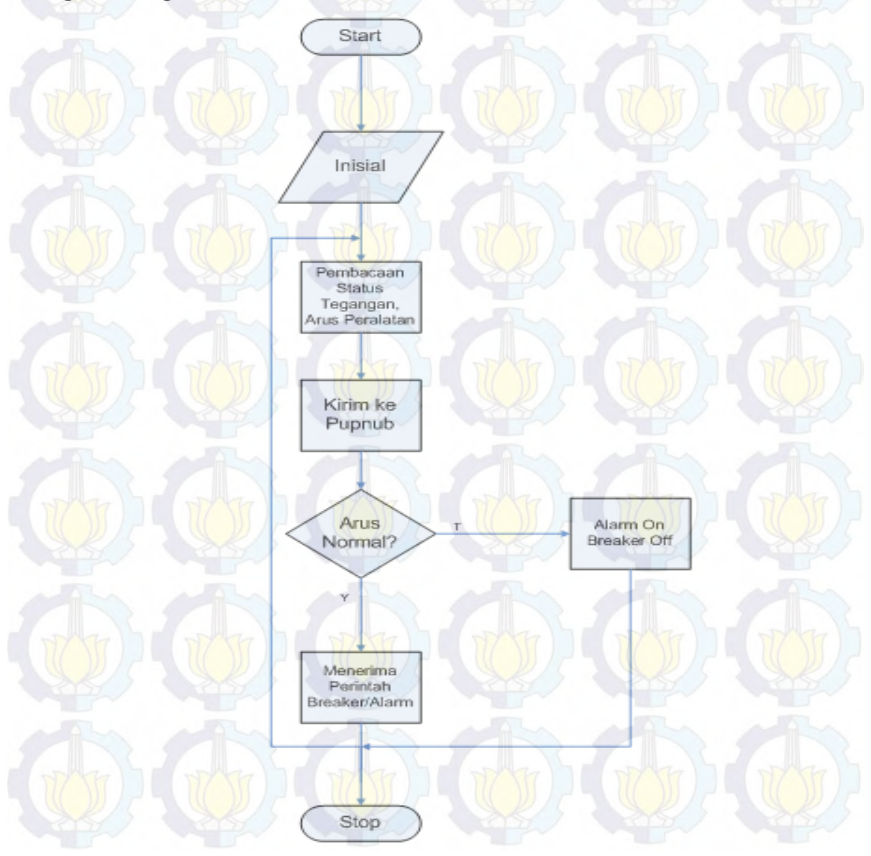
Gambar 3.1 merupakan blok fungsional untuk perancangan Monitoring gardu distribusi listrik PLN. Diagram blok tersebut memiliki tahapan sebagai berikut :

- 1. Operator memantau kondisi jaringan di lapangan pada tampilan. Sesuai kondisi, operator dapat mengirimkan perintah untuk dikondisikan pada peralatan. Perintah yang dapat dikirimkan berupa sinyal untuk menghubungkan atau memutuskan breaker serta menyalakan atau mematikan alarm peringatan.
- 2. Data dari sensor dan kondisi sistem yang ada di lapangan akan di transfer ke komputer operator melalui jaringan ethernet yang telah disediakan oleh *ICON*+ dan terhubung ke jaringan Internet.
- 3. Data hasil akuisisi pada *intel galileo* akan dikirmkan ke *MQTT* server secara streaming sebelum ditampilkan pada tampilan *visual* pada komputer master. Pada *mqtt server*, semua data akan terekam dan terdapat log dari keseluruhan dari keseluruhan data yang dikirim.
- 4. Keseluruhan komunikasi antara perangkat di lapangan dengan komputer pada operator dilaksanakan melalui layanan *MQTT* streaming message yaitu *Pubnub*.
- 5. Pada Box, terdapat panel yang digunakan untuk operasi operator lapangan. Panel ini sebagai backup atau kontrol lokal apabila terdapat masalah koneksi antara *remote* operator dengan peralatan.
- 6. Pada peralaan ini, terbagi menjadi 2 bagian yaitu elektronik dan mekanik. Bagian elektronik pada peralatan ini terdiri dari CPU berupa *Intel Galileo*, sensor arus ACS712, sensor tegangan, driver relay, push button local operator, led indikator, dan rangkaian circuit breaker. Mekanik pada peralatan ini, menggunakan relay/kontaktor sebagai pemutus dan penghubung antara sumber tegangan(transformator) dengan beban. Semua komponen tersebut, disusun pada papan akrilik dan dicover oleh box panel yang terbuat dari besi.
- 7. Ketika CPU menerima perintah dari *remote* operator, maka peralatan akan mengeksekusi sesuai perintah yang dikirimkan secara *remote* baik untuk mematikan atau menyalakan alarm maupun memutus atau menyambungkan *circuit breaker*.

8. Pada panel operator *lokal*, terdapat sakar untuk memfungsikan panel operator lokal dan sakar untuk memutus dan menyambungkan *circuit breaker* secara lokal. Selain sakar, terdapat indikator yang digunakan untuk memantau kondisi dari *circuit breaker* dan status fungsi panel.

## 3.2 Perancangan Elektronik

Adapun *flowchart* untuk alur cara kerja dan beberapa perancangan elektronik yang digunakan pada proyek Tugas Akhir ini, sebagai berikut perancangan elektronik:



Gambar 3.2 Flowchart Pada Hardware

## 3.2.1 Perancangan Pengondisi Sinyal Sensor Arus ACS712

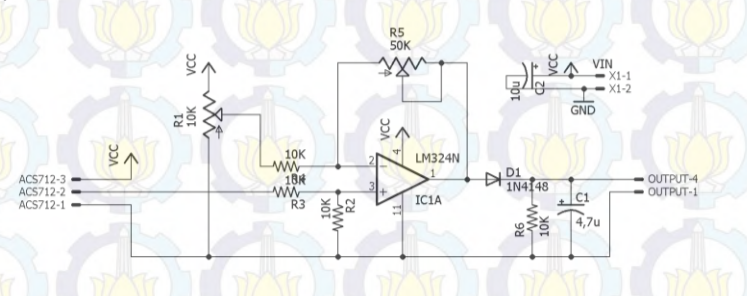
Sensor Arus ACS712 adalah komponen yang digunakan untuk mengukur besar arus yang mengalir pada satu rangkaian dengan memanfaatkan prinsip *Hall-Effect*. *Hall-Effect* sensor bekerja berdasarkan medan magnet yang terjadi akibat adanya aliran arus. Oleh sensor, medan magnet tersebut dikonversi menjadi tegangan. Berikut gambar hubungan sensor arus ACS712 dengan *Intel Galileo*:



Gambar 3.3 Diagram Koneksi Sensor Arus ACS712

Pada Gambar 3.3 terdapat blok diagram antara sensor ACS712, rangkaian pengondisi sinyal, dan Intel Galileo. Bentuk gelombang output dari sensor ACS712 tergantung dari jenis arus yang diukur. ACS712 pada alat ini digunakan untuk mengukur AC yang memiliki sifat arus yang selalu berubah arah (bolak-balik) membentuk gelombang sinusoidal sehingga *output* dari ACS712 akan ikut berbentuk sinusoidal dengan referensi apabila arus yang diukur oleh hall-effect bernilai 0 maka output dari ACS akan bernilai VCC/2. Dalam rangkaian ini, ACS712 disuplai tegangan dari rangkaian pengondisi sinyal sebesar 5Volt. Maka, apabila sensor tidak dialiri arus maka tegangan *output* dari sensor akan bernilai ±2,5Volt dan berubah naik turun sesuai dengan arus inputnya yang berupa arus bolak-balik. ACS712 memiliki berbagai macam kapasitas arus, setiap perbedaan kapasitas memiliki resolusi perubahan tegangan yang berbeda dalam satuan mV/A. Kapasitas ACS vang dipakai pada peralatan ini memiliki batas maksimal sebesar 30 Ampere dengan perubahan setiap amperenya sebesar 66mV (66mV/A). Karena nilai dari output ACS yang berbentuk sinusiodal dengan nilai rata-rata sebesar 2,5Volt, maka dibutuhkan rangkaian tambahan berupa differential amplifier dan peak detector yang berfungsi menggeser nilai rata-rata output ACS712 dari VCC/2 menjadi 0 dan mendeteksi titik

puncak dari tegangan yang dihasilkan oleh ACS712 sehingga pembacaan ADC pada mikrokontroller menjadi lebih stabil. Rangkaian dasar dari sistem pengondisi sinyal digambarkan pada skema gambar 3.4.



Gambar 3.4 Skematik Pengondisi Sinyal Output ACS712.

Dari Gambar 3.4 ada beberapa komponen penyusun dari sistem pengondisi sinyal ACS712 diantaranya Op-Amp dan rangkaian peak detector. Op-Amp pada rangkaian ini disusun menggunakan prinsip differential Amplifier, dimana cara kerja dari rangkaian Op-Amp ini dengan menghitung perbedaan tegangan antara kedua kaki inputnya. Sinyal input pada kaki Non-Inverting dikurangi dengan sinyal input pada kaki Inverting. Kaki Non Inverting pada Op-Amp mendapatkan sinya output dari ACS712, sedangkan kaki invertingnya dihubungkan dengan multiturn sebagai pengatur tegangan referensinya. Output tegangan dari *Op-Amp* akan bernilai sama dengan nilai hasil dari pengurangan antara kedua inputnya. Hasil dari proses pengurangan oleh Op-Amp akan diumpankan menuju rangkaian peak detector yang terdiri dari kapasitor dan resistor. Pada rangkaian ini, tegangan output dari *Op-Amp* yang berupa setengah gelombang sinusoidal akan akan mencharge kapasitor pada saat nilai tegangan gelombang bertambah. Pada saat nilai gelombang turun, maka kapasitor yang masih menyimpan tegangan akan melakukan discharge oleh resistor. Waktu discharge kapasitor ini ditentukan oleh kapasitas kapasitor dan besar nilai resistor. Output dari rangkaian ini berupa tegangan searah dengan minimum ripple. Pada ujung rangkaian, terdapat dioda zener yang berfungsi sebagai sebagai *filter* tegangan agar nilai outputnya tidak melebihi 5,1 Volt. Sehingga output dari rangkaian aman sebelum dimasukkan menuju kaki input ADC pada mikrokontroler.

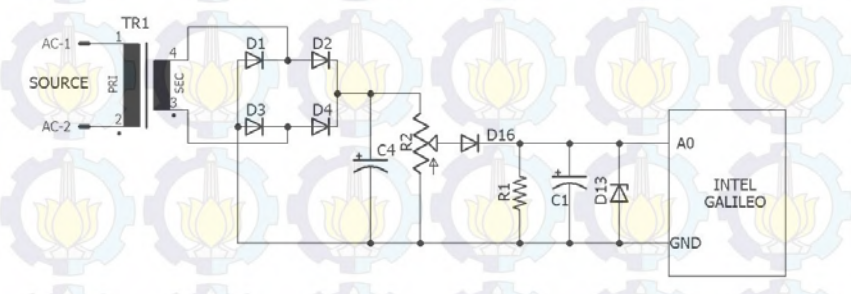
## 3.2.2 Perancangan Sensor Tegangan

Untuk sensor tegangan digunakan transformator, hal ini dimaksudkan agar keluaran dari trafo stabil dengan keluarannya sehingga nantinya sinyal yang masuk dapat dibaca oleh ADC. Sensor tegangan berfungsi sebagai pendeteksi adanya gangguan pada jaringan yang berapa pada tegangan listrik tersebut dengan begitu gangguan yang terjadi akan di baca oleh *Intel Galileo*.



Gambar 3.5 Diagram Analog Sensor Tegangan

Pada gambar 3.5 terdapat blok diagram antara sensor tegangan dan *intel Galileo*. Menjelaskan tentang rangkaian sensor tegangan yang terdiri dari 3 yang berfungsi sebagai penurun tegangan yang dikendalikan didalam rangkaian *analog* sensor tegangan selanjutnya dibaca oleh *Intel Galileo*, untuk dijalankan sebagai mana mestinya.



Gambar 3.6 Skematik Sensor Tegangan

Pada Gambar 3.6 ada beberapa komponen penyusun dari sistem pengondisi tegangan diantanya trafo dan rangkaian sensor tegangan, trafo pada rangkaian tegangan berfungsi sebagai penurun tegangan yang berlebih. Pada gambar 3.6 menggunakan trafo dengan rasio primer dan

sekunder sebesar 220 banding 6 volt, trafo yang digunakan sebesar 100 mA.

### 3.2.3 Perancangan Power Supply

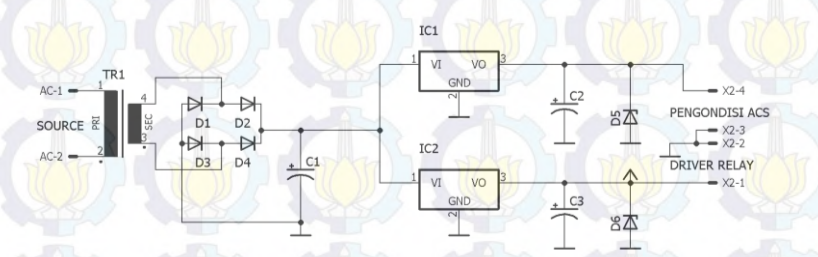
Digunakan untuk memberi masukan tegangan pada keseluruhan komponen yang terdapat pada sistem alat ini. Rangkaian *Power Supply* ini berguna sebagai sumber daya listrik untuk memberikan sumber pada perangkat lainnya, rangkaian *Power supply* pada gambar 3.7:



Gambar 3.7 Diagram Power Supply

Pada gambar 3.7 menjelaskan tentang power suplly yang merupakan sebuah disain *power supply* dengan efisiensi daya yang baik. Saat ini perlatan elektronika yang menggunakan adaptor semakin banyak dan semakin beraneka ragam. Mulai dari peralatan elektronik yang murah seperti radio sampai dengan handphone. Kebutuhan adaptor sebagai sebuah alternatif sebagai pengganti batterai lebih disukai karena baterai tidak dapat tahan lama dan secara otomatis membuat biaya operasional sebuah alat elektronik tersebut menjadi lebih besar. Dengan sebuah adaptor tidak lagi dibutuhkan baterai tetapi kelemahannya tidak dapat dibawa-bawa dengan mudah karena adapator harus selalu tersambung ke jaringan listrik PLN. Tetapi walaupun demikian adaptor tetap digunakan. Dari berbagai macam adaptor yang terdapat dipasaran, adaptor konvensional dengan transformator penurun tegangan serta regulator tegangan sederhana lebih banyak ditemukan daripada adaptor dengan teknologi switching. Power suplai yang baik harus mampu memberikan tegangan regulasi yang baik serta mampu memberikan arus yang cukup kepada beban. Tegangan yang tidak terregulasi pada *output* power supplai dapat menyebabkan perlatan elektronika yang menggunakan power supply tersebut akan rusak

terutama bagian regulasi tegangan (jika ada) tetapi jika peralatan tersebut tidak membunyai rangkaian regulasi tegangan internal maka dapat dipastikan perlatan elektronik tersebut akan rusak.

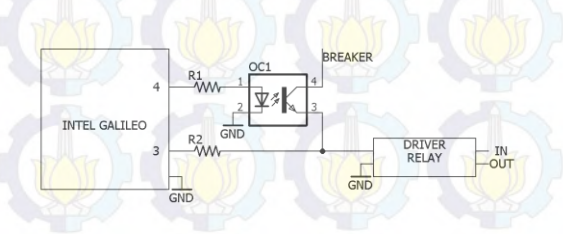


Gambar 3.8 Skematik Rangkaian Power Supply

Rangakain *power supply* ini sangat penting karena rangakaian tersebut yang nantikanya akan memberikan tegangan pada perngakat elektronik lainnya sebagai mana fungsinya rangkaian *power supply* adalah rangkaian yang memberikan sumber untuk perangkat elektronik yang terdapat pada alat ini, jadi *power supply* ini memberikan sumber untuk menjalankan alat ini.

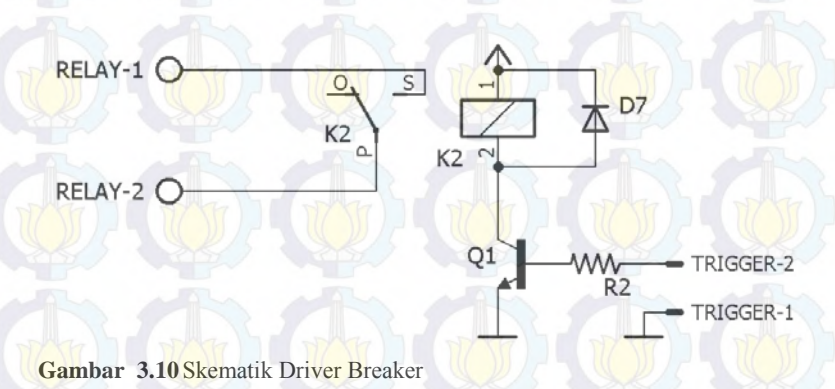
## 3.2.4 Perancangan Breaker

Pada dasarnya rangkaian breaker berfungsi sebagai pengaman pada perangkat listrik yang apabila terjadi hubung singkat ataupun ada arus berlebih, maka rangkaian breaker yang akan memutus aliran listrik secara otomatis bila terjadi gangguan arus belebih ataupun hubungsingkat, memberikan perlindungan terhadap lonjakan tegangan yang dikhawatirkan bisa menjadi penyebab kerusakan pada sirkuit penyearah atau bisa disebut sebagai pengaman arus (overload). Rangkaian Breaker pada gambar 3.10.



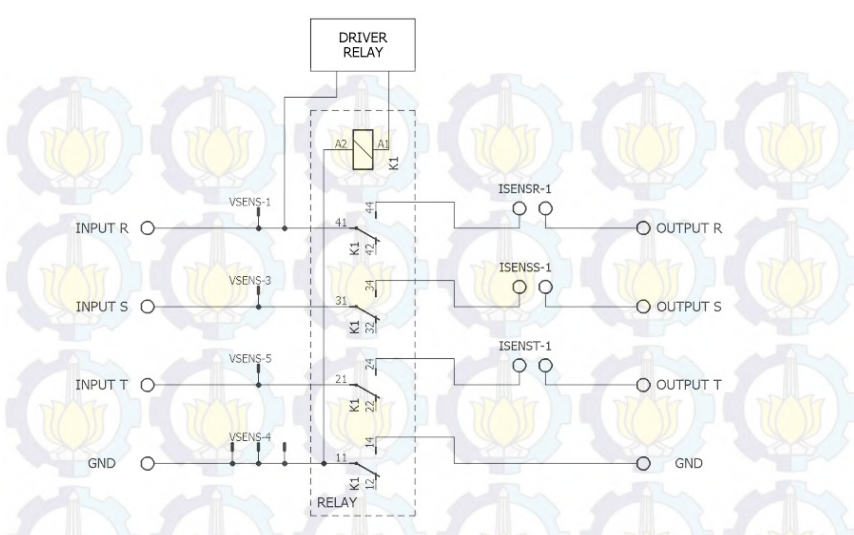
Gambar 3.9 Rangkaian Breaker

Rangkain *Breaker* atau Sakelar Pemutus Tenaga adalah suatu peralatan pemutus rangkaian listrik pada suatu sistem tenaga listrik, yang mampu untuk membuka dan menutup rangkaian listrik pada semua kondisi, termasuk arus hubung singkat, sesuai dengan ratingnya. Juga pada kondisi tegangan yang normal ataupun tidak normal., dan berikut skematik *driver breaker* pada gambar 3.11.



Pada gambar 3.11 menjelaskan tentang skematik driver breaker, terdapat bagian-bagian yang memiliki fungsi yang berbeda-beda untuk menjalankan breaker dengan sebagai mana mestinya, driver breaker berfungsi untuk menjalakan rangkaian breaker agar bekerja sebagai mana fungsinya yang dapat memutus dan menyambungkan arus listrik pada jaringan distribusi PLN.



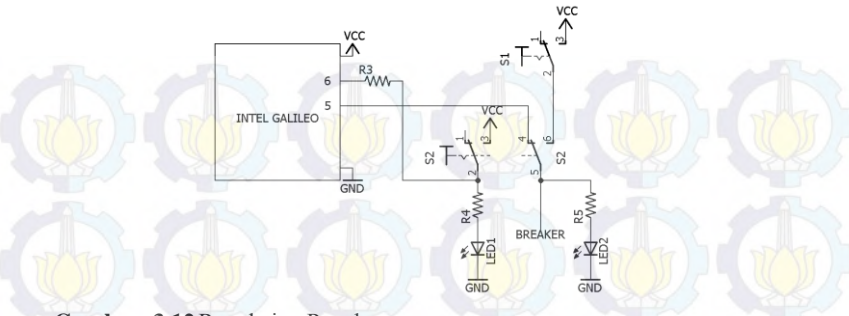


### Gambar 3.11 Driver Relay

Gamba 3.11 menjelaskan driver relay bekerja berdasarkan pinsip kerja relay yaitu Secara prinsip, relay merupakan tuas saklar yang berfungsi untuk memutus dan menyambungkan kontak sesui dengan perintah yang di berikan pada driver relay. Penggunaan driver relay untuk mengontrol kondisi panel distribusi listrik PLN jika terjadi gangguan yang memerlukan pemutusan pada panel distribusi PLN, maka driver reley inilah yang akan menjalankan perintah yang diberikan.

# 3.2.5 Perancangan Panel

Rangakaian panel berfungsi sebagai pengontrol panel secara lokal yang digukan untuk mengontrol kondisi panel ketika dilapangan secra langsung, rangkaian Panel pada gambar 3.12.

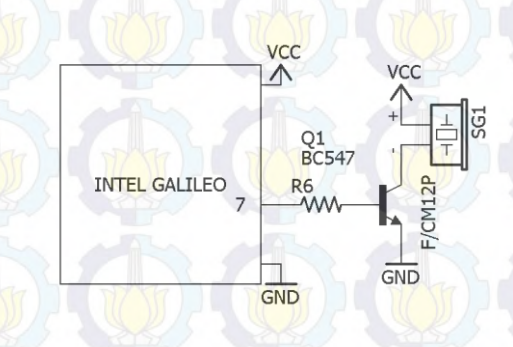


Gambar 3.12 Rangkaian Panel

Gambar 3.12 menjelaskan Panel adalah susunan beberapa bidang yang membentuk suatu kesatuan bentuk dan fungsi. Panel listrik merupakan tempat pengaturan pembagi dan pemutus aliran listrik. Panel kontrol listrik adalah peralatan yang berfungsi untuk mengatur dan mengendalikan beban listrik di bengkel listrik atau industri yang mengunakan motor listrik sebagai penggeraknya. Pada umumnya pengontrolan di industri ada dua jenis yaitu jenis manual dan jenis otomatis. Pengontrolan manual adalah pengontrolan motor listrik yang dilayani dengan alat kontrol manual.

## 3.2.6 Perancangan Buzzer

Rangakaian Buzzer sebagai pengingat pesan dan tanda, jika terjadi adanya gangguan pada sensor-sensor yang di gunankan untuk mendeteksi terjadinya gangguan, rangkaian Buzzer pada gambar 3.13.

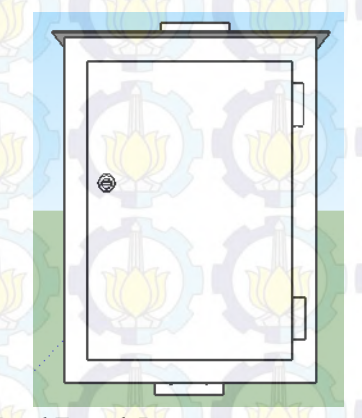


Gambar 3.13 Rangkaian Buzzer

Gambar 3.13 menjelaskan rangkaian *buzzer* jika terjadi adanya gangguan pada sensor maupun alat elektronik lainnya yang terdapat pada *box* panel maka akan ada pesan yang masuk pada *Intel Galileo* kemudian akan memerintahkan *buzzer* untuk menjalakan fungsinya yaitu sebagai pengingat dan alarm, selain *buzzer* rangkaian elektronik lainnya juga akan menjalankan tugasnya sebagai mana fungsinya jika terjadi adanya gangguan.

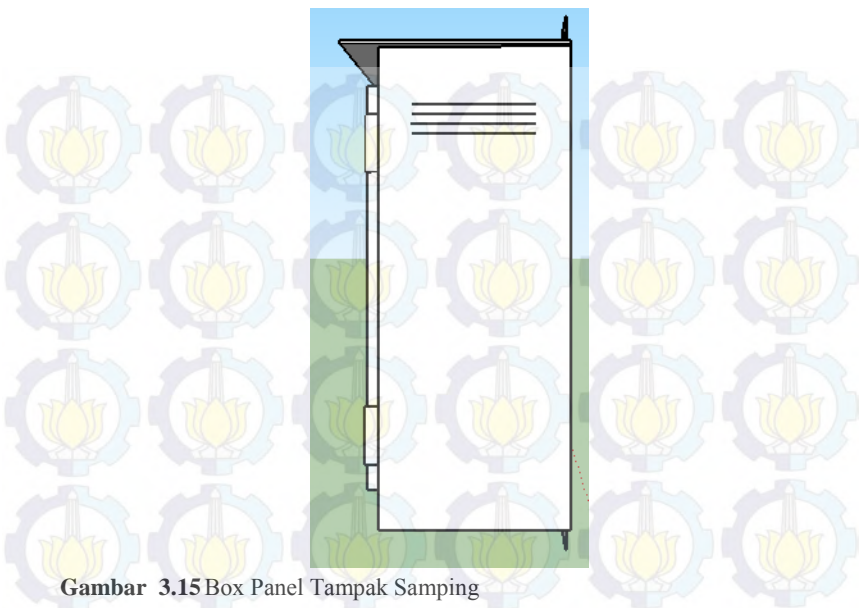
#### 3.3 Perancangan Mekanik

Perancangan mekanik pada gardu distribusi listrikPLN terdiri dari *Box* Panel dan Ragkaian Breaker yang berfungsi untuk memutus dan menyambung arus listrik. Berikut adalah gambaran *box* panel gardu distribusi listrik PLN:



Gambar 3.14 Box Panel Tampak Depan

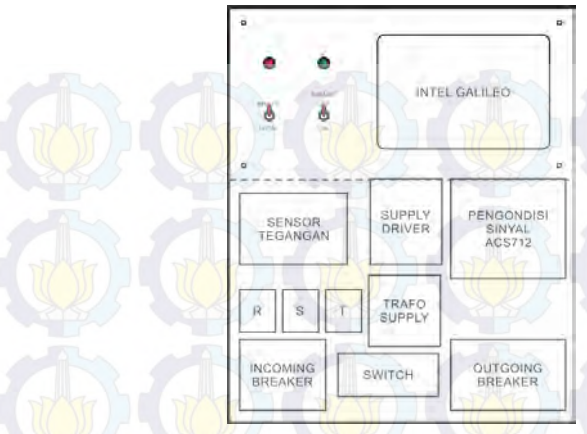
Gambar 3.14 menjelaskan *Box* penel berfungsi untuk pengan dan pelindung panel rancangan alat yang sudah dibuat selain itu juga *box* panel terbut berfungsi untuk kerapian suatu instalasi listrik. *Box* panel yang digunakan untuk pelindung panel dan rangkaian elektronik jika terlihat tampak depan memiliki spesifikasi pada pintu tinggi 29,5 cm, lebar pada pintu 20 cm dan lebar panel 25 cm. Dilihat pada sisi samping pada gambar 3.15.



Box panel jika dilihat dari samping seperti pada gambar 3.15 yang memiliki spesifikasi tinggi box 35 cm dan luas sebesar 15 cm. Dilihat pada sisi samping box terdapat lubang-lubang yang telah di disain sedemikian rupa agar tetap terjaga keamanannya terkena air hujan, fungsi lubang-lubang tersebut untuk serkulasi udara didalam panel.

#### **3.3.1 Panel**

Panel yang terdapat pada dalam box terlihat pada gambar 3.16 terlihat dari atas, pada panel dalam terdapat *Intel Galileo*, rangakain ACS712, rangkaian sensor tegangan dan rangkaian lainnya.

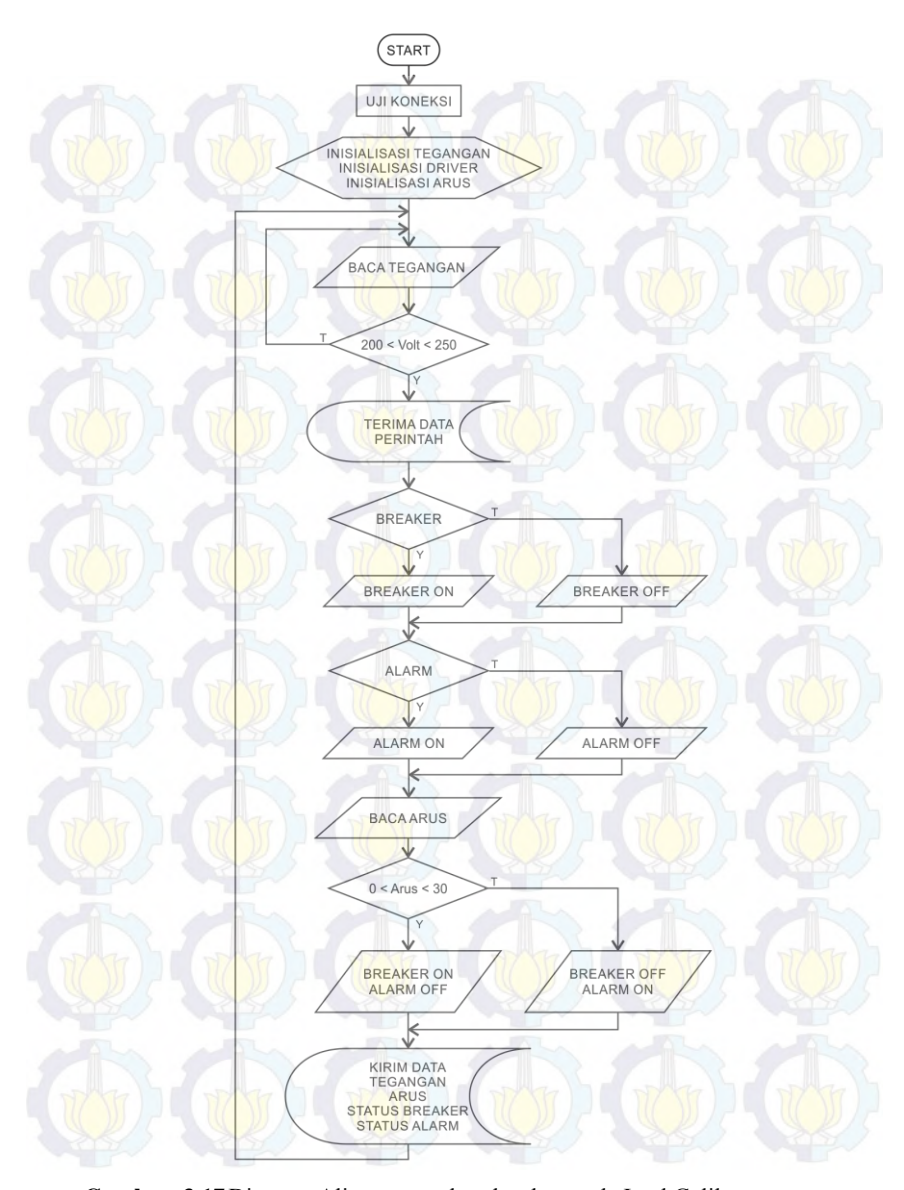


#### Gambar 3.16 Panel

Pada dalam box panel terdapat rancangan mekanik maupun elektronik, yang bisa di lihat pada gambar 3.16. Dari desain pada gambar 3.16, terdapat blok-blok yang terpisah pisah antara satu dengan yang lainnya dikarenakan berbagai macam rangkaian yang digunakan berbeda antara satu dengan yang lainnya antara pengondisi sinyal, trafo, dan bagian *breaker*.

## 3.4 Perancangan Perangkat Lunak (Software)

Perancangan perangkat lunak (software) pada Tugas Akhir ini terdiri dari pemograman Intel Galileo Gen 2 dengan beberapa teknik diataranya adalah percobaan koneksi, pemrograman blink input-output, pemrograman ADC, dan dasar pemrograman web dengan tampilan "Hello World". Setelah semua program sukses, maka selanjutnya adalah menggabungkan semua program yang telah disusun dan dimodifikasi sehingga dapat diakses melalui web browser pada komputer. Secara spesifik, diagram alir dari keseluruhan program yang akan dituliskan pada Intel Galileo ada pada Gambar 3.17.



Gambar 3.17 Diagram Alir program keseluruhan pada Intel Galileo

## 3.4.1 Percobaan Koneksi Intel Galileo dengan PC

Alat ini memanfaatkan koneksi menggunakan jaringan *Ethernet* antara komputer *master* dengan *Intel Galileo* menggunakan metode TCP/IP. Syarat kedua peralatan dapat berinteraksi adalah diantara kedua peralatannya memiliki masing-masing IP *address* yang berbeda sehingga dapat di panggil satu sama lain. Pada percobaan koneksi, *Intel Galileo* memiliki IP 192.168.1.131 sedangkan komputer memiliki IP 192.168.1.6. percobaan komunikasi menggunakan *Command Prompt* dengan mengetikkan Ping+Alamat IP tujuan. Dengan menggunakan Ping, maka dapat diketahui kualitas hubungan antara komputer dengan *Intel Galileo*. Koneksi antara kedua peralatan ini sangat penting, karena penulisan program pada *Intel Galileo* menggunakan bahasa *JavaScript* yang dapat dituliskan secara *remote* melalui jaringan *Ethernet*. Akses remote dari *Intel Galileo* menggunakan *Putty*.

### 3.4.2 Pemograman Blink Input-Output

Pemrograman IO dengan metode blinking bertujuan untuk menentukan kondisi dari IO secara otomatis bergantian dengan fungsi waktu. Pada percobaan blink, pin yang digunakan sebagai output adalan pin 13 yang secara default, pin 13 pada board intel galileo sudah terhubung dengan led onboard sehingga kondisi dari pin 13 dapat dipantau. Contoh kode program untuk Blinking IO pin 13:

```
var m=require('mraa');
console.log('MRAA Version: '+m.getVersion());
function sleep(delay)
{
    delay += new Date().getTime();
    while (new Date() < delay) { }
}

var led=new m.Gpio(13);
led.dir(m.DIR_OUT);
while(true)
{
    led.write(1);</pre>
```

```
sleep(200);
led.write(0);
sleep(200);
```

## 3.4.3 Pemograman Pembacaan ADC

Output dari sensor pada peralatan ini berupa tegangan, maka untuk pembacaannya menggunakan pin ADC pada Intel Galileo. Program yang digunakan menggunakan bahasa JavaScript dan menggunakan bantuan library eksternal yaitu "mraa". Program ini bertujuan untuk membaca analog input pada channel 0 dari Intel Galileo dan hasil pembacaan dari nilai ADC dan Tegangan akan ditampilkan pada console terminal. Conto kode program untuk pembacaan ADC:

```
var mraa = require("mraa");
var util = require('util');
var express = require('express');
var app = express();

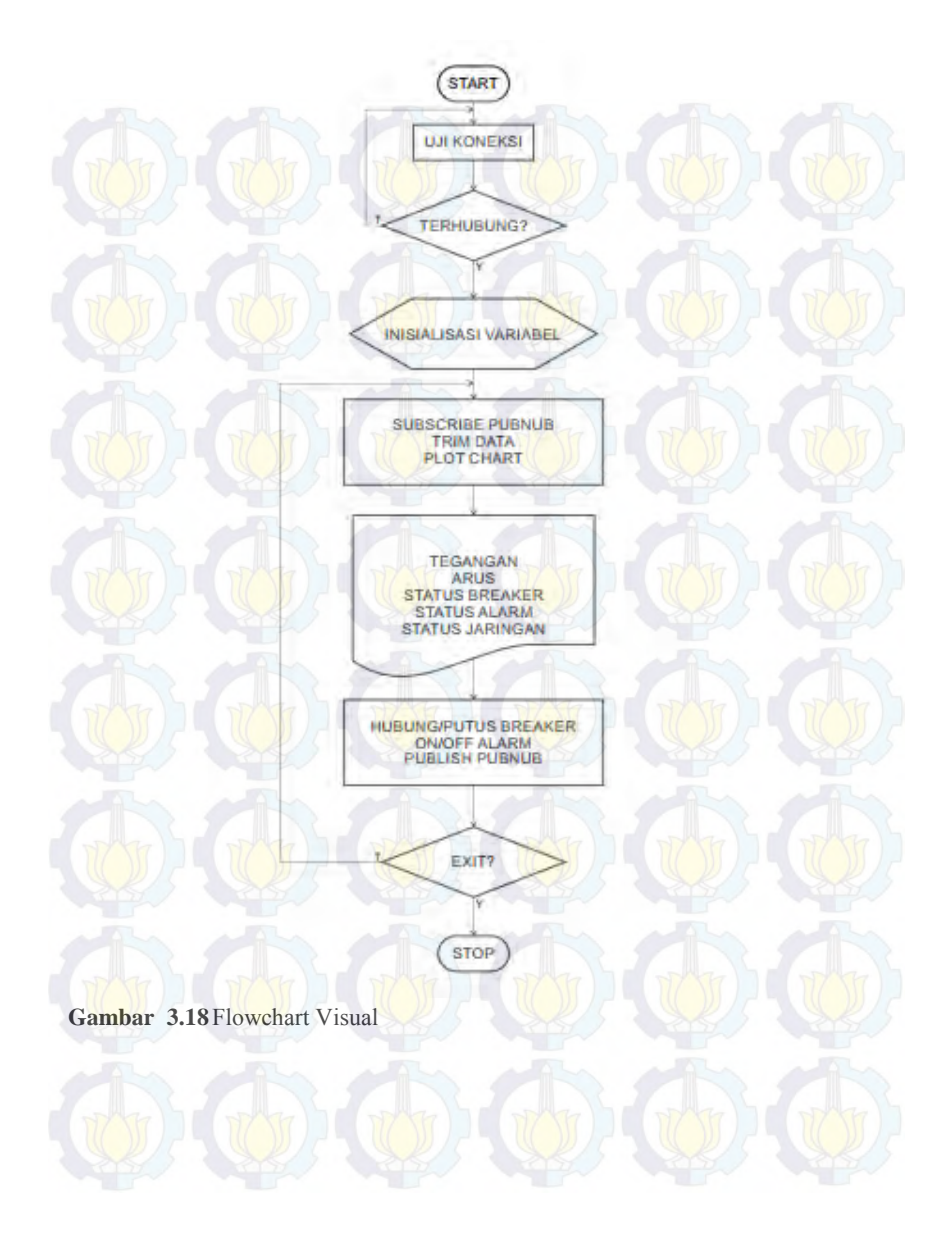
function sleep(delay)
{
    delay += new Date().getTime();
    while (new Date() < delay) {}
}

var ch0 = new mraa.Aio(0);
while(true)
{
    var e = ch0.read();
    var val = (e/1024)*5;
    console.log("Nilai ADC & Tegangan : "+ e +" & " + val.toFixed(3));
}</pre>

Val.toFixed(3));
```

# 3.4.4 Pemograman Tampilan HMI

Human Machine Interface pada peralatan ini menggunakan web browser yang akan menampilkan besaran nilai dari tegangan, arus, breaker, dan status panel berikut tampilan pada gambar 3.18.

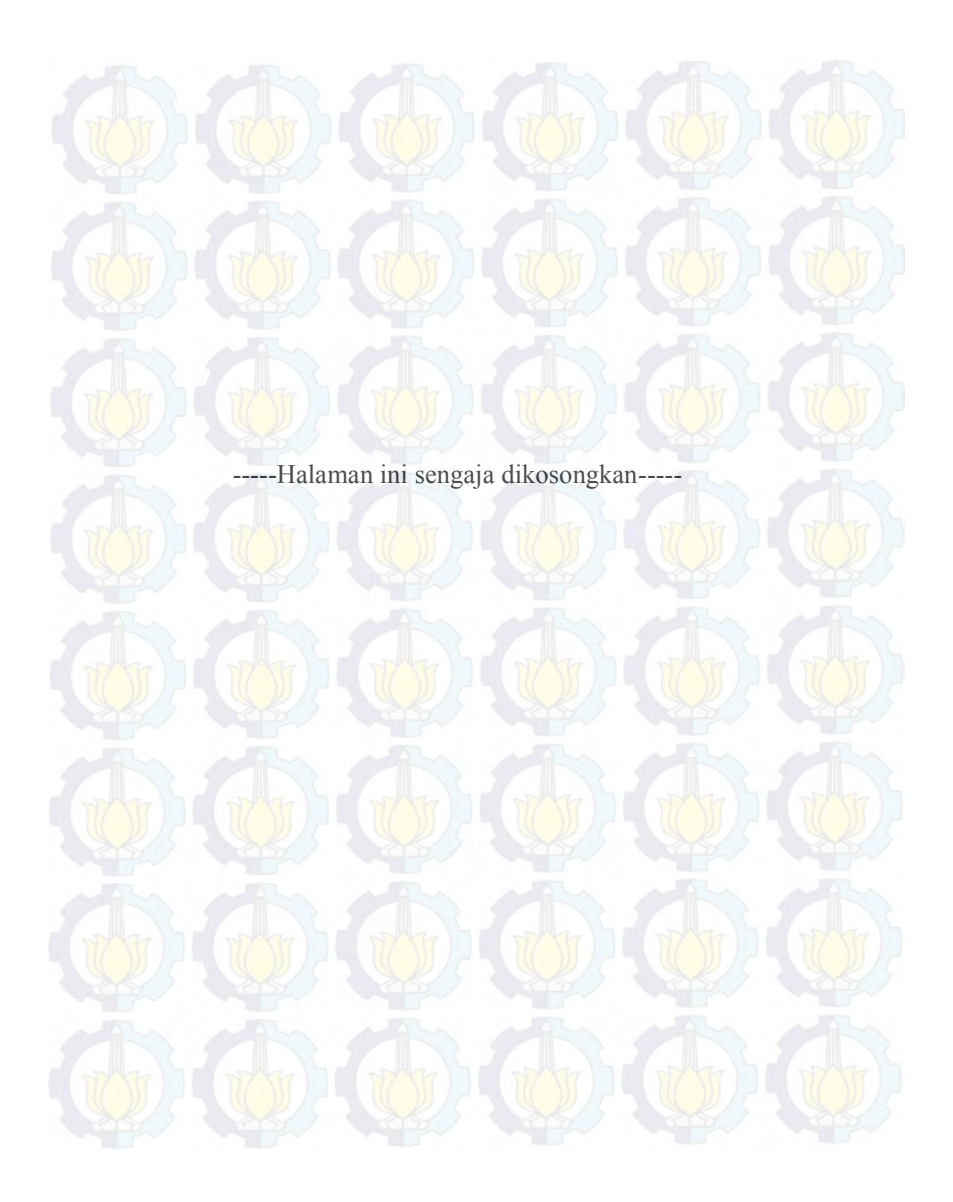




## Gambar 3.19 Tampilan HMI

Pada proyek tugas akhir monitoring dan kontrol panel distribusi PLN menggunakan *web* untuk komunikasi dalam pengiriman data dari distribusi PLN ke intel galileo maupun penritah yang dikirim dari *intel galileo* ke panel distribusi. Pada tampilan *HMI* terdapat status tegangan dan arus yang menggunakan 3 fasa yaitu R S T.

- 1. Menunjukan tegangan yang pada panel distribusi yang nantinya bisa di monitoring jika terdapat gangguan pada tegangan 3 fasa, dalam kondisi normal pada tegangan akan menunjukana nilai-nilai dalam kondisi stabil.
- 2. Arus, memonitoring arus pada panel distribusi yang memberi informasi jika terjadi gangguan pada arus maka petugas PLN akan mengetahui gangguan yang terjadi pada arus panel distribusi PLN.
- 3. *Breaker*, berfungsi untuk mengontrol menyambung dan memutus tegangan arus litrik pada panel distribusi PLN jika terjadi gangguan dan digunakan jika diperlukan.
- 4. Alarm berfungsi sebagai pengingat atau pertanda adanya gangguan pada panel distribusi PLN, pada alarm terdapat perintah *on off, on* untuk menyalakan alarm jika terjadi gangguan *off* untuk mematikan alarm pada panel distribusi jika terjadi gangguan.
- 5. Status ya<mark>ng m</mark>emberit<mark>ahu kondisi-kondisi pada pan</mark>el distribusi tegangan listrik PLN.



# BAB IV HASIL REAL DAN IMPLEMENTASI

Pada bab ini akan dibahas mengenai pengujian dan analisa alat dari monitoring gardu ditribusi tenaga listrik PLN yang telah dibua... Pengujian alat ini ditujukan untuk memastikan agar peralatan yang dibuat dapat berfungsi dengan baik. Pengujian tugas akhir ini meliputi pengujian sensor arus ACS172, sensor tegangan dan pengujian program *Intel Galileo*. Setelah melakukan beberapa pengujian alat, data yang diperolah akan dianalisa untuk mengetahui proses kerja dari seluruh sistem alat yang dibuat.

## 4.1 Pengujian Sensor Arus ACS172

Untuk mengetahui arus yang mengalir dari sumber diperlukan suatu rangkaian yang dapat mengubah besaran suatu arus menuju ke sebuah peralatan elektronik dari sebuah sumber tegangan.[10] Sensor yang digunakan dalam rangkaian ini adalah sensor arus ACS712. Pengujian dari sensor arus ini secara keseluruhan dilakukan setelah semua sistim minimum terpasang pada sensor ini. Sensor arus ACS712 sendiri sebenarnya sudah memiliki datasheet pengukuran. Karakteristik sensor arus ACS712 ini adalah jika tidak diberi beban listrik yang dilewatkan secara seri pada sensor arus tersebut maka tegangan keluarannya adalah 2,5 volt pada saat arus nyala. Dalam pengujian sensor dilakukan dengan merubah beban, dengan cara menggunakan clamp meter sebagai pengukur yang mengalir pada arus input, hasil pengujian sensor yang didapa pada tabel 4.1.



Gambar 4.1 Hasil Gelombang Pengujian ACS712

Gambar 4.1 pengujian ACS712 menggunakan *osciloscop* menghasilkan gelombang seperti pada gambar 4.1 dengan *input* arus 1 amper, selanjutnya pengujian sensor arus dan pengambilan data

menggunakan beban R 10  $\Omega$  5,4 A, tang amper untuk mengatur *iput* yang kita inginkan untuk pengambilan data dan AVOmeter digunakan untuk mengetahui *otput* dari rangkaian pengondisi sinyal ACS712.

Pengujian Sensor Arus 3 fasa dilakukan secara manual menggunakan clamp meter sebagai input dari sensor arus, dengan tujuan untuk membandingkan data yang dihasilkan dengan data yang dilakukan secara sistem, hasil perbandingan akan diketahui hasil eror dari dua perbandingan pengujian data. Untuk toleransis eror ditentukan senilai 10%, hasil pengujian Sensor Arus pada tabel 4.2. untuk mengetahui hasil eror dan rata-rata eror digunakan rumus sebagai beriku:

$$Eror = \frac{Output - Input}{Input} X100\%$$

$$Rata - Rata = \frac{jumlah}{Banyak} eror$$

### 4.2 Kalibrasi Pengujian Sensor Arus ACS172

Sebelum melakukan pengujian sensor arus ACS712 pada alat yang telah kami buat, dilakukan kalibrasi untuk mengetahui hasil yang sesuai antara pengukuran data secara real dengan data yang tertampil secara visual pada remote komputer, tabel 4.1 adalah hasil kalibrasi pada sensor arus ACS712

**Tabel 4.1** Kalibrasi Sensor Arus ACS712 Fasa R

No	Input Clamp	ADC
1.	0 A	209
2.	0,5 A	267
3.	1 A	312
4.	1,5 A	362
5.	2 A	400
6.	2,5 A	452
7.	3 A	495
8.	3,5 A	542
9.	4 A	594

No	Input Clamp	ADC
10.	4,5 A	645
11.	5 A	690

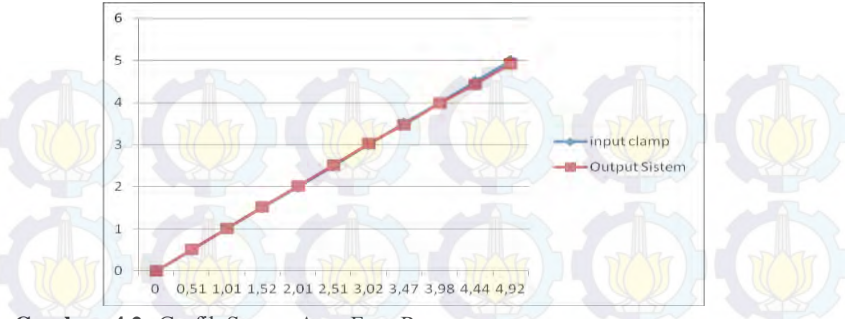
Tabel 4.1 menjelaskan proses kalibrasi pada sensor arus ACS712 pada fasa R menggunakan *clamp* meter untuk mengetahui arus yang mengalir menuju ke beban. Dari tabel 4.1 data ADC yang dibandingkan dengan data arus, didapatkan rumus fungsi hubungan besar arus dengan nilai ADC yang didpatkan dari regresi.

Arus R = (((0.010533644973698\*ADC)-2.2573771117574))

**Tabel 4.2** Hasil pengujian Sensor Arus Fasa R

No	Input Clamp	Output Sistem	Eror %
1	0 A	0 A	0%
2	0,5 A	0,51 A	2%
3	1 A	1,01 A	1%
4	1,5 A	1,52 A	1,3%
5	2 A	2,01 A	0,5%
6	2,5 A	2,51 A	0,4%
7	3 A	3,02 A	0,6%
8	3,5 A	3,47 A	0,8%
9	4 A	3,98 A	0,5%
10	4,5 A	4,44 A	1,3%
11	5 A	4,92 A	1,6%
	Rata-rata	Eror	1,5 %

Hasil dari perbandingan data pengujian sensor arus pada tabel 4.1 diperoleh nilai eror 0,66%, untuk mengetahui linier dibuat grafik pada gambar 4.2.



Gambar 4.2 Grafik Sensor Arus Fasa R

Gambar 4.2 menjelaskan grafik pengujian data sensor arus Fasa R dilakukan secara manual menggunakan beban R 10 Ω 5,7 A di dapatkan hasil seperti pada tabel 4.2 pengujian diambil untuk mengetahui hasil eror perbandingkan dari pengujian secara manual dengan menggunakan *input clamp* meter dengan *output* sistem, dari hasil perbandingan dapat disimpulkan bahwa hasil pengujian sensor arus 3 fasa dengan cara menggunakan *clamp* meter dan *output* sistem mengasilkan eror rata-rata 0,7%, masih didalam toleransi aman karena toleransi eror senilai 10%, pengambilan data selanjutnya sensor arus Fasa S yang diperoleh pada tabel 4.4 sebelum melakukan pengujian data pada sensor arus ACS712 pada fasa S dilakukan kalibrasi terlebih dahulu, pada tabel 4.3.

Tabel 4.3 Kalibrasi Sensor Arus ACS712 Pada Fasa S

No	Input Clamp	ADC
1.	0 A	206
2.	0,5 A	260
3.	1 A	310
4.	1,5 A	358
5.	2 A	403
6.	2,5 A	454
7.	3 A	500
8.	3,5 A	549
9.	4 A	597

No	Input Clamp	ADC
10.	4,5 A	646
11.	5 A	696

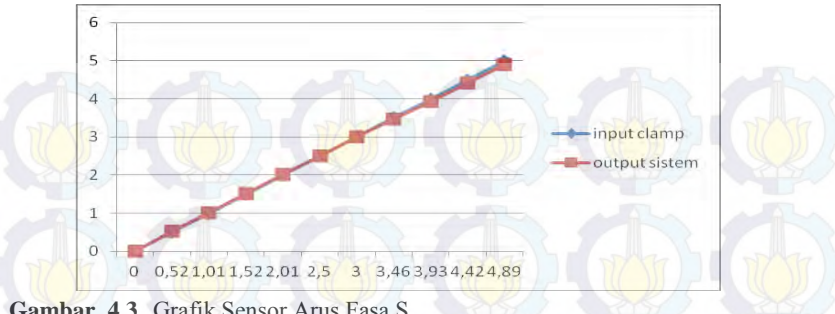
Tabel 4.3 menjelaskan proses kalibrasi pada sensor arus ACS712 pada fasa S menggunakan *clamp* meter untuk mengetahui arus yang mengalir menuju ke beban. Dari tabel 4.3 data ADC yang dibandingkan dengan data arus, didapatkan rumus fungsi hubungan besar arus dengan nilai ADC yang didpatkan dari regresi.

Arus S = (((0.010309615279189\*ADC)-2.1665067704621))

**Tabel 4.4** Hasil pengujian Sensor Arus Fasa S

No	Input Clamp	Output Sistem	Eror %
1	0 A	0 A	0%
2	0,5 A	0,52 A	4%
3	1 A	1,01 A	1%
4	1,5 A	1,52 A	1,3%
5	2 A	2,01 A	0,5%
6	2,5 A	2,50 A	0%
7	3 A	3,00 A	0%
8	3,5 A	3,46 A	1,1%
9	4 A	3,93 A	1,7%
10	4,5 A	4,42 A	1,7%
11	5 A	4,89 A	2,2%
	Rata-rata	Eror	1,5%

Hasil pengujian pada tabel 4.4 diperoleh hasil eror senilai 1,13%, dari hasil perbandingan dibuat grafik seperti pada gambar 4.3 untuk mengetahui hasil linier pada grafik 4.3



Gambar 4.3 Grafik Sensor Arus Fasa S

Gambar 4.3 menjelaskan hasil pengujian dari perbandingan data sensor arus yang dilakukan secara otomatis menggunakan input clamp meter dengan data pengujian output dari sistem menghasilkan grafik pada gambar 4.3 yang menunjukana hasilm perbandingan input dari clamp meter dan output dari sistem masih terdapat eror namun masih dalam toleransi, jadi grafik menunjukan hasil dari pengujian data linier. Pengujian selanjutnya dilakukan pada fasa T hasil pengujian pada tabel 4.6. sebelum melakukan pengujian data pada sensor arus ACS712 pada fasa T dilakukan kalibrasi terlebih dahulu, pada tabel 4.5.

Tabel 4.5 Kalibrasi Sensor Arus Pada Fasa T

No	Input Clamp	ADC
1.	0 A	208
2.	0,5 A	266
3.	1 A	318
4.	1,5 A	368
5.	2 A	418
6.	2,5 A	472
7.	3 A	521
8.	3,5 A	570
9.	4 A	622
10.	4,5 A	670
11.	5 A	720

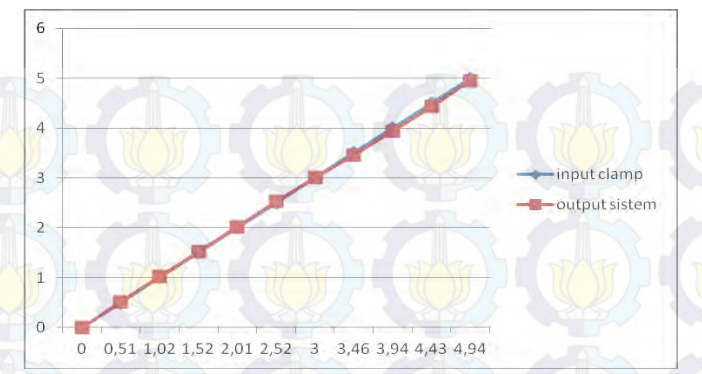
Pada proses kalibrasi pada sensor arus ACS712 pada fasa T menggunakan *clamp* meter untuk mengetahui arus yang mengalir menuju ke beban. Dari tabel 4.5 maka data ADC yang dibandingkan dengan data arus, didapatkan rumus fungsi hubungan besar arus dengan nilai ADC yang didpatkan dari regresi

Arus T = (((0.0098276955622793\*ADC)-2.1038286574932))

**Tabel 4.6** Hasil Pengujian Sensor Arus Fasa T

No	Input Clamp	Output Sistem	Eror %
1	0 A	0 A	0%
2	0,5 A	0,51 A	2%
3	1 A	1,02 A	2%
4	1,5 A	1,52 A	1,3%
5	2 A	2,01 A	0,5%
6	2,5 A	2,52 A	0,8%
7	3 A	3,00 A	0
8	3,5 A	3,46 A	1,1%
9	4 A	3,94 A	1,5%
10	4,5 A	4,43 A	1,5%
11	5 A	4,94 A	1,2%
	Rata-rata	Eror	2,2 %

Pada tabel 4.6 menjelaskan perbandingan dari pengujian data menggunakan *input clamp* meter dengan *output* sistem dan mengetahui hasil eror pada perbandingan data, setelah diketahui hasil perbandingan dalam pengujian dan di peroleh eror senilai 2,2% makan sensor tegangan bisa di gunakan pada Proyek Tugas Akhir karena nilai eror masih dalam toleransi yang di tentukan senilai 10% dengan mengetahui nilai eror masih dalam toleransi,dan selanjutnya dibuat grafik pada gambar 4.4.



Gambar 4.4 Grafik Sensor Arus Fasa T

Gambar 4.4 menjelaskan hasil pengujian dari perbandingan data sensor arus pada fasa T yang dilakukan secara otomatis menggunakan input clamp meter dengan data pengujian output dari sistem menghasilkan grafik pada gambar 4.4 yang menunjukana hasil perbandingan input dari clamp meter dan output dari sistem masih terdapat eror namun masih dalam toleransi, jadi grafik 4.4 menunjukan data linier dari hasil yang telah dilakukan.

## 4.3 Pengujian Sensor Tegangan

Pengujian Sensor Tegangan 3 fasa pada panel Tugas Akhir dilakukan secara manual menggunakan *clamp* meter sebagai *input* dari sensor tegangan, dengan tujuan untuk membandingkan data yang diperoleh dengan data yang dilakukan secara sistem, hasil perbandingan akan diketahui hasil eror dari dua perbandingan pengujian data. Untuk toleransis eror ditentukan senilai 10%, hasil pengujian Sensor tegangan pada fasa R tabel 4.8. untuk mengetahui hasil eror digunakan rumus sebagai beriku:

Eror = 
$$\frac{Output - Input}{Input} X100\%$$

$$Rata - Rata = \frac{jumlah\ eror}{Banyak\ eror}$$

# 4.4 Kalibrasi Pengujian Tegangan

Sebelum melakukan pengujian tegangan pada alat yang telah dibuat, dilakukan kalibrasi untuk mengetahui hasil yang sesuai antara

pengukuran data secara *real* dengan data yang tertampil secara *visual*l pada *remote* komputer, tabel 4.7 adalah hasil kalibrasi pada tegangan pada fasa R.

Tabel 4.7Kalibrasi Tegangan Pada Fasa R

No	V Input Clamp	ADC
1.	100 V	141
2.	120 V	199
3.	140 V	257
4.	160 V	316
5.	180 V	375
6.	200 V	433

Pada proses kalibrasi tegangan pada fasa R menggunakan *clamp* meter untuk mengetahui arus yang mengalir menuju ke beban. Dari tabel 4.7 maka data ADC yang dibandingkan dengan data tegangan, didapatkan rumus fungsi hubungan besar tegangan dengan nilai ADC yang didpatkan dari regresi.

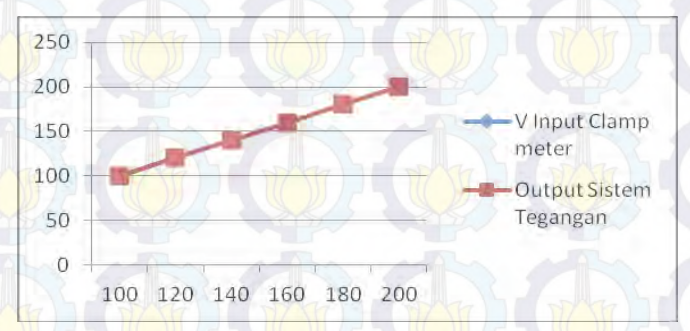
Tegangan = (51.914523965309 + (0.34195982347946\*ADC))

**Tabel 4.8** Hasil Pengujian Sensor tegangan Pada Fasa R

No	V Input Clamp meter	Output Sistem Tegangan	Eror
1	100 V	100 V	0%
2	120 V	120 V	0%
3	140 V	140 V	0%
4	160 V	160 V	0%
5	180 V	180 V	0%
6	200 V	200 V	0%
	Rata-rata	Eror	0 %

Pada tabel 4.4 menjelaskan perbandingan dari pengujian data menggunakan *input clamp* meter dengan *output* sistem dan mengetahui hasil eror pada perbandingan data, setelah diketahui hasil perbandingan dalam pengujian dan di peroleh eror senilai 0% makan sensor tegangan

bisa di gunakan pada Proyek Tugas Akhir karena dengan mengetahui nilai eror masih dalam toleransi,dan selanjutnya dibuatl grafik pada tabel 4.6.



Gambar 4.5 Grafik Sensor Tegangan Pada Fasa R

Pada gambar 4.5 menjelaskan hasil pengujian dari perbandingan data sensor tegangan pada fasa R yang dilakukan secara otomatis menggunakan *input clamp* meter dengan data pengujian *output* dari sistem menghasilkan grafik pada gambar 4.5 yang menunjukana hasil perbandingan *input* dari *clamp* meter dan *output* dari sistem masih terdapat eror namun masih dalam toleransi, jadi grafik menunjukan hasil dari pengujian data linier. Pengujian, selanjutnya dilakukan pada fasa S hasil pengujian pada tabel 4.9 sebelum melakukan pengujian data tegangan pada fasa S dilakukan kalibrasi terlebih dahulu, pada tabel 4.9.

**Tabel 4.9** Kalibrasi Tegangan Pada Fasa S

No	V Input Clamp	ADC
1.	100 V	140
2.	120 V	199
3.	140 V	257
4.	160 V	316
5.	180 V	376
6	200 V	434

Pada proses kalibrasi tegangan pada fasa S menggunakan *clamp* meter untuk mengetahui arus yang mengalir menuju ke beban. Dari tabel 4.9 maka data ADC yang dibandingkan dengan data tegangan,

didapatkan rumus fungsi hubungan besar tegangan dengan nilai ADC yang didpatkan dari regresi.

Tegangan S = (52.477566640274 + (0.33979941937187\*ADC))

Tabel 4.10 Hasil Pengujian Sensor Tegangan Pada Fasa S

No	V Input Clamp meter	Output Sistem Tegangan	Eror
1	100 V	100 V	0%
2	120 V	120 V	0%
3	140 V	140 V	0%
4	160 V	160 V	0%
5	180 V	180 V	0%
6	200 V	200 V	0%
4	Rata-rata	Eror	0 %

Hasil pengujian yang telah dilakukan diperoleh data pada tabel 4.10 pengujian untuk membandingkan data yang telah dilakukan dengan cara pengambilan data *input* menggunakn *clamp* meter dengan pengambilan data dari *output* sistem, selanjutnya hasil perbandingan diketahui hasil eror, selama eror masih dalam toleransi senilai 10% maka sensor tegangan pada fasa S bisa digunakan proyek Tugas Akhir.



Gambar 4.6 Grafik sensor tegangan Pada Fasa S

Hasil pengujian dari perbandingan data sensor tegangan pada fasa S yang dilakukan secara otomatis menggunakan *input clamp* meter dengan data pengujian *output* dari sistem menghasilkan grafik pada gambar 4.6 yang menunjukana hasil perbandingan, tujuan dari grafik 4.6 untuk mengetahui hasil linier dari data perbandingan. Pengujian

selanjutnya sensor tegangan pada fasa T hasil pengujian pada tabel 4.12. sebelum melakukan pengujian data tegangan pada fasa T dilakukan kalibrasi terlebih dahulu, pada tabel 4.11.

Tabel 4.11 Kalibrasi Tegangan Pada Fasa T

No	V Input Clamp	ADC	
1.	100 V	140	
2.	120 V	199	
3.	140 V	257	
4.	160 V	316	
5.	180 V	376	
6.	200 V	434	

Pada proses kalibrasi tegangan pada fasa T menggunakan *clamp* meter untuk mengetahui arus yang mengalir menuju ke beban. Dari tabel 4.11 maka data ADC yang dibandingkan dengan data tegangan, didapatkan rumus fungsi hubungan besar tegangan dengan nilai ADC yang didpatkan dari regresi

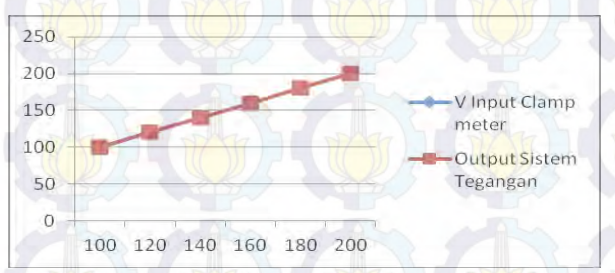
Tegangan T = (52.390888963028 + (0.3402990506809\*ADC)).

Tabel 4.12 Hasil Pengujian Sensor Tegangan Pada Fasa T

No	V Input Clamp meter	Output Sistem Tegangan	Eror
1	100 V	100 V	0%
2	120 V	120 V	0%
3	140 V	140 V	0%
4	160 V	160 V	0%
5	180 V	180 V	0%
6	200 V	200 V	0%
9	0 %		

Hasil pengujian sensor tegangan pada fasa T diperoleh data pada tabel 4.12 yang membandingkan pengujian data secara manual menggunakan *input clamp* meter dengan pengujian secara sistem dengan pengambilan data *output* sistem, utuk mengetahui hasil eror sensor

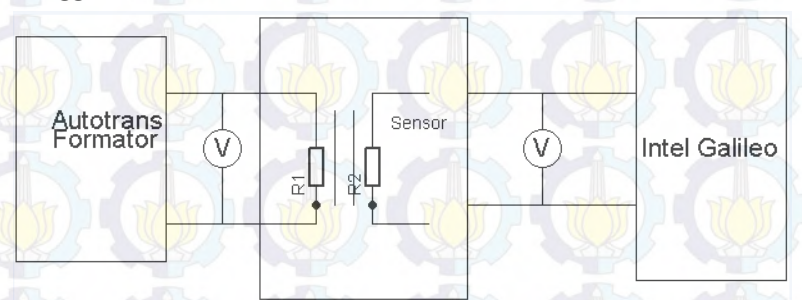
tegangan pada fasa T dan hasil rata-rata eror 0%, jadi dari hasil eror disimpulkan bahwa sensor tegangan pada fasa T bisa digunakan untuk Poyek tugas Akhir, selanjutnya dibuat grafik pada gambar 4.7



Gambar 4.7 Gafik Sensor Teganagn Pada Fasa T

Gambar 4.7 menjelaskan hasil pengujian dari perbandingan data sensor tegangan pada fasa T yang dilakukan secara otomatis menggunakan *input clamp* meter dengan data pengujian *output* dari sistem menghasilkan grafik pada gambar 4.7 yang menunjukana hasil perbandingan, tujuan dari grafik 4.7 untuk mengetahui hasil linier dari data perbandingan.

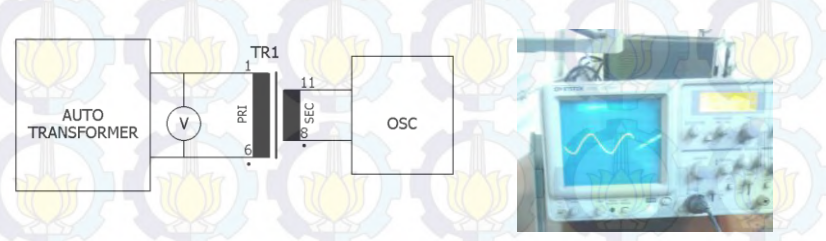
Untuk pengujian trafo dilakukan pengujian seperti pada gambar 4.8, pengujian dilakukan untuk memastika trafo bisa digunakan untuk kelanjutan kegunaan Tugas Akhir nantinya, pengujian dilakukan dengan menggunakan alatkur avometer.



Gambar 4.8 Output dari Trafo

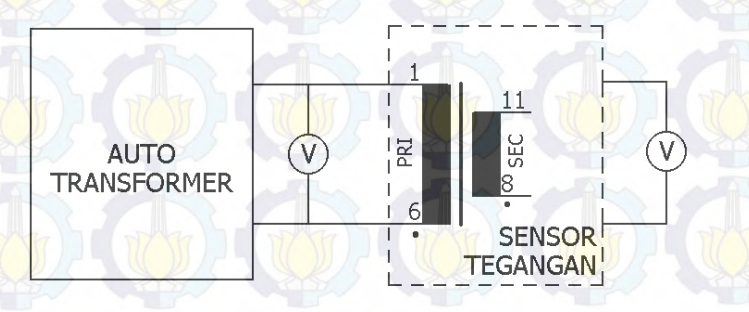
Pada saat pengujian tegangan pada trafo menggunakan avo meter AC dan selanjutnya *output* dibaca oleh *oscilloscop* yang mengeluarkan gelombang AC seperti yang di tunjukan pada gambar 4.9, hasil pengujian data sesuai dengan keinganan yaitu 23,1 data yang di peroleh

menunjukan bawa trafo yang di gunakan pada Tugas Akhir ini bisa digunakan sebagai mana mestinya dengan cara kerjanya.



Gambar 4.9 Bentuk Gelombang Tegangan AC

Gambar 4.9 hasil yang dipeoleh dari pengujian trafo yang kemudian data di baca oleh oscilloscop untuk mengetahui hasil gelombangnya, dari hasil yang di peroleh pengujian, trafo bisa digunakan pada Tugas Akhir ini dan bekerja dengan baik. Setelah menguji output trafo dengan pengukuran AC selanjutnya, pengujian output Tegangan DC seperti pada gambar 4.10.



Gambar 4.10 Output tegangan DC

Gambar 4.10 menjelaskan pada saat pengujian tegangan DC menggunakan avo meter, pengujian pengambilan data dilakukan untuk mengetahui *output* yang dihasilkan trafo menggunakan avometer DC, memastikan *output* sesuaii dengan keinginan dan dapat dilakukan langkah pengujian selanjutnya dengan menggunakan *oscilloscop*, untuk mengetahui hasil gelombang yang dihasilkan, seperti apa yang di inginkan. Bentuk gelombang uotput tegnagn DC pada gambar 4.11.

## 4.5 Pengujian Supply Rangkaian Pengondisi Sinyal ACS712

Pada tahap pengujian ini menggunakan Avometer untuk mengetahui *output* dari *supply* rangkaian pengondisi sinyal ACS712, dengan data yang dihasilkan saat pengujian maka rangkaian pengondisi sinyal dapat digunakan,terlihat pada tabel 4.13.

**Tabel 4.13** Tabel Pengondisi Sinyal

Output Trafo	Output Dioda	Output Regulator
11,76 Vac	13,34 V	11,87 V

ari data pengujian supply rangkaian pengondisi sinyal ACS712 didapatkan hasil yang sesui untuk kegunaan alat Tugas Akhir nantinya dengan data tersebut rangkaian supply pengondisi sinyal bisa dijalankan dengan alat elektronik lalinnya.

#### 4.6 Pengujian Driver Relay

pada pengujian *Driver Relay* menggunakan Avometer untuk melihat hasil output dioda, regulator dan *input triger*, dihasilkan data pada tabel 4.14

Tabel 4.14 Tabel Driver Relay

Output Dioda	Output Regulator	Input Triger	V Relay
13,38 V	11,95 V	3,220 V	11,61 V

Gambar 4.14 menjelaskan hasil percobaan awal pada *relay* komponen listrik yang bekerja berdasarkan prinsip induksi medan elektromagnetis. Jika sebuah penghantar dialiri oleh arus listrik, maka di sekitar penghantar tersebut timbul medan *magnet*. Medan magnet yang dihasilkan oleh arus listrik tersebut selanjutnya diinduksikan ke logam *ferromagnetis*, *relay* juga berfungsi sebagai saklar.

# 4.7 Pengujian Sistem Intel Galileo

Dalam pengujian program *intel Galileo* ini adalah menguji jaringan yang di akses oleh *intel galileo* hasil pengujian terdapat pada gambar.

```
Microsoft Windows IVersion 6.3.96001
(c) 2013 Microsoft Corporation. All rights reserved.

C: Users ilham/ping 192.168.1.131

Pinging 192.168.1.131 with 32 bytes of data:
Reply from 192.168.1.131: bytes=32 time=2ms TTL=64
Reply from 192.168.1.131: bytes=32 time=5ms TTL=64
Reply from 192.168.1.131: bytes=32 time=2ms TTL=64
Reply from 192.168.1.131: bytes=32 time=2ms TTL=64
Reply from 192.168.1.131: bytes=32 time=2ms TTL=64
Ping statistics for 192.168.1.131:

Packets: Sent = 4. Received = 4. Lost = 0 (0x loss).
Approximate round trip times in milli-seconds:
Minimum = 2ms. Maximum = 5ms. Average = 2ms

C:\Users\ilham)
```

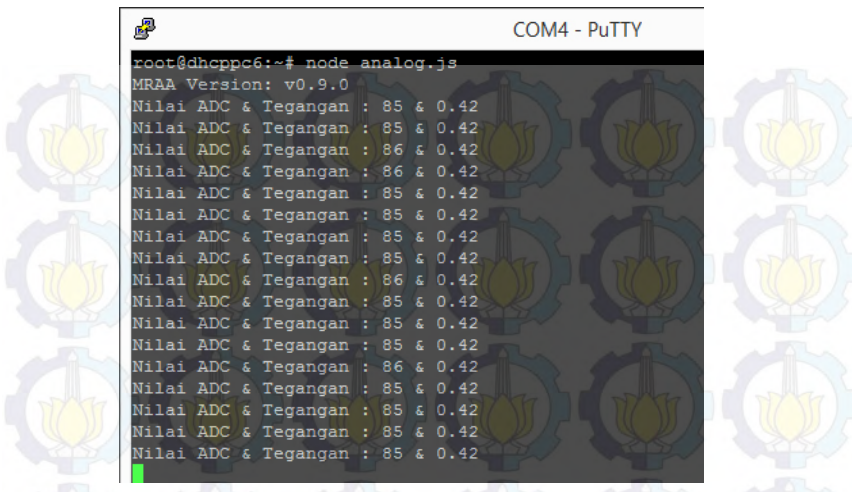
Gambar 4.11 Uji Komunikasi

Pada pengujian Koneksi, Intel Galileo dengan PC dihubungkan langsung dengan kabel RJ45 dengan metode point to point. Dengan metode point to point, maka koneksi antara kedua hardware harus memiliki alamat IP pada masing-masing peralatan sebagai identifikasi dari perangkat yang terhubung. Pengujian kali ini menggunakan IP yang di set Static pada kedua perangkat, Intel Galileo di set pada 192.168.1.131 dan pada master komputer di set pada 192.168.1.6. pengujian menggunakan teknik ping pada command prompt master komputer. Dengan mengetikkan "ping 192.168.1.131" pada komputer maka akan tampil hasil pada gambar 4.13. Hasil dari pengujian ping dengan command prompt menunjukkan bahwa antara kedua perangkat sukses komunikasi dengan waktu jawaban antara kedua perangkat ratarata memiliki waktu 2ms. Pada akhir dari pengujian maka ping juga akan menampilkan berapa jumlah paket data yang dikirimkan, diterima, dan paket yang gagal diterima. Dari hasil pengujian, paket yang dikirimkan berjumlah 4 dan yang diterima berjumlah 4 dengan lost 0 maka dapat disimpulkan bahwa komunikasi diantara kedua perangkat tidak memiliki kegagalan dan komunikasi berjalan dengan baik ditandai dengan jumlah lost nya bernilai 0%. Dalam keadaan lain, apabila ada kegagalan maka salah satu data yang terkirim tidak diterima lagi maka yang tampil bukan waktu dari penerimaan, melainkan tulisan "Request Timed Out".



Gambar 4.12 Uji IO Pada Dengan LED Blink

Pada pengujian pin IO, digunakan metode blink yang dapat mengubah kondisi output pin dari high menjadi low secara otomatis. Dengan pengujian ini, maka kondisi pin dapat diketahui cara kerjanya sebelum dihubungkan dengan rangkaian driver dari breaker. Dengan menggunakan bahasa JavaScript dan library mraa, maka akses IO dari pin Intel Galileo dapat dipanggil secara sederhana. Pin pada board Intel Galileo yang digunakan dalam pengujian ini adalah pin 13 dikarenakan pada board sudah terdapat led yang terhubung secara default dengan pin 13 sehingga kondisi dari pin 13 dapat dinyatakan dengan kondisi led yang menyala atau padam. Kondisi dari pin 13, diatur oleh program yang di setting keadaannya untuk menyala selama 1 detik dan padam selama 1 detik. Selain ditampilkan kondisi pin pada led, maka kondisi dari pin juga ditampilkan pada Putty, sehingga status kondisi dari pin pada peralatan dapat ditampilkan pada master komputer.



Gambar 4.13 Uji Analog Input

Analog Input Channel merupakan jenis pin input yang terdapat pada *Intel Galileo*. Cara kerja dari analog *input* adalah dengan membaca tegangan yang masuk pada pin analog input dengan range tegangan antara 0-5 Volt akan dicacah dan dikonversi menjadi satuan digital dengan range sesuai resolusi dari Intel Galileo yaitu sebesar 10 bit. Maka tegangan yang masuk pada pin analog yang besarnya antara 0-5Volt akan dikonversi menjadi satuan dengan besar range antara 0-1023. Resolusi dari pin adc pada *board* akan mempengaruhi sensitivitas pin analog *input* terhadap perubahan tegangan. Pada pengujian analog input, board intel galileo yang memiliki 6 channel pin analog input dipilih channel analog 0 dan dihubungkan dengan sebuah potensiometer. Nilai hasil konversi berupa ADC dan tegangan akan dikirimkan ke komputer dan tampil pada *Putty* terminal. Nilai ADC yang terbaca pada analog pin adalah hasil konversi dari nilai tegangan yang terukur pada pin analog input yang telah tercacah dan dikonversi menjadi satuan dengan range 0-1023. Hasil pengujian tampil pada *putty* terminal dengan nilai ADC pada kisaran 805-810. Setelah terukur nilai ADC, maka selanjutnya adalah pengkonversian kembali menjadi nilai tegangan dengan cara mengalikan nilai ADC dikalikan 5 Volt dibagi dengan nilai maksimal dari resolusi ADC. Setelah proses kalkulasi, maka akan tampil pada putty terminal nilai tegangan yang masuk pada pin analog input channel 0. Dengan resolusi ADC pada Intel Galileo sebesar 10 bit, maka

setiap perubahan tegangan sebesar 4mV dapat terukur. Dengan adanya pin analog *input*, maka tegangan keluaran dari rangkaian pengondisi sinyal ACS dan rangkaian sensor tegangan dapat terukur nilainya dan dapat dikonversi menjadi tegangan asli dari sumber tegangan dan arus asli yang mengalir dari sumber tegangan menuju beban.



Gambar 4.14 Uji Web

Gambar 4.14 pada tahap uji web ini pengujian terakhir untuk pengujian intel galileo dari hasil pengujian program intel galileo dan di pastikan program bisa digunakan dalam menjalankan monitoring gardu panel distribusi listrik PLN. Pengujian web ini digunakan untuk mencoba pembuatan web server sederhana yang menggunakan Intel Galileo dan ditampilkan pada web browser komputer master. Dengan bahasa JavaScript, maka pembuatan web menjadi lebih mudah dikarenakan dasar dari pemrograman yang mengatur bagaimana perilaku tampilan web adalah javascript. Selain lebih mudah, bahasa javascript juga lebih sederhana dan mudah dimengerti. Pengujian ini dilakukan dengan cara pemanggilan IP Intel Galileo diikuti dengan Port Web yang digunakan sehingga apabila sukses terkoneksi maka akan muncul tampilan web yang telah di buat.

## 4.8 Pengujian Keseluruhan

Pengujian alat secara keseluruhan menunjukkan bahwa sistem monitoring dan sistem kontrol pada panel distribusi tegangan listri PLN sudah berjalan tanpa gangguan dan berjalan sesuai fungsinya. Pengujian dilakukan secara bertahap. Cara pengujian alat dimulai dari konsi panel normal seperti pada gamabr 4.16.



Gambar 4.15 Kondisi Breaker Terputus

Gambar 4.15 kondisi *breaker* pada saat panel dalam status normal dan breaker terputus menyatakan bahwa kondisi panel diatribusi dalam kondisi normal tidak ada gangguan, untuk mengtahui *breaker* berkerja dengan baik atau tidak pada alat tugas akhir ini menggunakan lampu pijar 100 watt sebagai beban, seperti pada gambar 4.16.



Gambar 4.16 Kondisi Normal Breaker Terputus

Pada saat *breaker* terputus maka pada beban lampu tidak menyala namun kondisi panel normal, breaker disini sebagi kontrol untuk

menyambung dan memutus tegangan listrik ke beban. Dan selanjutnya *breaker* pada status terputus pada gambar 4.17.



Gambar 4.17 Kondisi Breaker Terhubung

Gambar 4.17 pada saat kondisi *breaker* terhubung, status normal dan status breaker terhubung maka beban pada lampu yang sebagai indikator status *breaker* akan menyala dan itu menyatakan status *breaker* terhubung seperti pada gambar 4.18



Gambar 4.18 Kondisi Normal Breaker Terhubung

Dalam kondisi breaker terhubung maka beban pad lampu akan menyala secara otomatis, tanpa harus menghubungkan dari panel secara langsung, jadi *breaker* bisa dikontrol melalui *web* yang telah disediakan,

operasi yang di gunakan dalam status *remote*. Selanjutnya pengujian alarm pada *web* dengan menggunakan operasi *remote* pada gambar 4.20.



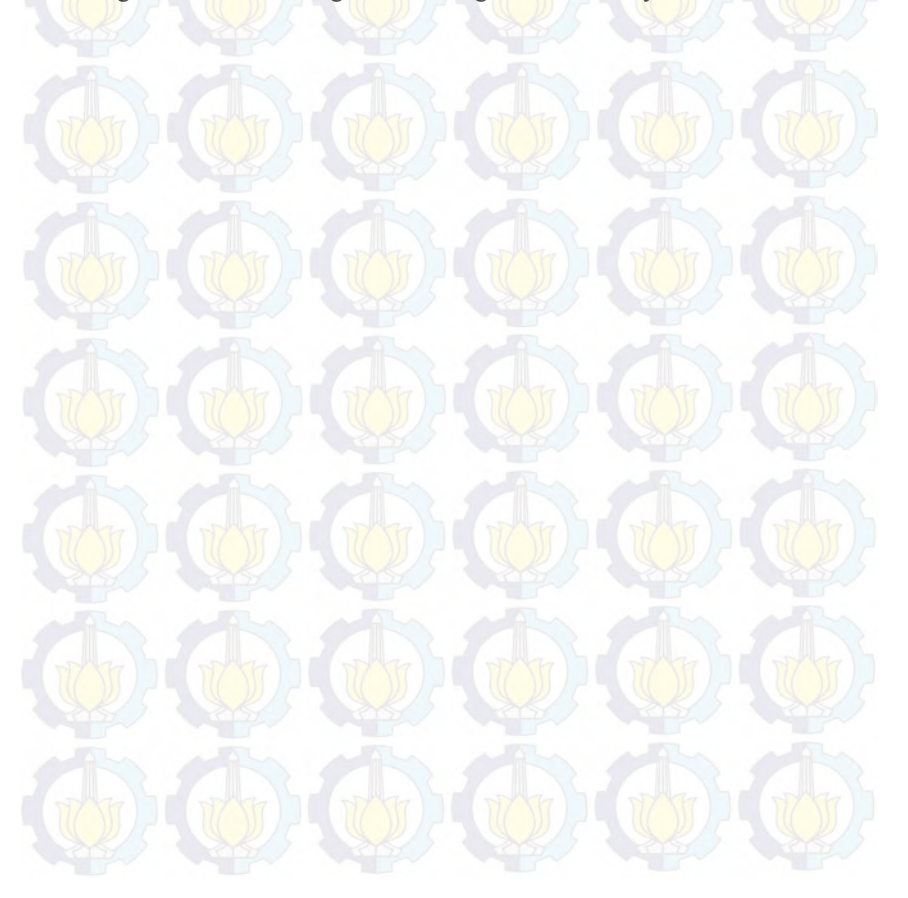
Gambar 4.19 Status Alarm Menyala

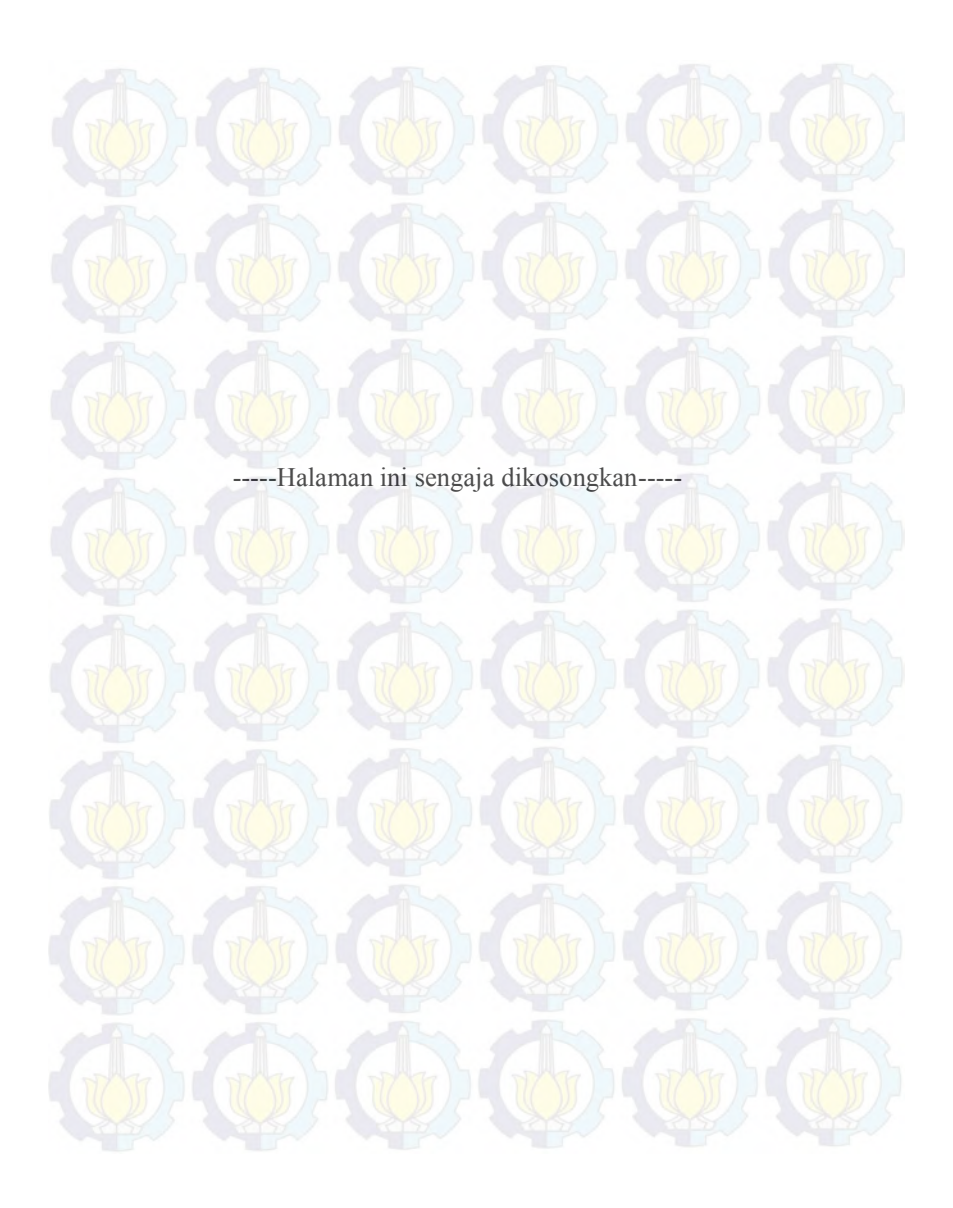
Gambar 4.19 dalam pengujian web untuk menyalakan alarm secara otomatis menggunakan operasi remote dapat dilakukan dengan baik dan bisa digunakan pada alat Tugas Akhir, pada alarm terdapat perintah on dan off, dalam pengujian saat alarm di beri perintah on maka status alarm berubah menjadi status menyala, menandakan bahwa alarm berbunyi, selanjutnya pada perintah off seperti pada gambar 4.20.

1	GTT 03	4			-	
18/5	R	S		T		
Tegangan	229	230	0	229		
Arus	5.0	8.0		5.7		
			Acres	177		
Breaker		Status				
Hubungkan	Putus	Kondisi :	Normal			
		Operasi :	Remote			
Alarm		Breaker :	Terputus			
On	Off	Alarm :	Mati			

Gambar 4.20 Status Alarm Mati

Pada pengujian web untuk mematikan alarm secra otomatis menggunakan opererasi remote dapat dilakukan dengan baik dan bisa digunakan pada alat tugas Akhir, pada alarm terdapat perintaha on dan off, dalam pengujian yang telah dilakukan menggunakan perintah on dan selanjutnya menggunakan perintah off. Dalam pengujian mematikan alarm secara otomatis dengan memberi perintah off maka ststus alarm akan berubah menjadi mati menandakan alarm sudah tidak berbunyi atau mati. Kesimpulan dari selusuh pengujian alat dapat dilakukan dengan baik dan bisa digunakan sebagaimana mestinya.





## BAB V PENUTUP

Bab penutup ini berisi tentang kesimpulan projek tugas akhir yang berjudul Monitoring panel distribusi PLN Berbasis *Web* Menggunakan Sistem *Board Intel Galileo*, kesimpulan dari hasil pengujian dan analisa data, serta saran untuk Monitoring panel distribusi PLN ini kedepannya.

### 5.1 Kesimpulan

Dari Tugas Akhir yang telah dilakukan, dapat diambil beberapa kesimpulan sebagai berikut:

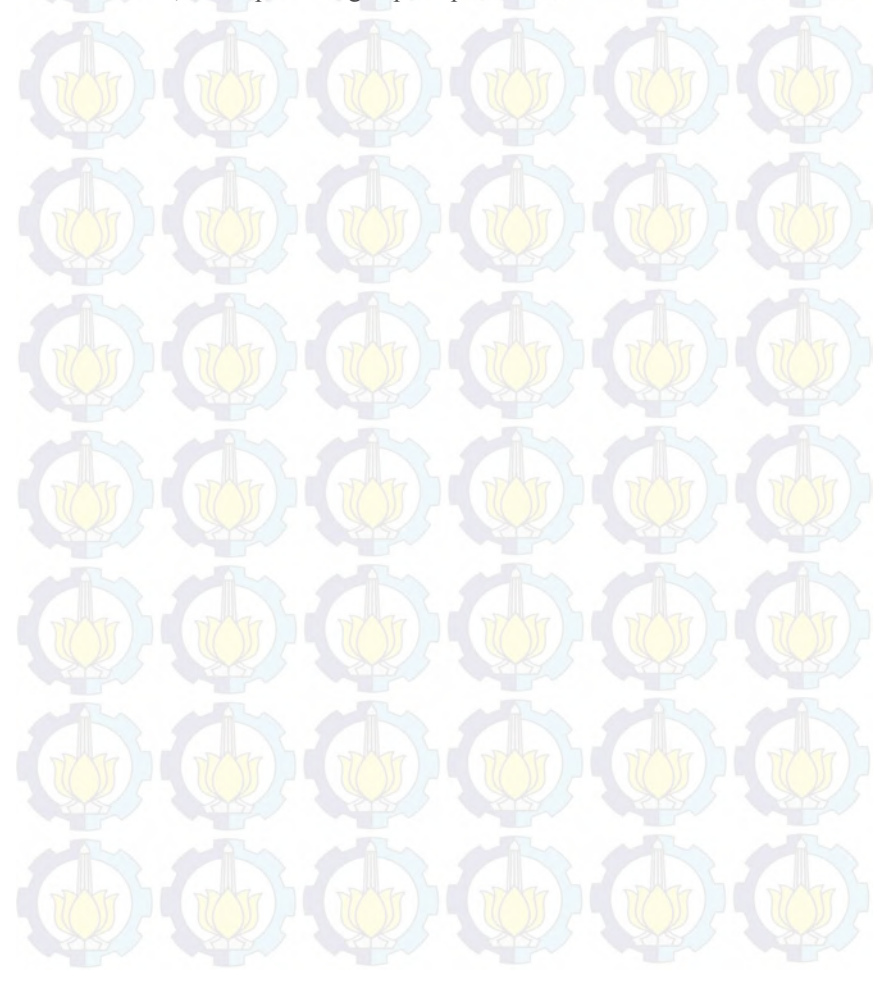
- 1. Dari pengujian arus di peroleh nilai rata-rata eror 1,5% dengan toleransi 10% dan hasil pengujian tegangan diperoleh nilai eror 0%.
- 2. Pada alat yang telah dibuat komunikasi antara perangkat yang ada di lapangan dengan MQTT Server menggunakan router yang terhubung ke Internet. Sehingga dapat menjangkau jaringan dengan keterandalan yang rendah.
- 3. Penggunaan tampilan pada komputer master menggunakan bahasa *Visual C#* yang memiliki keunggulan berupa program yang berukuran kecil dan memiliki efektifitas koneksi tinggi serta tampilan visual yang lebih mudah dipahami.
- 4. Tampilan *monitoring* pada komputer dapat menampilkan hasil *monitoring* berupa arus dan tegangan, dan terdapat alarm sebagai indikator jika terjadi gangguan sesuai yang diinginkan.
- 5. Modem router dapat mengirimkan data yang diproses oleh intel galileo ke komputer dengan menggunakan MQTT, proses kecepatan dalam pengiriman data tergantung jaringan yang mendukung.

#### 5.2 Saran

Dengan memperhatikan beberapa kelemahan dan kekurangan proyek Tugas Akhir ini, maka diberikan beberapa saran yang dapat dikembangkan demi kebempurnaan dari proyek Tugas Akhir ini, adapun beberapa saran tersebut yaitu:

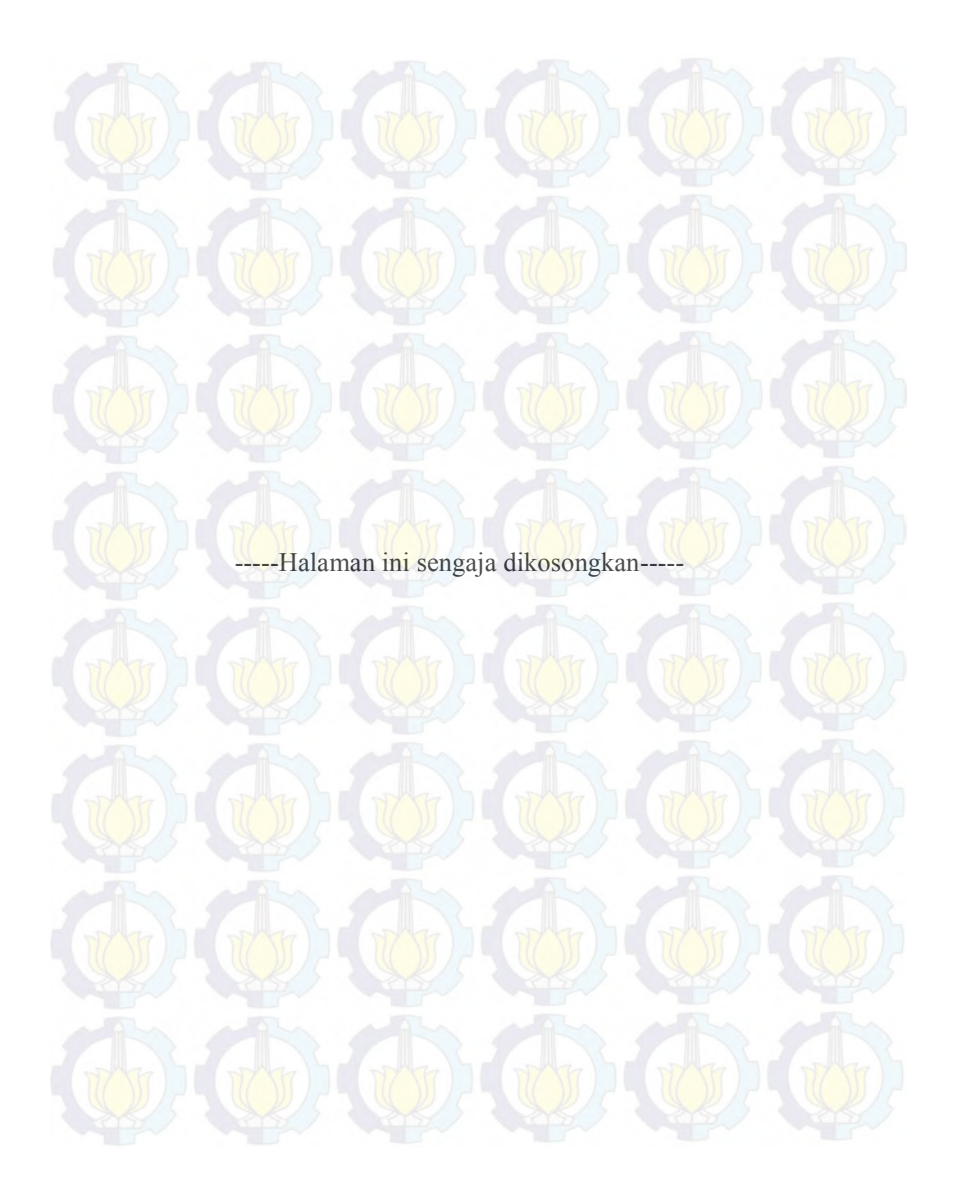
1. Penggunaan tampilan pada web memiliki kelemahan yaitu semakin banyak elemen web yang digunakan maka akan

- mempengaruhi kecepatan transfer datanya. Tampilan web yang sederhana lebih disarankan untuk penggunaan secara realtime.
- 2. Penggunaan sensor arus berupa ACS712 tidak disarankan pada peralatan real dikarenakan kapasitas hantarnya yang kecil.
- 3. Pemasangan CT (current transformer) pada element pengukur arus, untuk pemasangan pada panel distribusi PLN secara real.



#### DAFTAR PUSTAKA

- [1] Dadang Iskadar, "Sistem Informasi Gardu Induk Dan Gardu Distribusi PLN", Universitas Gadjah Mada Yogyakarta 2011
- [2] Aprianto, Agung (2012), "Pemeliharaan Trafo Distribusi", Universitas Diponegoro –Semarang
- [3] Alif Rochman Aji, "Monitoring Arus Dan tegangan di cabang Saluran Rumah Dengan Mikrokontroler Media Wifi", Proyek Tugas Akhir, Institut Teknologi Sepuluh Nopember, 2013.
- [4] \_\_\_\_\_, " pembagi tegangan (Voltage Divider)", http://elektronika-dasar.web.id/pembagi-tegangan-voltage-divider/, 11 Maret 2016
- [5] Aulia Faqih, "Perkenalan Dengan Intel Galileo", http://teknojurnal.com/berkenan-dengan-intel-galileo/, 12 Maret 2016
- [6] Wahana Komputer Semarang. "Web Berbasis Java Scrip Dan CGI", Andi, Yogyakarta, 2001
- [7] Robert J.tibshirani, "An Introduction to the Bootsrap", CRC press, London, June 1993.
- [8] \_\_\_\_, "Pengertian Optocoupler dan Prinsip Kerjanya" http://teknikelektronika.com/pengertian-optocoupler-fungsi-prinsip-kerja-optocoupler/, 14 Maret 2016
- [9] Riza Agung Firmansyah, Titiek Suheta, Dedi Antoni, "Perancangan Alat Monitoring Dan Penyimpan Data Pada Panel Hubung Tegangan Rendah Di Trafo Gardu Distribusi Berbasis Mikrokontroler", Institut Teknologi Adhi Tama Surabaya 2015

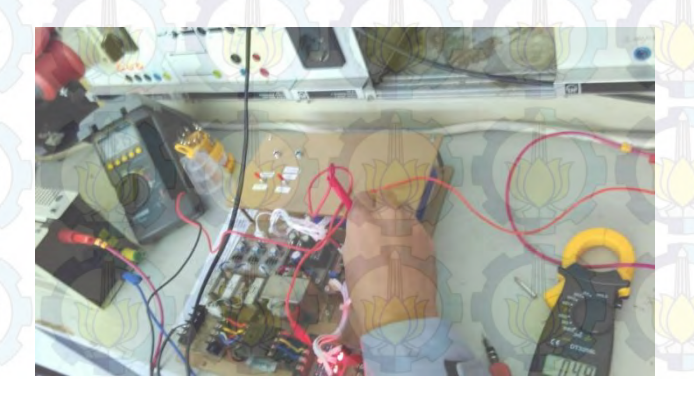


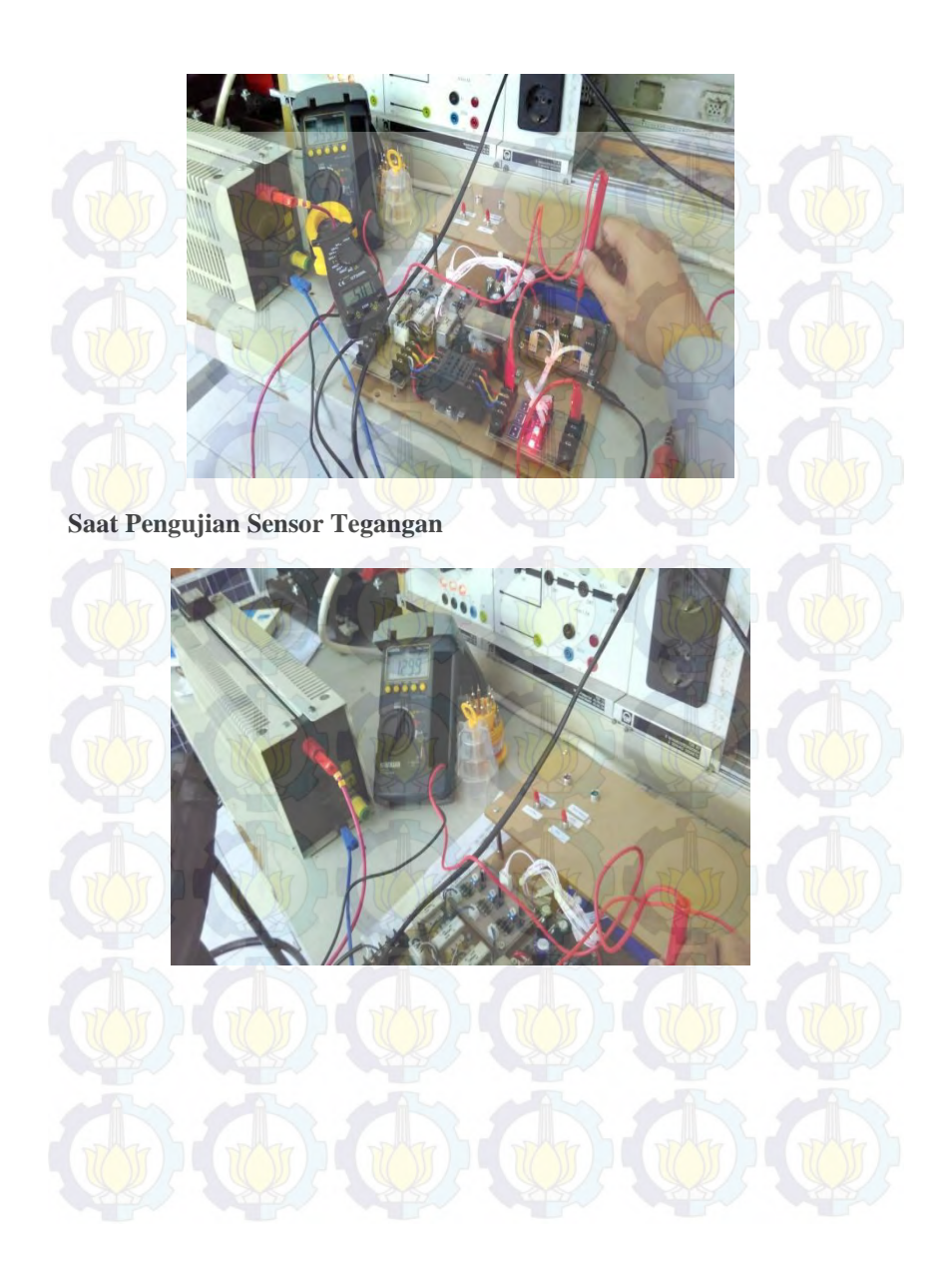
# LAMPIRAN A FOTO

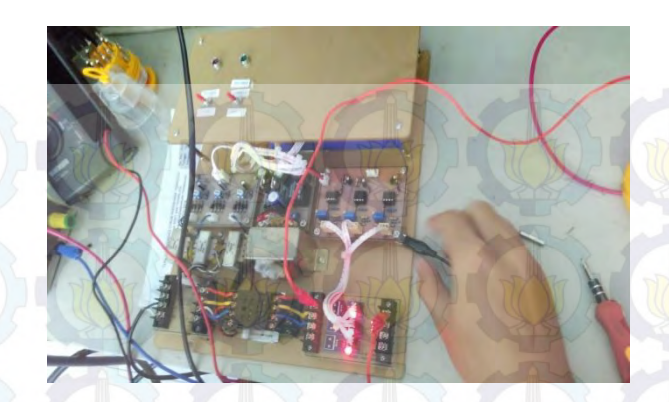
**Box** Panel Monitoring Dan Kontrol Sistem Distribusi PLN



Saat pengujian sensor Arus ACS712







Saat pengujian Alat Dalam Kondisi Normal



Bagian Panel Local



# Pengujian Breaker Terhubung



**Breaker Saat Terputus** 



Saat terbuhung dengan arus listrik dalam kondisi normal dan status local



## LAMPIRAN B PROGRAM

```
Project
         : Tugas Akhir
Author
          : Ifa Fitrianti (2213039001)
Author 2: Ilham Sudrajat (2213039006)
Counsellor: Suwito, S.T., M.T.
Laboratory: Elektronika Terapan Sepuluh Nopember
Company : Institut Teknologi Sepuluh Nopember
Program type
                    : Intel Galileo gen 2
var mraa = require('mraa');
console.log('MRAA Version: ' + mraa.getVersion());
var PUBNUB = require('pubnub');
var pubnub = PUBNUB.init({
 publish key: 'demo',
 subscribe key: 'demo'
});
function sleep(delay)
 delay += new Date().getTime();
 while (new Date() < delay) { }
var analog = new mraa.Aio(1);
var cbo = new mraa.Gpio(4);
cbo.dir(mraa.DIR OUT);
var cbstats = new mraa.Gpio(3);
cbstats.dir(mraa.DIR IN);
\frac{\text{var}}{\text{opstats}} = \frac{\text{new}}{\text{mraa.Gpio}(6)};
opstats.dir(mraa.DIR IN);
var buzzer = new mraa.Gpio(7);
buzzer.dir(mraa.DIR OUT);
```

```
var breaker = new mraa.Gpio(5);
breaker.dir(mraa.DIR OUT);
var x = new mraa.Gpio(8);
x.dir(mraa.DIR OUT);
var y = new mraa.Gpio(9);
y.dir(mraa.DIR OUT);
var z = new mraa.Gpio(10);
z.dir(mraa.DIR OUT);
var lastValue = 0;
var ir=0,is=0,it=0;
function cekvr(){
  x.write(0);
  y.write(0);
  z.write(0);
  var analogValue = analog.read();
  var max = 1023;
                                  percent
(51.914523965309+(0.34195982347946*analogValue)).toFixed(0);
  console.log(percent);
  if(percent !== lastValue) {
     pubnub.publish({
       channel: 'sdis',
       message: {"vr" : percent}
     });
     lastValue = percent;
function cekvs(){
  x.write(1);
  y.write(0);
  z.write(0);
  var analogValue = analog.read();
  var max = 1023;
                                  percent
  var
(52.477566640274+(0.33979941937187*analogValue)).toFixed(0);
  console.log(percent);
```

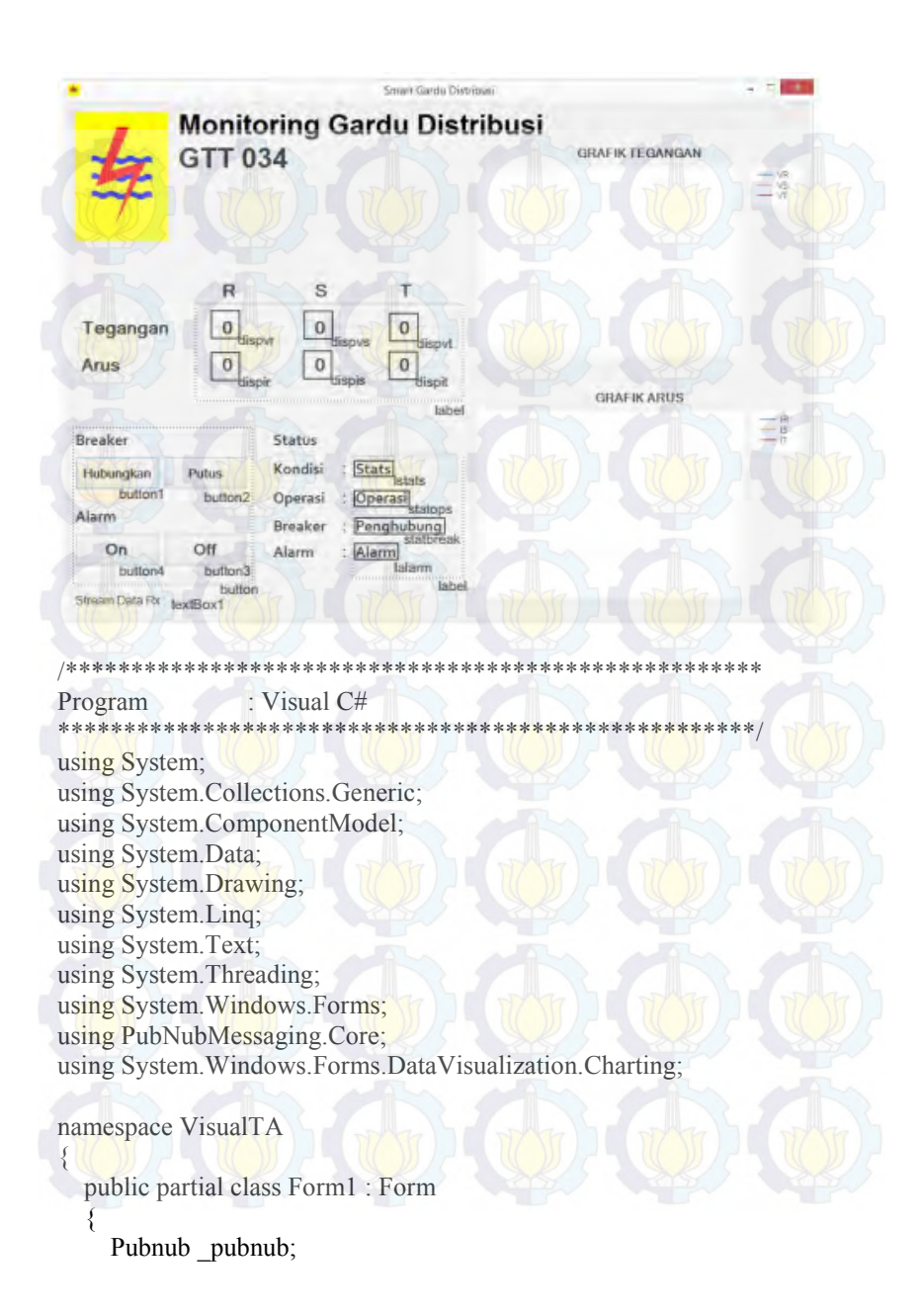
```
if(percent !== lastValue) {
     pubnub.publish({
       channel: 'sdis',
       message: {"vs" : percent}
     lastValue = percent;
function cekvt(){
  x.write(0);
  y.write(1);
  z.write(0);
  var analogValue = analog.read();
  var max = 1023;
  var
                                  percent
(52.390888963028+(0.3402990506809*analogValue)).toFixed(0);
  console.log(percent);
  if(percent !== lastValue) {
    pubnub.publish({
       channel: 'sdis',
       message: {"vt" : percent}
     });
     lastValue = percent;
function cekir(){
  x.write(1);
  y.write(1);
  z.write(0);
  var analogValue = analog.read();
  var max = 1023;
  var ir = (((0.010533644973698*analogValue)-2.2573771117574)-
5).toFixed(1);
  console.log(ir);
  if(ir !== lastValue) {
    pubnub.publish({
       channel: 'sdis',
```

```
message: {"ir": ir}
     });
     lastValue = ir;
function cekis(){
  x.write(0);
  y.write(0);
  z.write(1);
  var analogValue = analog.read();
  var max = 1023;
  var is = (((0.010309615279189*analogValue)-2.1665067704621)-
8).toFixed(1);
  console.log(is);
  if(is !== lastValue) {
     pubnub.publish({
       channel: 'sdis',
       message: {"is": is}
     lastValue = is;
function cekit(){
  x.write(1);
  y.write(0);
  z.write(1);
  var analogValue = analog.read();
  var max = 1023;
  var it = (((0.0098276955622793*analogValue)-2.1038286574932)-
5.6).toFixed(1);
  console.log(it);
  if(it !== lastValue) {
     pubnub.publish({
       channel: 'sdis',
       message: {"it": it}
     });
     lastValue = it;
```

```
function cekcb(){
  var cb = cbstats.read();
  console.log(cb);
  pubnub.publish({
     channel: 'sdis',
    message: {"breaker" : cb}
  });
function cekop(){
  var op = opstats.read();
  console.log(op);
  pubnub.publish({
    channel: 'sdis',
    message: {"operation": op}
  });
function sirine(cond){
        if(cond == "1")
                 buzzer.write(1);
                 console.log( " > Alarm On" );
                 pubnub.publish({
                           channel: 'sdis',
                          message: {"buzz" : "on"}
                  });
         else if(cond=="0"){
                 buzzer.write(0);
                 console.log( " > Alarm Off" );
                 pubnub.publish({
                          channel: 'sdis',
                          message: {"buzz" : "off"}
                  });
```



```
cbo.write(0);
                  sirine(1);
                  pubnub.publish({
                           channel: 'sdis',
                           message: {"troub" : "a"}
                  });
         else if(is>=3)
                  cbo.write(0);
                  sirine(1);
                  pubnub.publish({
                           channel: 'sdis',
                           message: {"troub" : "b"}
                  });
         else if(it>=3)
                  cbo.write(0);
                  sirine(1);
                  pubnub.publish({
                           channel: 'sdis',
                           message: {"troub": "c"}
                  });
         }else{
                  cbo.write(1);
                  pubnub.publish({
                           channel: 'sdis',
                           message: {"troub" : "d"}
                  });
         //cbo.write(1);
         console.log("");
setInterval(cek, 1000);
```



```
const string CHANNELNAME = "sdis";
    const string CHANNELSEND = "sdissend";
    const string PUBLISH KEY = "demo";
    const string SUBSCRIBE KEY = "demo";
    const string SECRET KEY = "";
    delegate void SetTextCallback(string text);
    double i = 0;
    double data;
    public Form1()
      InitializeComponent();
    private void Form1 Load(object sender, EventArgs e)
      Init():
      Subscribe();
      //this.chart1.Titles.Add("ARUS");
    private void timer1 Tick(object sender, EventArgs e)
      i=i++;
    void Init()
      Console.WriteLine("Running Init()");
       pubnub = new Pubnub(
                    PUBLISH KEY,
                    SUBSCRIBE KEY
      );
    void Subscribe()
      pubnub.Subscribe<string>(CHANNELNAME,
DisplaySubscribeReturnMessage,
                                     DisplayConnectStatusMessage,
DisplaySubscribeErrorMessage);
    void DisplaySubscribeReturnMessage(string result)
      Console.WriteLine("Returned:");
```

```
tampil(result);
                                                                    '{',
                  subsc
                                    result.Split(new[]
        var
StringSplitOptions.RemoveEmptyEntries);
                                     subsc[1].Split(new[]
                   kev
StringSplitOptions.RemoveEmptyEntries);
         key[0] = key[0].Replace("\"", String.Empty);
          key[1] = key[1].Replace("\"", String.Empty);
        if (\text{key}[0].\text{Trim}() == "\text{vr}")
           SetVR( key[1].Trim());
        else if (\text{key}[0].\text{Trim}() == \text{"vs"})
           SetVS( key[1].Trim());
        else if (\text{key}[0].\text{Trim}() == \text{"vt"})
           SetVT( key[1].Trim());
        else if (\text{key}[0].\text{Trim}() == \text{"ir"})
           SetIR( key[1].Trim());
        else if (\text{key}[0].\text{Trim}() == \text{"is"})
           SetIS( key[1].Trim());
        else if (\text{key}[0].\text{Trim}() == \text{"it"})
           SetIT(_key[1].Trim());
        else if ( key[0].Trim() == "breaker")
           if (\text{key}[1].\text{Trim}() == "1")
              breaker("1");
           else if (\text{key}[1].\text{Trim}() == "0")
```

```
breaker("0");
  else if (_key[0].Trim() == "operation")
     if (\text{key}[1].\text{Trim}() == "1")
        operation("1");
     else if (_{\text{key}[1]}.\text{Trim}() == "0")
        operation("0");
  else if (_key[0].Trim() == "buzz")
     if (\text{key}[1].\text{Trim}() == "on")
        buzzer("on");
     else if (_{\text{key}[1]}.\text{Trim}() == "off")
        buzzer("off");
  else if (\text{key}[0].\text{Trim}() == \text{"troub"})
     trouble(_key[1].Trim());
private void tampil(string text)
  if (this.textBox1.InvokeRequired)
     SetTextCallback d = new SetTextCallback(tampil);
     this.Invoke(d, new object[] { text });
  else
```

```
this.textBox1.Text = text;
private void SetVR(string text)
  // InvokeRequired required compares the thread ID of the
  // calling thread to the thread ID of the creating thread.
  // If these threads are different, it returns true.
  if (this.dispvr.InvokeRequired)
     SetTextCallback d = new SetTextCallback(SetVR);
     this.Invoke(d, new object[] { text });
  else
     this.dispvr.Text = text;
private void SetVS(string text)
  // InvokeRequired required compares the thread ID of the
  // calling thread to the thread ID of the creating thread.
  // If these threads are different, it returns true.
  if (this.dispvs.InvokeRequired)
     SetTextCallback d = new SetTextCallback(SetVS);
     this.Invoke(d, new object[] { text });
  else
     this.dispvs.Text = text;
private void SetVT(string text)
  // InvokeRequired required compares the thread ID of the
  // calling thread to the thread ID of the creating thread.
  // If these threads are different, it returns true.
  if (this.dispvt.InvokeRequired)
```

```
SetTextCallback d = new SetTextCallback(SetVT);
     this.Invoke(d, new object[] { text });
  else
     this.dispvt.Text = text;
private void SetIR(string text)
  // InvokeRequired required compares the thread ID of the
  // calling thread to the thread ID of the creating thread.
  // If these threads are different, it returns true.
  data = Convert.ToDouble(text);
  //this.chart1.Series["Series 1"].Points.AddXY(i,data);
  if (this.dispir.InvokeRequired)
     SetTextCallback d = new SetTextCallback(SetIR);
     this.Invoke(d, new object[] { text });
  else
     this.dispir.Text = text;
private void SetIS(string text)
  // InvokeRequired required compares the thread ID of the
  // calling thread to the thread ID of the creating thread.
  // If these threads are different, it returns true.
  if (this.dispis.InvokeRequired)
     SetTextCallback d = new SetTextCallback(SetIS);
     this.Invoke(d, new object[] { text });
  else
     this.dispis.Text = text;
```

```
private void SetIT(string text)
  // InvokeRequired required compares the thread ID of the
  // calling thread to the thread ID of the creating thread.
  // If these threads are different, it returns true.
  if (this.dispit.InvokeRequired)
     SetTextCallback d = new SetTextCallback(SetIT);
     this.Invoke(d, new object[] { text });
  else
     this.dispit.Text = text;
private void breaker(string text)
  if (this.statbreak.InvokeRequired)
     SetTextCallback d = new SetTextCallback(breaker);
     this.Invoke(d, new object[] { text });
  else
     if (\text{text} == "1")
       this.statbreak.Text = "Terhubung";
     else if (\text{text} == "0")
       this.statbreak.Text = "Terputus";
private void operation(string text)
  // InvokeRequired required compares the thread ID of the
```

```
// calling thread to the thread ID of the creating thread.
  // If these threads are different, it returns true.
  if (this.statops.InvokeRequired)
     SetTextCallback d = new SetTextCallback(operation);
     this.Invoke(d, new object[] { text });
  else
     if (\text{text} == "1")
       this.statops.Text = "Local";
     else if (text == "0")
       this.statops.Text = "Remote";
private void buzzer(string text)
  // InvokeRequired required compares the thread ID of the
  // calling thread to the thread ID of the creating thread.
  // If these threads are different, it returns true.
  if (this.lalarm.InvokeRequired)
     SetTextCallback d = new SetTextCallback(buzzer);
     this.Invoke(d, new object[] { text });
  else
     if (text == "on")
       this.lalarm.Text = "Menyala";
       System.Media.SystemSounds.Hand.Play();
     else if (text == "off")
       this.lalarm.Text = "Mati";
```

```
private void trouble(string text)
  // InvokeRequired required compares the thread ID of the
  // calling thread to the thread ID of the creating thread.
  // If these threads are different, it returns true.
  if (this.lstats.InvokeRequired)
     SetTextCallback d = new SetTextCallback(trouble);
     this.Invoke(d, new object[] { text });
  else
     if (\text{text} == "a")
       this.lstats.Text = "OC Fasa R";
     else if (\text{text} == \text{"b"})
       this.lstats.Text = "OC Fasa S";
     else if (\text{text} == \text{"c"})
       this.lstats.Text = "OC Fasa T";
     else if (\text{text} == "d")
       this.lstats.Text = "Normal";
void DisplayConnectStatusMessage(string result)
  Console.WriteLine("ConnectStatus:");
  Console.WriteLine(result);
```

```
DisplaySubscribeErrorMessage(PubnubClientError
     void
pubnubError)
       Console.WriteLine(pubnubError.StatusCode);
       //Based on the severity of the error, we can filter out errors for
handling or logging.
       switch (pubnubError.Severity)
         case PubnubErrorSeverity.Critical:
            //This type of error needs to be handled.
            break:
         case PubnubErrorSeverity.Warn:
            //This type of error needs to be handled
            break:
         case PubnubErrorSeverity.Info:
            //This type of error can be ignored
            break:
         default:
            break:
       Console. WriteLine(pubnubError.StatusCode); //Unique ID of the
error
       Console.WriteLine(pubnubError.Message); //Message received
from client or server. From client, it could be from .NET exception.
       if (pubnubError.DetailedDotNetException != null)
         Console.WriteLine(pubnubError.IsDotNetException);
Boolean flag to check .NET exception
Console.WriteLine(pubnubError.DetailedDotNetException.ToString());
// Full Details of .NET exception
       Console.WriteLine(pubnubError.MessageSource); // Did this
```

originate from Server or Client-side logic

```
if (pubnubError.PubnubWebRequest != null)
         //Captured Web Request details
Console. WriteLine(pubnubError.PubnubWebRequest.RequestUri.ToStri
ng());
Console. WriteLine(pubnubError.PubnubWebRequest.Headers.ToString(
));
      if (pubnubError.PubnubWebResponse != null)
         //Captured Web Response details
Console.WriteLine(pubnubError.PubnubWebResponse.Headers.ToStrin
g());
       Console.WriteLine(pubnubError.Description); // Useful for
logging and troubleshooting and support
      Console. WriteLine(pubnubError. Channel); //Channel name(s) at
the time of error
       Console.WriteLine(pubnubError.ErrorDateTimeGMT);
                                                            //GMT
time of error
    void DisplayReturnMessage(string result)
      Console.WriteLine("PUBLISH STATUS CALLBACK");
      Console. WriteLine(result);
    void DisplayErrorMessage(PubnubClientError pubnubError)
       Console. WriteLine(pubnubError.StatusCode);
    private void button1 Click(object sender, EventArgs e)
      pubnub.Publish<string>(
```

```
CHANNELSEND,
    DisplayReturnMessage,
    DisplayErrorMessage
private void button2 Click(object sender, EventArgs e)
   pubnub.Publish<string>(
   CHANNELSEND,
   DisplayReturnMessage,
   DisplayErrorMessage
   ):
private void button4 Click(object sender, EventArgs e)
  pubnub.Publish<string>(
   CHANNELSEND,
   DisplayReturnMessage,
   DisplayErrorMessage
private void button3 Click(object sender, EventArgs e)
   pubnub.Publish<string>(
   CHANNELSEND,
   DisplayReturnMessage,
   DisplayErrorMessage
```



# LAMPIRAN C DATASHEET

### 1. Datasheet Intel Galileo Gen 2



## Galileo Datasheet





Galileo Front

Galileo Back

#### Overview

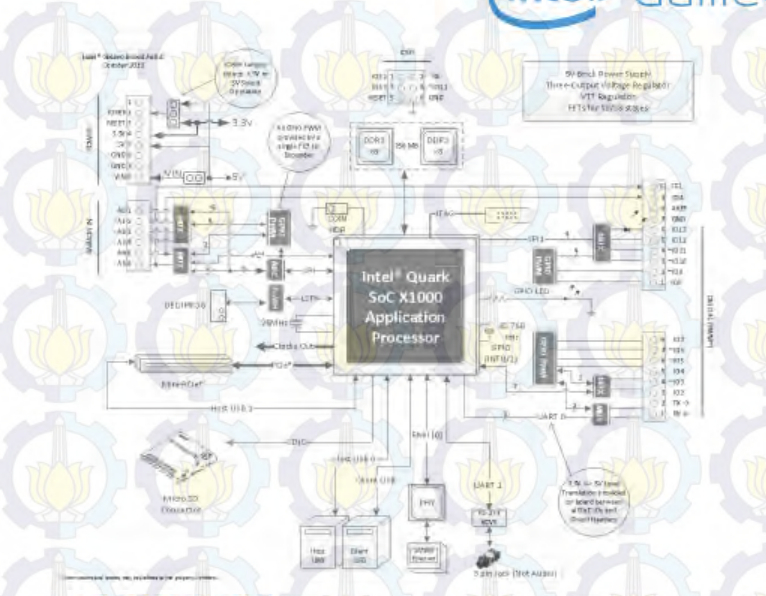
Galileo is a microcontroller board based on the Intel® Quark SoC X1000 Application Processor, a 32-bit Intel Pentium-class system on a chip (<u>datasheet</u>). It is the first board based on Intel® architecture designed to be hardware and software pin-compatible with Arduino shields designed for the Uno R3. Digital pins 0 to 13 (and the adjacent AREF and GND pins), Analog inputs 0 to 5, the power header, ICSP header, and the UART port pins (0 and 1), are all in the same locations as on the Arduino Uno R3. This is also known as the Arduino 1.0 pinout.

Galileo is designed to support shields that operate at either 3.3V or 5V. The core operating voltage of Galileo is 3.3V. However, a jumper on the board enables voltage translation to 5V at the I/O pins. This provides support for 5V Uno shields and is the default behavior. By switching the jumper position, the voltage translation can be disabled to provide 3.3V operation at the I/O pins.

Of course, the Galileo board is also SW compatible with the Arduino SW Development Environment, which makes usability and introduction a snap.

In addition to Arduino HW and SW compatibility, the Galileo board has several PC industry standard I/O ports and features to expand native usage and capabilities beyond the Arduino shield ecosystem. A full sized mini-PCI Express\* slot, 100Mb Ethernet port, Micro-SD slot, RS-232 serial port, USB Host port, USB Client port, and 8MByte NOR flash come standard on the board.





# Getting Started

To get started, simply connect the board to power with the SV AC-to-DC adapter and then connect to the computer with the micro-USB cable.

Galileo has a dedicated forum for discussing the board.

# Details and Specifications

# Arduino Shield Supported Features

Galileo is compatible with Arduino Uno shields and is designed to support 3.3V or 5V shields, following the Arduino Uno Revision 3, including:

- 14 digital input/output pins, of which 6 can be used as Pulse Width Modulation (PWM) outputs;
  - Each of the 14 digital pins on Galileo can be used as an input or output, using pinMode(), digitalWrite(), and digitalRead() functions.
  - The pins operate at 3.3 volts or 5 volts. Each pin can source a max of 10mA or sink a maximum of 25 mA and has an internal pull-up resistor (disconnected by default) of 5.6k to 10 kOhms.
- AO A5 6 analog inputs, via an AD7298 analog-to-digital (A/D) converter (datasheet)
- Each of the 6 analog inputs, labeled A0 through A5, provides 12 bits of resolution (i.e., 4096) different values). By default they measure from ground to 5 volts.
- I<sup>2</sup>C\* bus, TWI, with SDA and SCL pins that are near to the AREF pin.
  TWI: A4 or SDA pin and A5 or SCL pin. Support TWI communication using the Wire library.
- - Defaults to 4MHz to support Arduino Uno shields. Programmable up to 25MHz.



- Note: While Galileo has a native SPI controller, it will act as a master and not as an SPI slave. Therefore, Galileo cannot be a SPI slave to another SPI master. It can act, however, as a slave
- device via the USB Client connector.

  UART (serial port) Programmable speed UART port (Pins 0 (RX) and 1 (TX))
- ICSP (SPI) a 6 pin in-circuit serial programming (ICSP) header, located appropriately to plug into existing shields. These pins support SPI communication using the SPI library
- VIN. The input voltage to the Galileo board when it's using an external power source (as opposed to 5 volts from the regulated power supply connected at the power jack). You can supply voltage through this pin, or, if supplying voltage via the power jack, access it through this pin.
  - Warning: The voltage applied to this pin must be a regulated 5V supply otherwise it could damage the Galileo board or cause incorrect operation.
- 5V output pin. This pin outputs 5V from the external source or the USB connector. Maximum current draw to the shield is 800 mA
- 3.3V output pin. A 3.3 volt supply generated by the on-board regulator. Maximum current draw to the shield is 800 mA
- GND. Ground pins.
- IOREF. The IOREF pin on Galileo allows an attached shield with the proper configuration to adapt to the voltage provided by the board. The IOREF pin voltage is controlled by a jumper on the board, i.e., a selection jumper on the board is used to select between 3.3V and 5V shield operation.
- RESET button/pin
  - o Bring this line LOW to reset the sketch. Typically used to add a reset button to shields that block the one on the board.
- AREF is unused on Galileo. Providing an external reference voltage for the analog inputs is not supported.
  - For Galileo it is not possible to change the upper end of the analog input range using the AREF pin and the analogReference() function.

## Details of Intel® Architecture Supported Features

The genuine Intel processor and surrounding native I/O capabilities of the SoC provides for a fully featured offering for both the maker community and students alike. It will also be useful to professional developers who are looking for a more simple and cost effective development environment to the more complex Intel® Atom processor and Intel® Core processor-based designs.

- 400MHz 32-bit Intel® Pentium instruction set architecture (ISA)-compatible processor
  - o 16 KByte L1 cache
  - 512 KBytes of on-die embedded SRAM
  - Simple to program: Single thread, single core, constant speed
     ACPI compatible CPU sleep states supported

  - An integrated Real Time Clock (RTC), with an optional 3V "coin cell" battery for operation between turn on cycles.
- 10/100 Ethernet connector
- Full PCI Express\* mini-card slot, with PCIe\* 2.0 compliant features
  - Works with half mini-PCIe\* cards with optional converter plate
  - o Provides USB 2.0 Host Port at mini-PCIe\* connector
- USB 2.0 Host connector
  - Support up to 128 USB end point devices
- USB Client connector, used for programming
- Beyond just a programming port a fully compliant USB 2.0 Device controller
- 10-pin Standard JTAG header for debugging
- Reboot button to reboot the processor
- Reset button to reset the sketch and any attached shields
- Storage options:
  - o 8 MByte Legacy SPI Flash whose main purpose is to store the firmware (or bootloader) and the latest sketch. Between 256 KByte and 512 KByte is dedicated for sketch storage. The upload happens automatically from the development PC, so no action is required unless there is an upgrade that is being added to the firmware.



- 512 KByte embedded SRAM that is enabled by the firmware by default.
- 256 MByte DRAM, enabled by the firmware by default.
- Optional micro SD card offers up to 32GByte of storage
- USB storage works with any USB 2.0 compatible drive
  - 11 KByte EEPROM can be programmed via the EEPROM library.

### Schematic, Reference Design & Pin Mapping

- Schematic: Galileo-schematic.pdf
  Cadence® Allegro® files: Galileo-reference-design.zip

#### Power

Galileo is powered via an AC-to-DC adapter, connected by plugging a 2.1mm center-positive plug into the board's power jack. The recommended output rating of the power adapter is 5V at up to 3A.

### Electrical Summary

Input Voltage (recommended) 5V

Input Voltage (limits)

Digital I/O Pins 14 (of which 6 provide PWM output)

Analog Input Pins Total DC Output Current on all I/O lines 80 mA DC Current for 3.3V Pin 800 mA DC Current for 5V Pin 800 mA

#### Communication

Galileo has a number of facilities for communicating with a computer, another Arduino, or other microcontrollers.

Galileo provides UART TTL (5V/3.3V) serial communication, which is available on digital pin 0 (RX) and 1 (TX). In addition, a second UART provides RS-232 support and is connected via a 3.5mm jack.

The USB Client ports allows for serial (CDC-ACM) communications over USB. This provides a serial connection to the Serial Monitor or other applications on your computer. It is also used to upload sketches to the board.

The USB Host port allows Galileo act as a USB Host for connected peripherals such as mice, keyboards, and smartphones. To use these features, see the USBHost reference pages.

Galileo is the first Arduino board to provide a mini PCI Express\* (mPCIe\*) slot. This slot allows full size and half size (with adapter) mPCIe\* modules to be connected to the board and also provides an additional USB Host port via the mPCIe\* slot. Any standard mPCIe\* module can be connected and used to provide applications such as WiFi, Bluetooth or Cellular connectivity. Initially, the Galileo mPCie\* slot provides support for the WiFi Library. For additional information, see the Intel® Galileo Getting Started Guide.

An Ethernet RJ45 Connector is provided to allow Galileo to connect to wired networks. Full support of onboard Ethernet interface is fully supported and does not require the use of the SPI interface like existing Arduino

The onboard microSD card reader is accessible through the SD Library. The communication between Galileo and the SD card is provided by an integrated SD controller and does not require the use of the SPI interface like other Arduino boards. The native SD interface runs at up to 50MHz depending on the class of card used.

The Arduino software includes a Wire library to simplify use of the TWI/I2C\* bus; see the documentation for details.

For SPI communication, use the SPI library.



### Programming

Galileo can be programmed with the Arduino software (<u>download</u>). When you are ready to upload the sketch to the board, program Galileo through the USB Client port by selecting "Intel Galileo" as your board in the Arduino IDE. Connect Galileo's port labelled USB Client (the one closest to the Ethernet) to your computer. For details, see the reference, <u>tutorials</u> and Intel® Galileo Getting Started Guide.

Rather than requiring a physical press of the reset button before an upload, Galileo is designed to be reset by software running on a connected computer.

When the board boots up two scenarios are possible:

- · If a sketch is present in persistent storage, it is executed.
- . If no sketch present, the board waits for upload commands from the IDE.

If a sketch is executing, you can upload from the IDE without having to press the reset button on the board. The sketch is stopped; the IDE waits for the upload state, and then starts the newly uploaded sketch.

Pressing the reset button on the board restarts a sketch if it is executing and resets any attached shields.

## Properties of Pins Configured as OUTPUT

Pins configured as OUTPUT with <u>pinMode()</u> are said to be in a low-impedance state. On Galileo, when a pin is configured as OUTPUT, the functionality is provided via an 1<sup>2</sup>C<sup>\*</sup>-based Cypress I/O expander (<u>datasheet</u>). Digital pins 0 to 13 and Analog pins A0 to A5 can be configured as OUTPUT pins on Galileo.

The I/O expander's pins, when configured as OUTPUT, can source (provide positive current) up to 10 mA (milliamps) and can sink (provide negative current) up to 25 mA of current to other devices/circuits. The individual per pin current sourcing capability of 10 mA is subject to an overall limit of 80 mA combined between all OUTPUT pins. The per pin capability current sinking capability is subject to an overall limit of 200 mA. The following table provides a breakdown of the overall OUTPUT capabilities of the pins.

	Current Source (mA)	Current Sink (mA)
Per Pin Capability	10	25
Digital Pins 3,5,9,10,12, 13 Combined	40	100
Digital Pins 0,1,2,4,6,7,8,11 and Analog Pins A0,A1,A2,A3,A4, A5 Combined	40	100
Digital Pins 0-13 and Analog Pins A0-A5 Combined	80	200



## Galileo Jumper Configuration

There are three jumpers on Galileo that are used to vary the configuration of the board.

To allow Galileo support both 3.3V and 5V shields, the external operating voltage is controlled via a jumper. When the jumper is connected to 5V, Galileo is configured to be compatible with 5V shields and IOREF is set to 5.0V. When the jumper is connected 3.3V, Galileo is configured to be compatible with 3.3V shields and IOREF is set to 3.3V.

The input range of the Analog pins is also controlled by the IOREF jumper and must not exceed the chosen operating voltage. However, the resolution of <u>AnalogRead()</u> remains at 5 V/1024 units for the default 10-bit resolution or 0, 00-99 V(4-9mV) per unit regardless of IOREF jumper setting.

Warning: The IOREF jumper should be used to match the board and shield operating voltages. Incorrectly setting the voltage could damage the board or the shield.

#### I2C\* Address Jumper

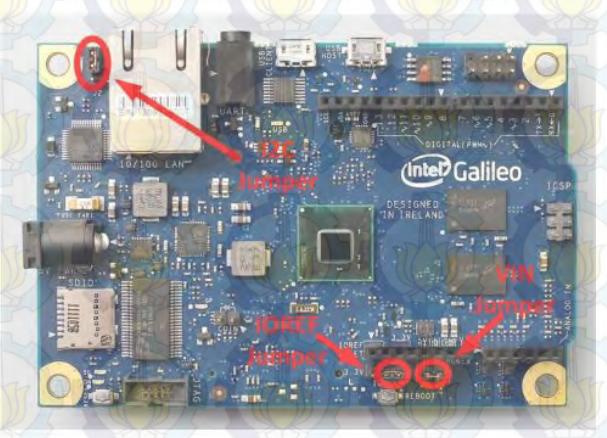
To prevent a clash between the I<sup>2</sup>C\* Slave address of the on board I/O expander and EEPROM with any external I<sup>2</sup>C address of the on-board EEPROM with any external I<sup>2</sup>C address of the on-board desc is 0100001 and the 7-bit I/O Expander address is 0100001 and the 7-bit EEPROM address is 1010001. Changing the jumper position changes the I/O Expander address to 0100000 and the EEPROM address to 1010000.

#### VIN Tumne

On Galileo, the VIN pin can be used to supply 5V from the regulated power supply connected at the power jack to attached shields or devices. If there is a need to supply more than 5V to a shield using VIN then the VIN jumper should be removed from Galileo to break the connection between the on-board 5V supply and the VIN connection on the board header.

Warning: If the VIN jumper is not removed and more than SV is connected to VIN, it may damage the board or lead to unreliable operation.







## Automatic (Software) Reset

Rather than requiring a physical press of the reset button before an upload, Galileo is designed in a way that allows it to be reset by software running on a connected computer. USB CDC-ACM control signals are used to transition Galileo from run-time to bootloader mode. The Arduino software uses this capability to allow you to upload code by simply pressing the upload button in the Arduino environment. For details, see the <a href="Intel® Galileo Getting Started Guide">Intel® Galileo Getting Started Guide</a>.

## Physical Characteristics

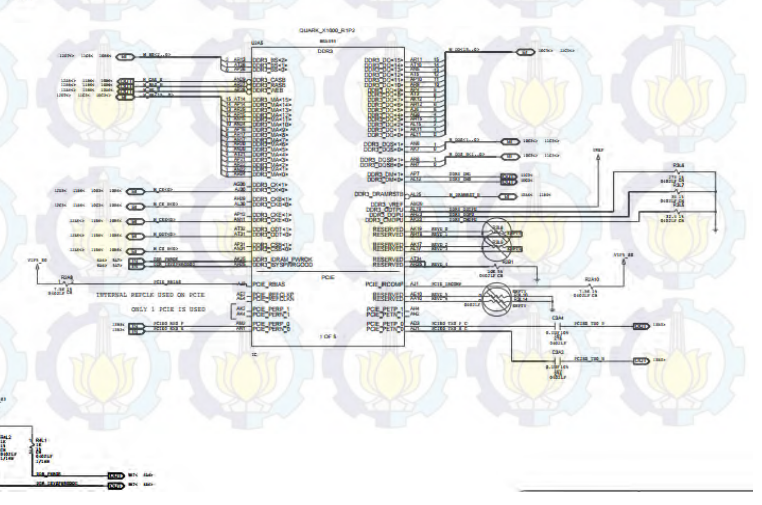
Galileo is 4.2 inches long and 2.8 inches wide respectively, with the USB connectors, UART Jack, Ethernet connector, and power Jack extending beyond the former dimension. Four screw holes allow the board to be attached to a surface or case. Note that the distance between digital pins 7 and 8 is 160 mil (0.16"), is not an even multiple of the 100 mil spacing of the other pins.

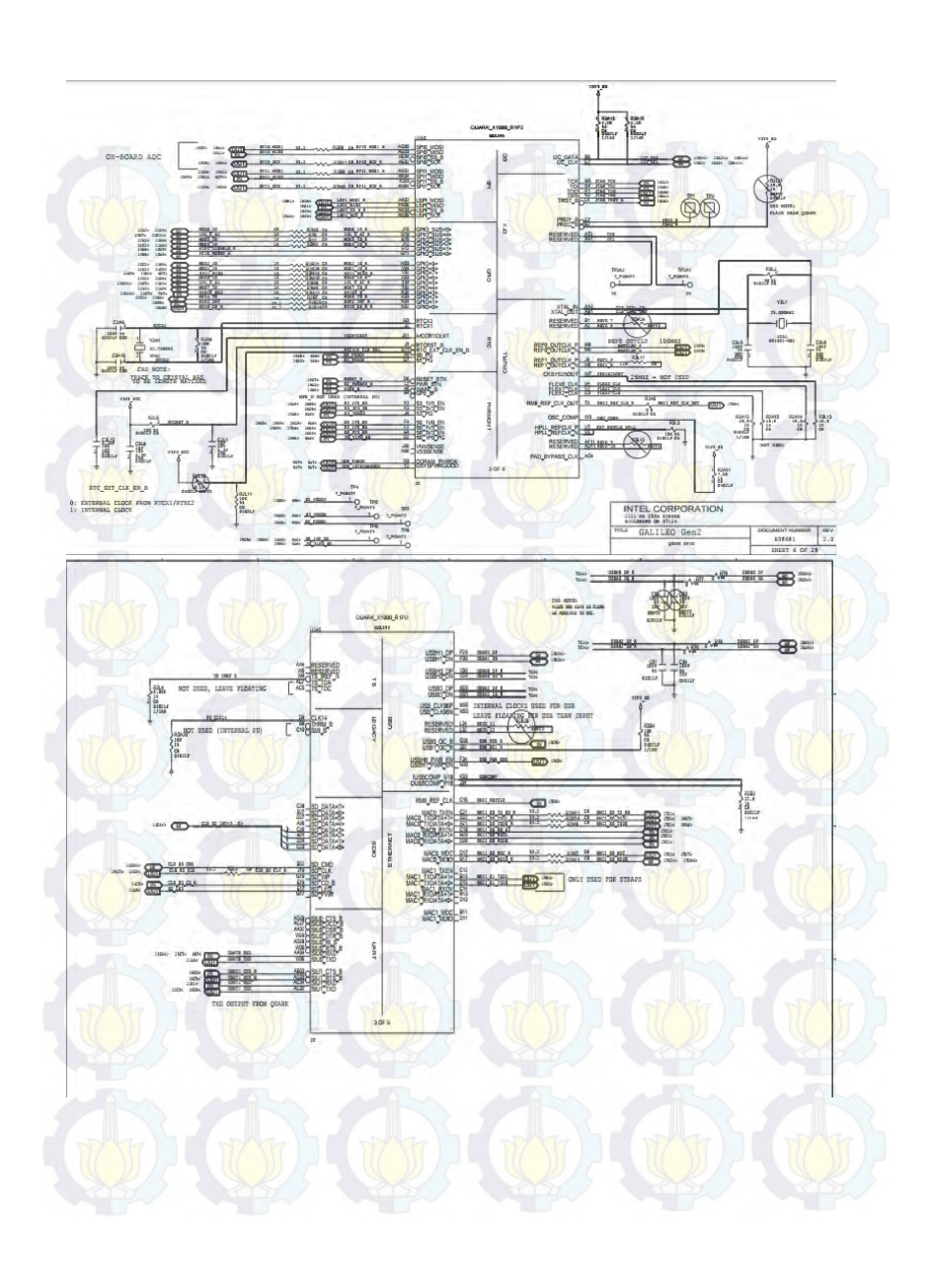
## Intel® Galileo Design Document

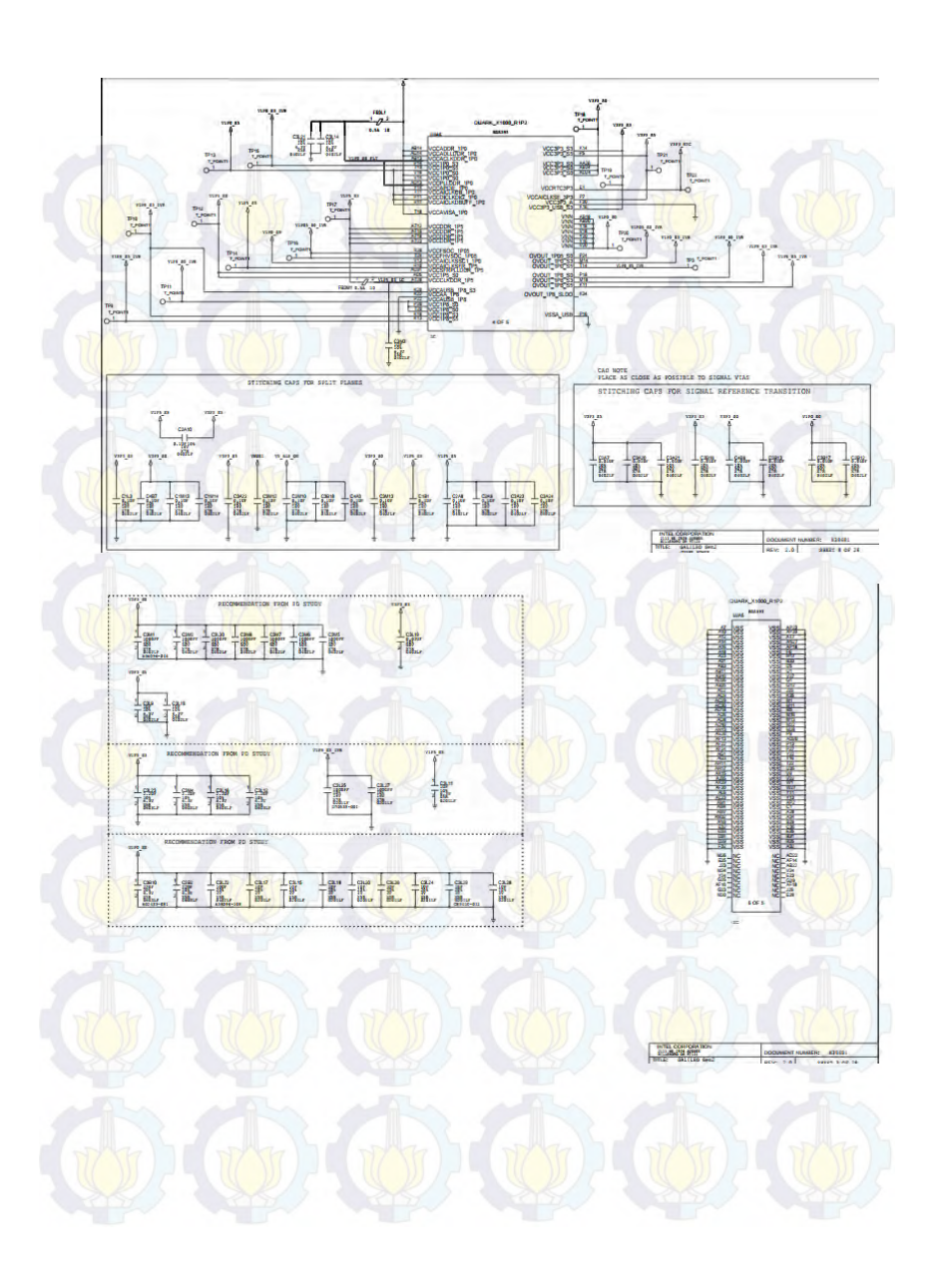
This Intel® Galileo design document is licensed by Intel under the terms of the Creative Commons Attribution Share-Alike License (ver. 3), subject to the following terms and conditions. The Intel® Galileo design document IS PROVIDED "AS IS" AND "WITH ALL FAULTS." Intel DISCLAIMS ALL OTHER WARRANTIES, EXPRESS OR IMPLIED REGARDING THE GALLIEO DESIGN OR THIS GALLIEO DESIGN DOCUMENT INCLUDING, BUT NOT LIMITED TO, ANY IMPLIED WARRANTIES OF MERCHANTABILITY OR FITNESS FOR A PARTICULAR PURPOSE. Intel® may make changes to the specifications, schematics and product descriptions at any time, without notice. The Customer must not rely on the absence or characteristics of any features or instructions marked "reserved" or "undefined." Intel® reserves these for future definition and shall have no responsibility whatsoever for conflicts or incompatibilities arising from future changes to them. ENIOY!

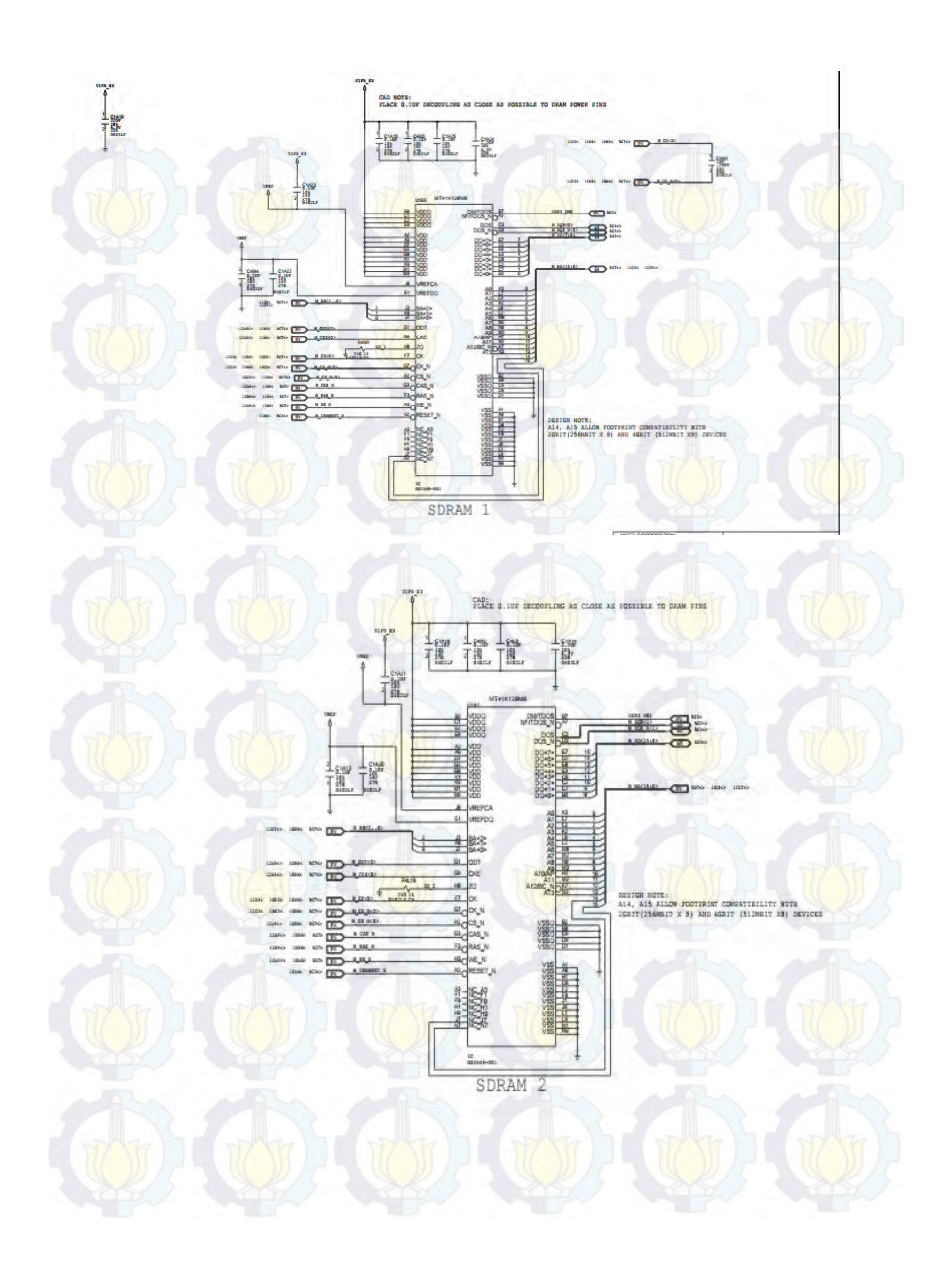
"Other names and brands may be claimed as the property of others.

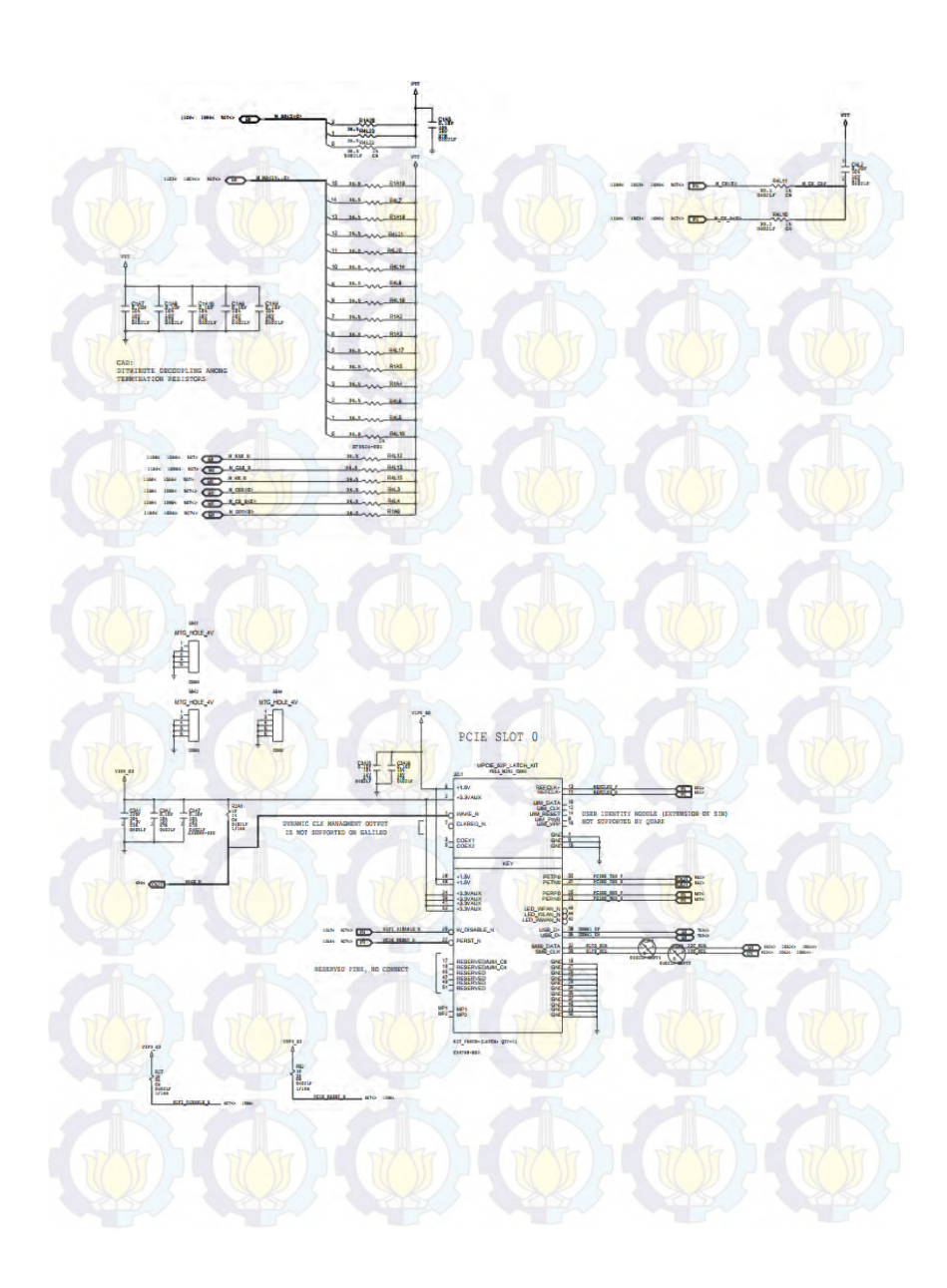
07 Oct 2013

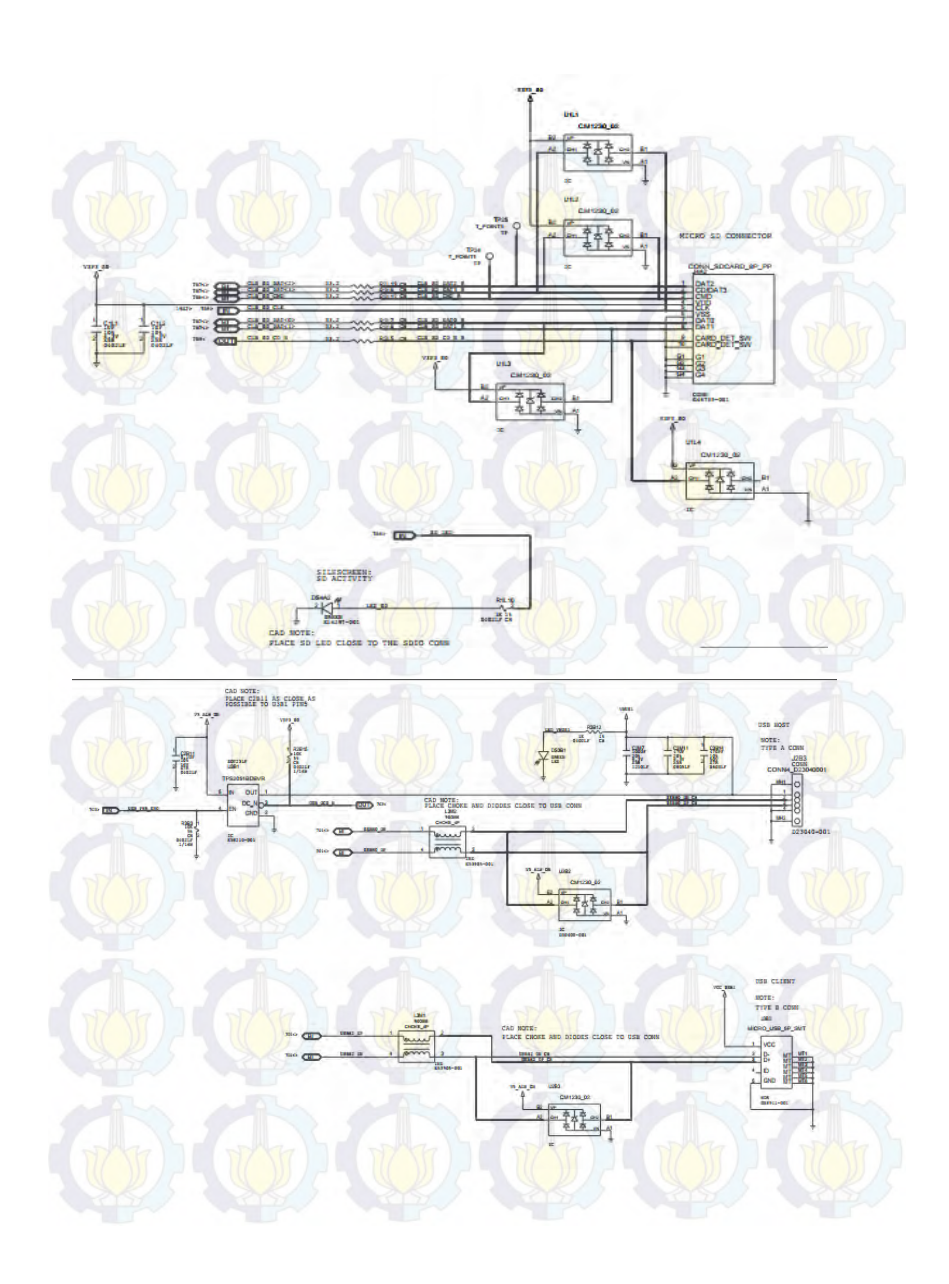


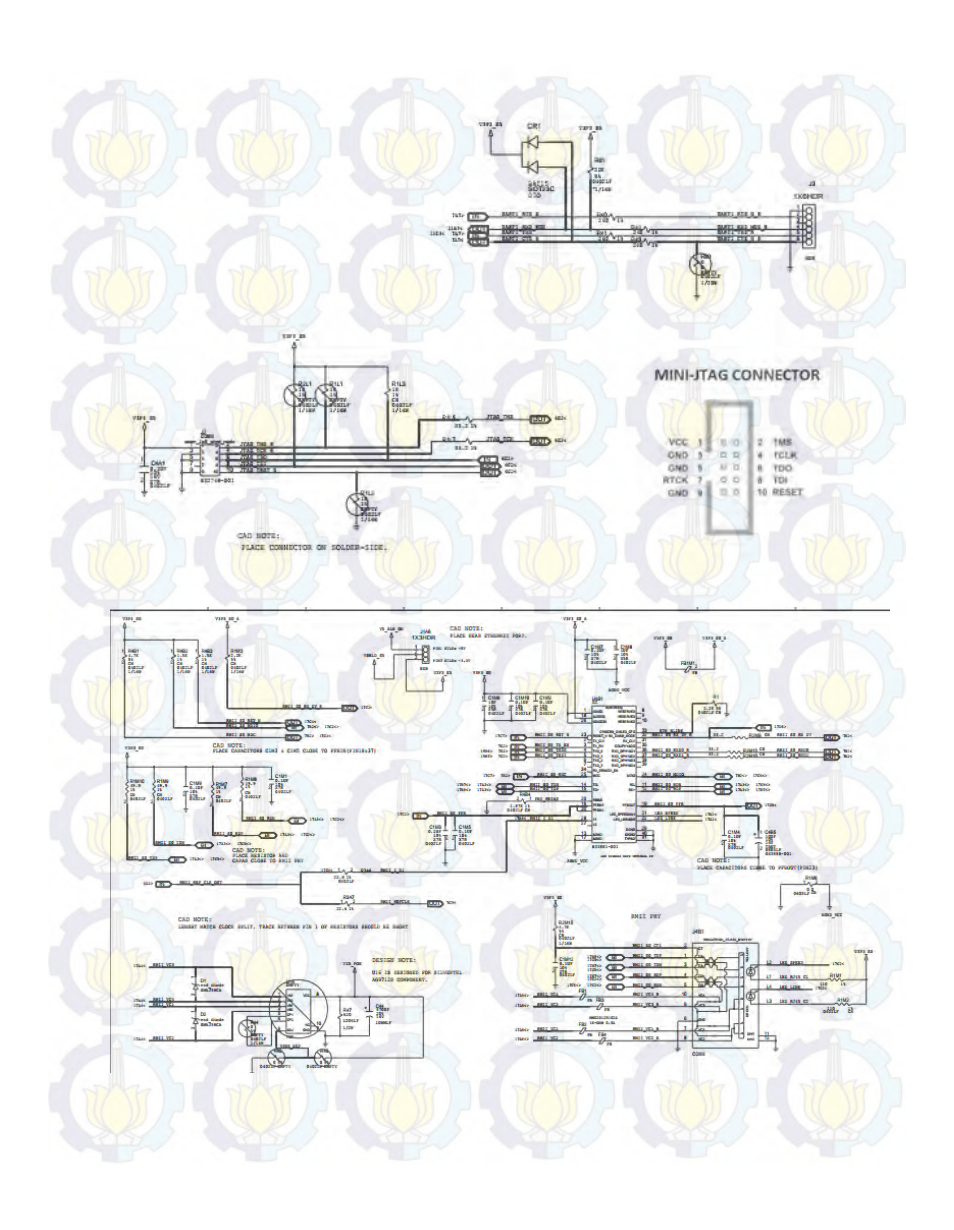


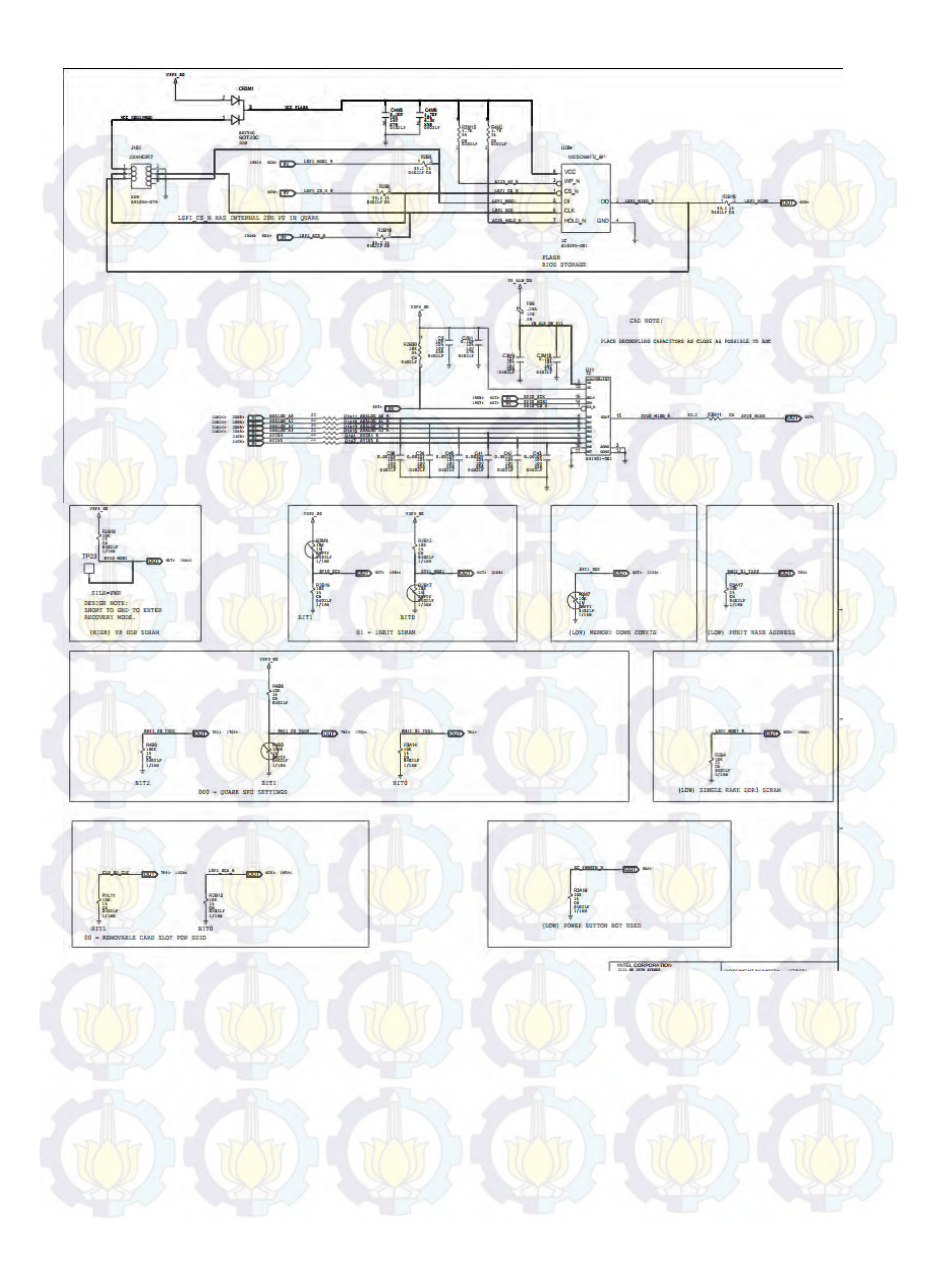


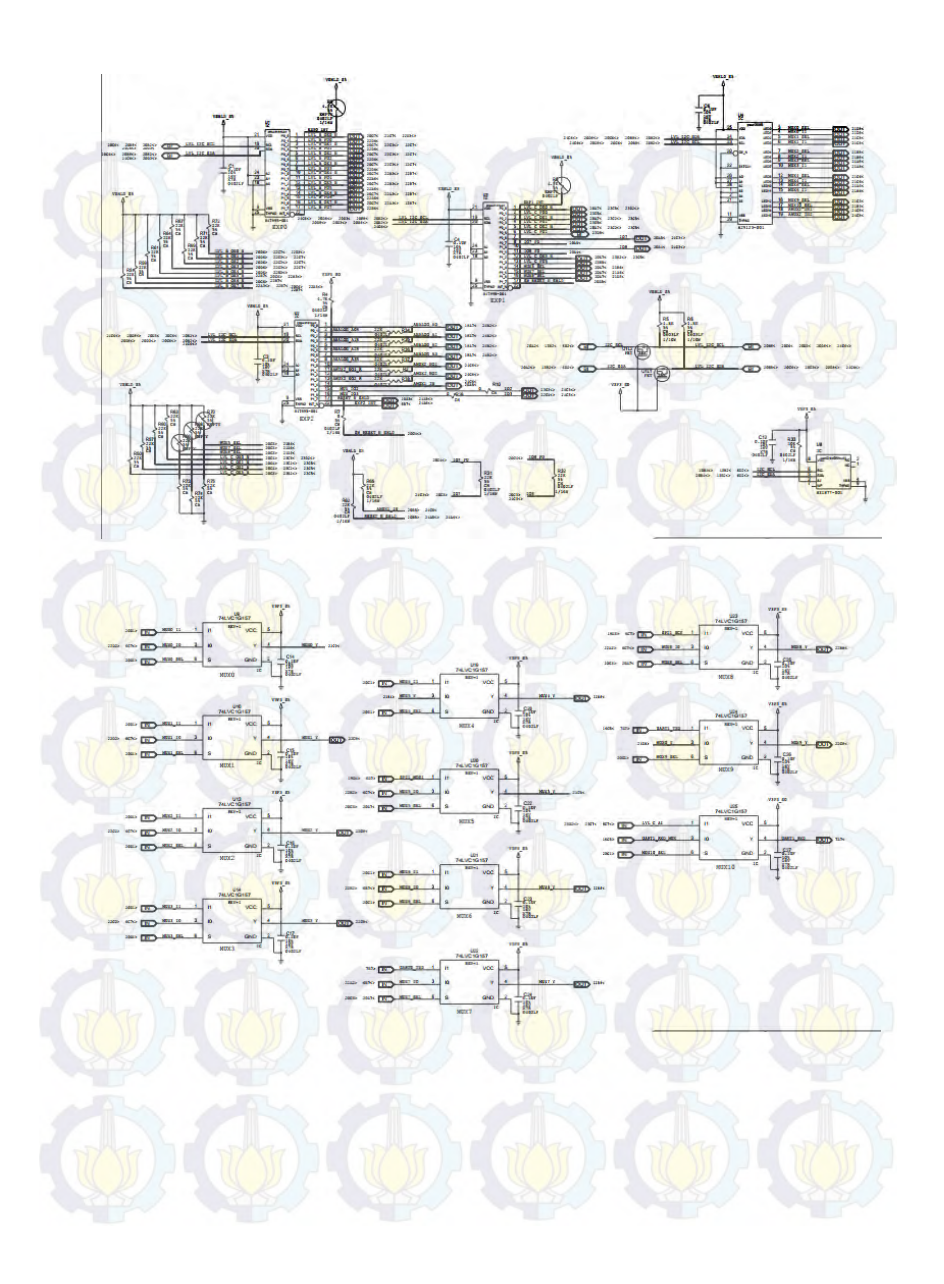


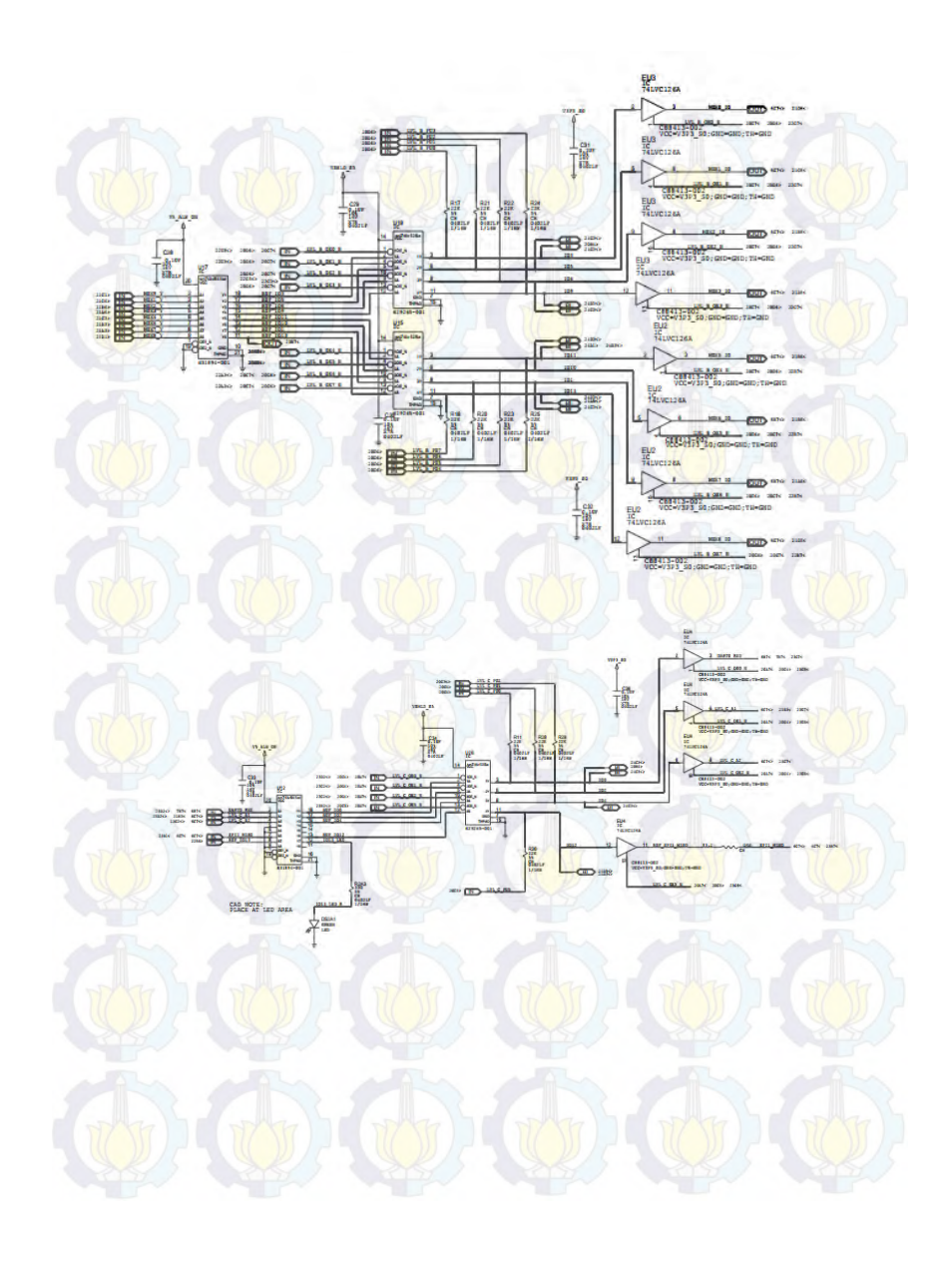


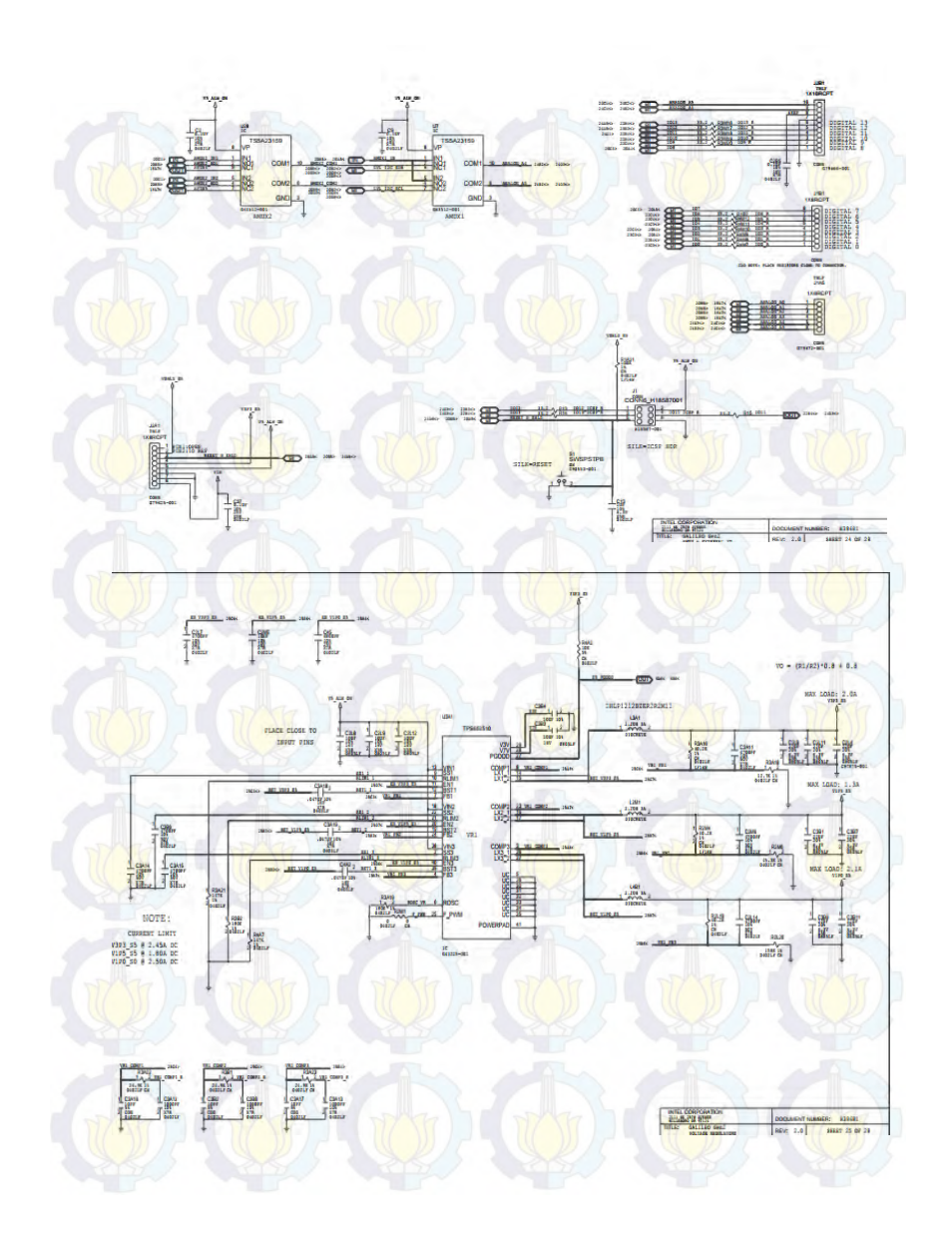


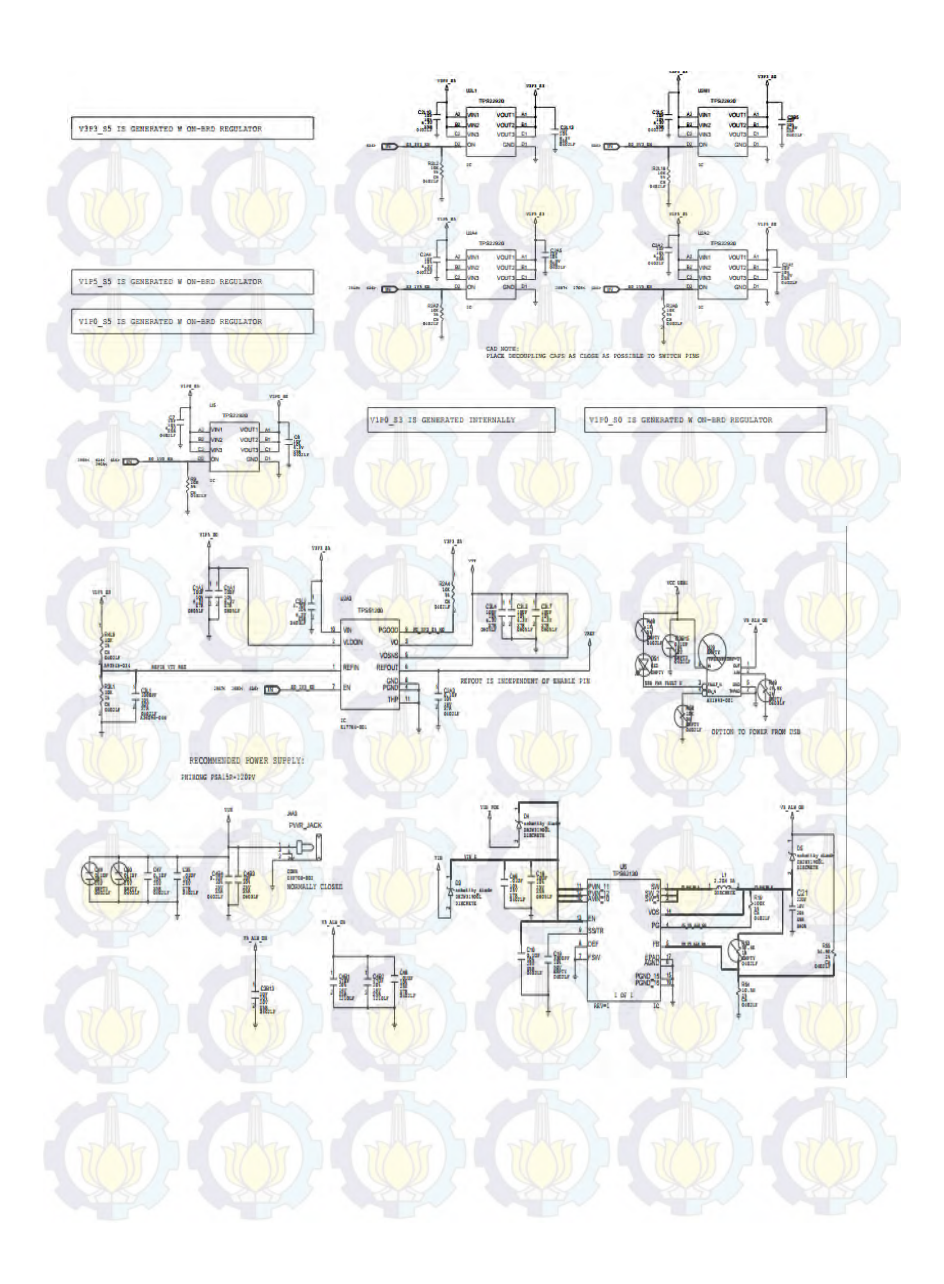


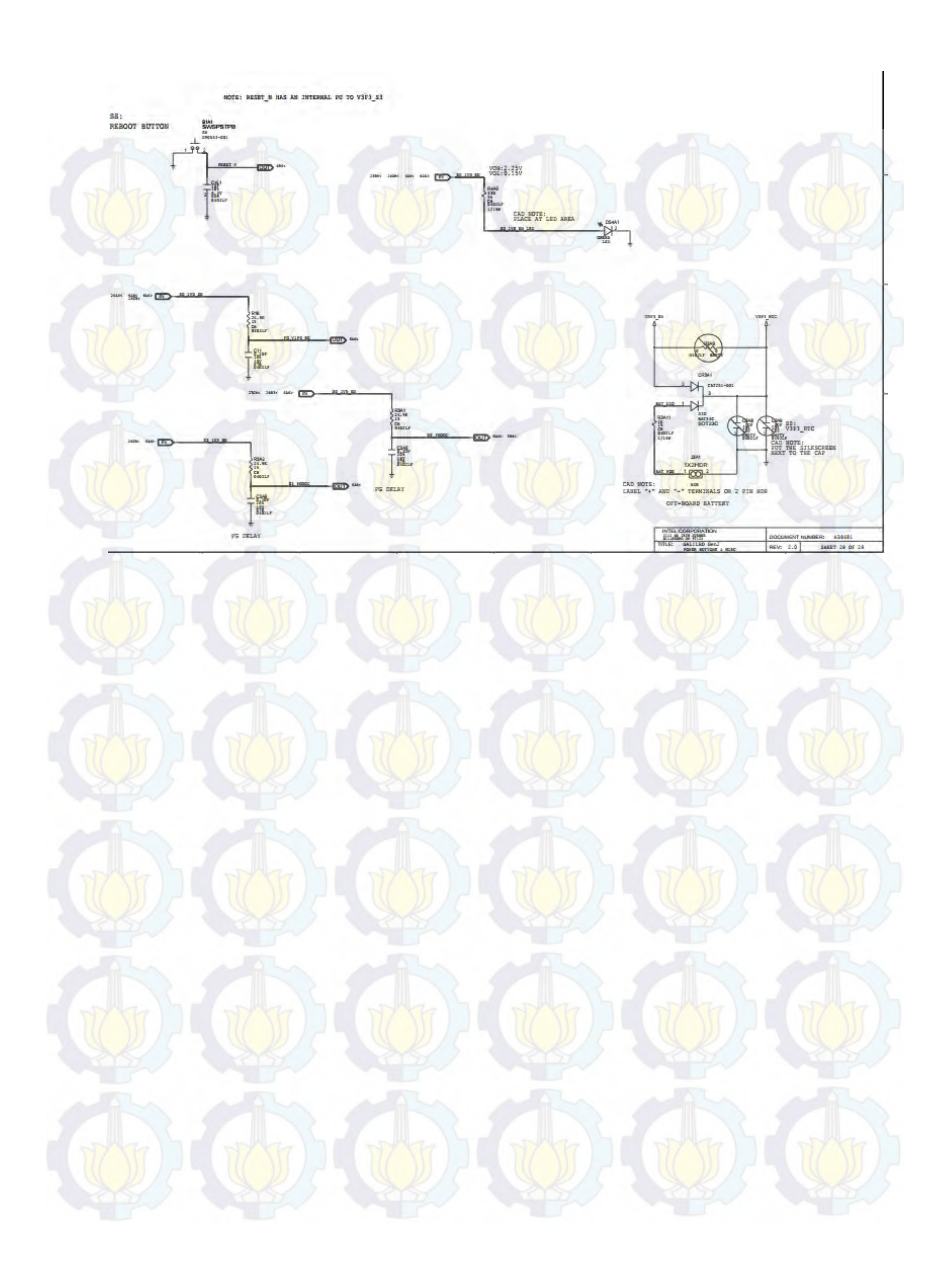


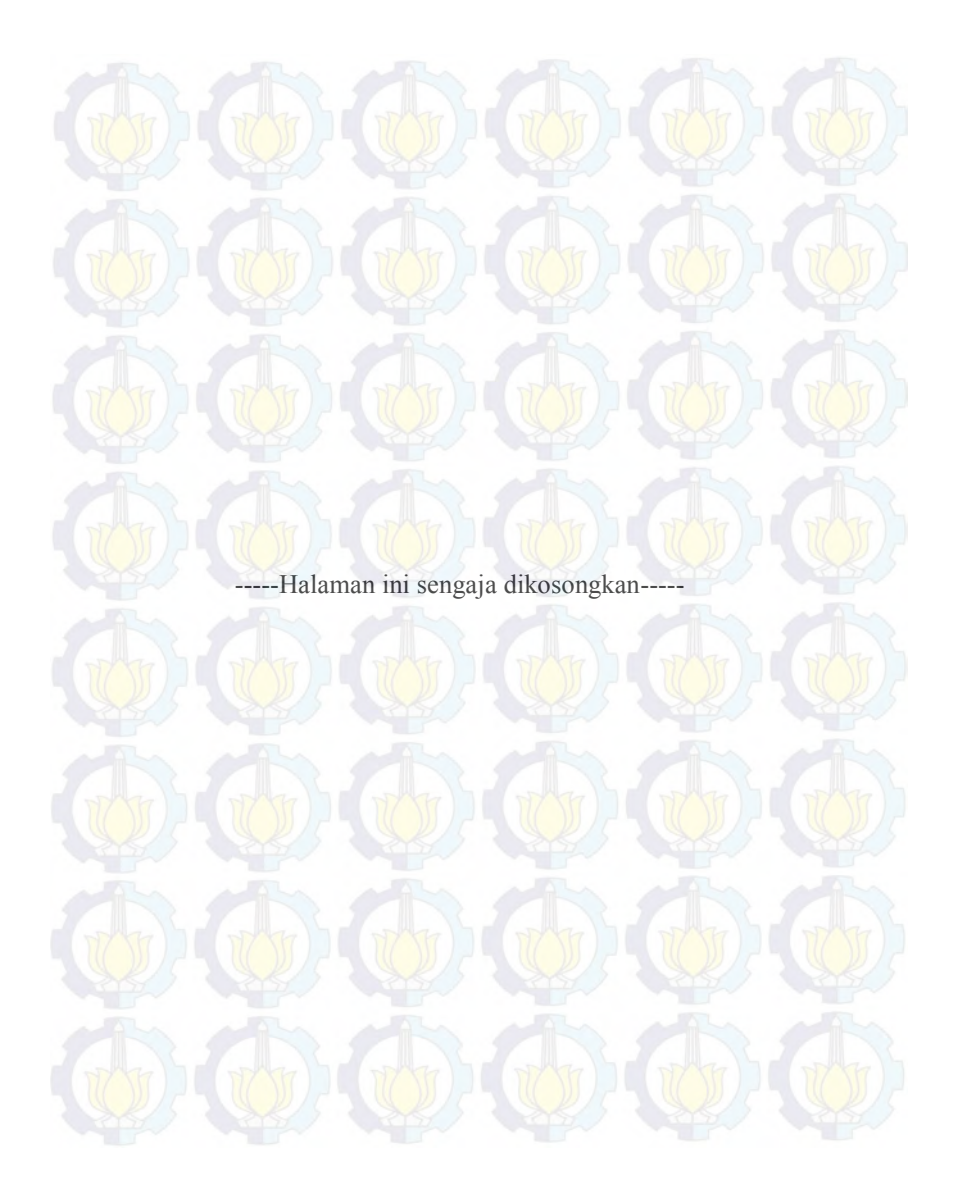












## DAFTAR RIWAYAT HIDUP



Nama : Ifa Fitrianti

TTL: Tuban, 12 September 1995

Jenis Kelamin : Perempuan Agama : Islam

Alamat : Desa Suco, Kec.

Mumbulsari, Kab. Jember

Telp/HP : 089678422558

E-mail : ifafitrianti@gmail.com

## RIWAYAT PENDIDIKAN

1. 1998 – 2001 : Tk Bakti Pertiwi Tuban

2. 2001 – 2007 : SD Negeri Suco 5 Jember

3. 2007 – 2010 : MTS Syalafia-Syafiiyah Jember

4. 2010 – 2013 : SMA Negeri 5 Tuban

5. 2013 – 2016 : D3 Teknik Elektro, Program Studi Teknik Elektro

Industri - FTI Institut Teknologi Sepuluh

Nopember (ITS)

## PENGALAMAN KERJA

1. Kerja Praktek di SIER Rungkut Industri, Surabaya, Jawa Timur

2. Kerja Praktek di PT PLN (Persero) APJ Surabaya Selatan, Jawa Timur

### PENGALAMAN ORGANISASI

1. Staff Departemen Hubungan Luar Periode 2014/2015 HIMAD3TEKTRO, FTI - ITS



## **DAFTAR RIWAYAT HIDUP**



Nama : Ilham Sudrajat

TTL: Madiun, 11 April 1995

Jenis Kela<mark>min</mark>: Laki - <mark>Laki</mark>

Agama : Islam

Alamat : Desa. Garon, Kec.

Balerejo Kab.Madiun

Telp/HP : 085784849500

E-mail : ilhamimst@gmail.com

## **RIWAYAT PENDIDIKAN**

1. 1998 – 2001 : TK Garon 2

2. 2001 – 2007 : SD Negeri Garon 2 Madiun

2007 – 2010 : SMP Negeri 3 Madiun
 2010 – 2013 : SMA Negeri 5 Madiun

5. 2013 – 2016 : D3 Teknik Elektro, Program Studi Teknik Elektro

Industri - FTI Institut Teknologi Sepuluh

Nopember (ITS)

## PENGALAMAN KERJA

1. Kerja Praktik di PT.PLN(Persero) Area Madiun Rayon Caruban

### PENGALAMAN ORGANISASI

1. Team Suro Electric Car D3 Teknik Elektro ITS.

